Notatki z Analizy II L2019, FUW

Jakub Korsak

6 czerwca 2019

1 Wykład (26.02.2019)

Przykład 1 *funkcje wielu zmiennych:*

$\mathbb{R}^3 \to \mathbb{R}^1$ - Energia potencjalna $\mathcal{V}(x, y, z)$
$\mathbb{R}^4 \to \mathbb{R}^1$ - Potencjał pola niestacjonarnego $\mathcal{V}(x, y, z, t)$
$\mathbb{R}^3 \to \mathbb{R}^3$ - Natężenie pola $\mathcal{E}(x, y, z)$
$\mathbb{R}^4 \to \mathbb{R}^3$
$\mathbb{R}^1 \to \mathbb{R}^3$
$\mathbb{R}^1 \to \mathbb{R}^4$
$\mathbb{R}^1 \to \mathbb{R}^6$
$\mathbb{R}^6 \to \mathbb{R}^1$
$\mathbb{R}^8 \to \mathbb{R}^1$

Niech $X \subset \mathbb{R}^n, x_0 \in X, Y \subset \mathbb{R}^m$. Mówimy, że odwzorowanie $T : X \to Y$ jest ciągłe, jeżeli

$$\underset{x_n \to x_0}{\forall}, T(x_n) \to T(x_0)$$

UWAGA: $x_0 = (x_1, x_2, ..., x_n)$.

Pytanie: Czy ciągłość w $\mathbb{R}^n \iff$ ciągłosc w $\mathbb{R}^1$?

Przykład 2 *Niech funkcja*

$$f(x, y) = \begin{cases} 0 & x = y \\ \frac{xy^2}{x^2+y^4} & x \neq y \end{cases}$$

czy f - ciągła w $(0, 0)$? dla trajektorii I:

$$\lim_{y_n \to 0}(\lim_{x_n \to 0} f(x_n, y_n)) = \lim_{y_n \to 0}(0) = 0$$

dla trajektorii II:

$$\lim_{x_n \to 0}(\lim_{y_n \to 0} f(x_n, y_n)) = \lim_{x_n \to 0}(0) = 0$$

weźmy $(x_n, y_n) = (\frac{1}{n^2}, \frac{1}{n})$

$$f(x_n, y_n) = \frac{\frac{1}{n^2}\frac{1}{n^2}}{\frac{1}{n^4} + \frac{1}{n^4}} = \frac{1}{2} \neq \lim_{x_n \to 0, y_n \to 0} f(0, 0)$$

(X, d_X) - przestrzeń wektorowa z metryką d_X,
(Y, d_Y) - p.w. z metryką d_Y
Niech $x_0 \in X$. Mówimy, że $T : X \to Y$ - ciągłe, jeżeli

$$\underset{\epsilon>0}{\forall} \quad \underset{\delta}{\exists} \quad \underset{x \in X}{\forall}, \quad d_X(x, x_0) < \delta \implies d_Y(T(x_0), T(x)) < \epsilon$$

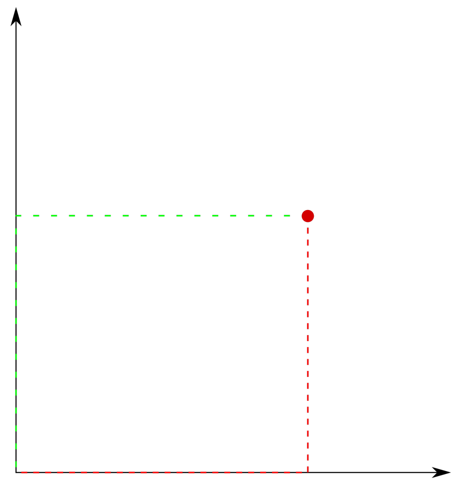

Rysunek 1: trajektoria I i II

Dowód 1 *Heine* $\iff$ *Cauchy*

$\implies$ (przez sprzeczność):

zakładamy, że

$$\underset{x_n \to x_0}{\forall} T(x_n) \to T(x_0) \quad \wedge \quad \underset{\epsilon>0}{\exists}, \underset{\delta>0}{\forall}, \underset{x \in X}{\exists} (*) : d_X(x, x_0) < \delta \implies d_Y(T(x_n), T(x_0)) \geqslant \epsilon$$

Skoro $T(x_n) \to T(x_0)_{\underset{x_n \to x_0}{\forall}}$, to w szczególności warunek spełniony dla ciągu, który jest taki:

skoro $(*)$, to dla $\epsilon > 0$ weźmy $\delta = 1$,

$\delta = 1:$

$\underset{x_1}{\exists} \quad d_X(x_1, x_0) < 1 \wedge d_Y(T(x_1), T(x_0)) \geqslant \epsilon$

$\delta = \frac{1}{2}:$

$\underset{x_2}{\exists} \quad d_X(x_2, x_0) < \frac{1}{2} \wedge d_Y(T(x_2), T(x_0)) \geqslant \epsilon$

$\delta = \frac{1}{3}:$

$\underset{x_3}{\exists} \quad d_X(x_3, x_0) < \frac{1}{3} \wedge d_Y(T(x_3), T(x_0)) \geqslant \epsilon$

$\vdots$

$\delta = \frac{1}{n} : \underset{x_n}{\exists} \quad d_X(x_n, x_0) < \frac{1}{n} \wedge d_Y(T(x_n), T(x_0)) \geqslant \epsilon.$

Zauważmy, że taki ciąg $x_n \to x_0 \wedge T(x_n) \not\to T(x_0)$ i sprzeczność $\Box$

$\Longleftarrow$ Wiemy, że $\underset{\varepsilon>0}{\forall} \ \underset{x}{\exists} \ d_X(x, x_0) < \delta \implies d_Y(T(x), T(x_0)) < \epsilon \ (\Delta)$,

oraz, że $x_n \to x_0$, czyli:

$$\underset{\delta_1}{\forall} \ \underset{N}{\exists} \ \underset{n>N}{\forall} \quad d_X(x_n, x_0) < \delta_1 (\Delta_2)$$

Chcemy pokazać, że $T(x_n) \to T(x_0)$, czyli, że

$$\underset{\epsilon_1>0}{\forall} \underset{N_1}{\exists} \underset{n>N_1}{\forall} \quad d_Y(T(x_n), T(x_0)) < \epsilon_1 (\text{dla } x_n \to x_0)$$

Przyjmijmy $\epsilon = \epsilon_1$. Oznacza to, że $\underset{\delta}{\exists}$ spełniająca warunek (Δ) dla ϵ_1. Połóżmy $\delta_1 = \delta$ we wzorze (Δ_2), czyli wiemy, że

$$\underset{N}{\exists} \underset{n>N}{\forall} \quad d_X(x_n, x_0) < \delta_1,$$

ale na mocy (Δ), wiemy, że

$$d_Y(T(x_n), T(x_0)) < \epsilon_1 \Box$$

1.1 Różniczkowalność:

Niech $\mathbb{O} \subset \mathbb{R}^n, \mathbb{O}$ - otwarty, $f : \mathbb{O} \to \mathbb{R}^1, x \in \mathbb{Q}, x_0 = (x_1^0, x_2^0, \dots, x_n^0)$

Mówimy, że f ma w punkcie x pochodną cząstkową w kierunku x^k, jeżeli istnieje granica $g = \lim\limits_{h \to 0} \frac{f(x_1^0, x_2^0, \dots, x_k^0 + h, \dots, x_n^0) - f(x_1^0, \dots, x_n^0)}{h} \equiv \frac{\partial}{\partial x} f\Big|_{x=x_0}$

Przykład 3 *różniczkowalność*

Niech $\mathbb{R}^2 \to \mathbb{R}^1$. $\frac{\partial}{\partial x} f = \lim\limits_{h\to 0} \frac{f(x+h,y)-f(x,y)}{h}$, $\frac{\partial}{\partial y} f = \lim\limits_{h\to 0} \frac{f(x,y+h)-f(x,y)}{h}$.

UWAGA: do policzenia pochodnej czątkowej potrzebujemy układu współrzędnych, tj. (rys) Niech $\mathbb{O} \subset \mathbb{R}^n$, $\mathbb{O}$ - otwarte, $x_0 \in \mathbb{O}, e \in \mathbb{O}, T : \mathbb{O} \to \mathbb{R}$.

Mówimy, że T ma w x_0 pochodną kierunkową (*spoiler:* pochodną słabą), jeżeli istnieje granica

$$g = \lim_{t\to 0} \frac{T(x_0+te) - T(x_0)}{t} \equiv \nabla_e T(x_0)$$

1.2 Obserwacja:

Jeżeli np. $T : \mathbb{R}^2 \to \mathbb{R}, e_x = (1,0)$ i $e_y = (0,1)$, to

$$\nabla_{e_x} T = \frac{\partial}{\partial x} T \text{ i } \nabla_{e_y} T = \frac{\partial}{\partial y} T$$

Przykład 4

$f(x,y) = \sqrt{|xy|}$. Wówczas $x_0 + te = (0 + t1, 0)$, $x_0 = (0,0), e_x = \binom{1}{0}$

$$\nabla_{e_x} f|_x = (0,0) = \lim_{t\to 0} \frac{f(0+t,0) - f(0,0)}{t} = \lim_{t\to 0} \frac{\sqrt{|t0|} - \sqrt{|00|}}{t} = \lim_{t\to 0} \frac{0}{t} = 0 = \frac{\partial}{\partial x} f\Big|_{(0,0)}$$

UWAGA: $f(x) = \sqrt{x}, \mathbb{R} \to \mathbb{R}, f'(0) = \lim\limits_{h\to 0} \frac{\sqrt{h}}{h} = \pm\infty$

$$f(x,y) = \begin{cases} 0 & x = y \\ \frac{xy^2}{x^2+y^4} & x \neq y \end{cases}$$

$e = \binom{h_1}{h_2}$. Pochodna: $\nabla_e f|_{x=(0,0)}, (x_0 + te = (th_1, th_2))$

$$\lim_{t\to 0} \frac{f(th_1, th_2) - f(0,0)}{t} = \frac{h_1 h_2^2}{h_1^2} = \frac{h_2^2}{h_1}$$

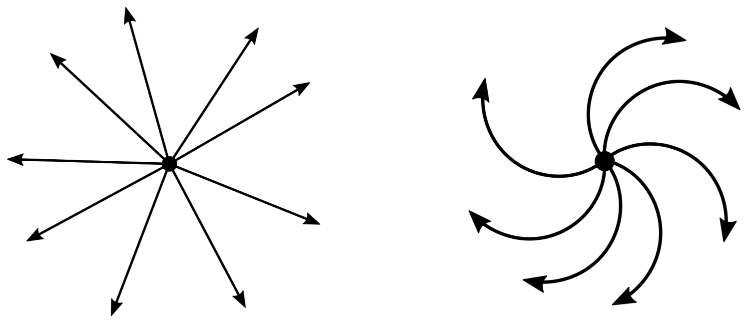

Rysunek 2: Problemy: Umiemy tak jak po lewej, ale nic nie potrafimy zrobić z tym po prawej

2 Wykład (01.03.2019)

Definicja 1 *Norma: niech X - przestrzeń wektorowa.*
Odwzorowanie $||.|| : \mathbb{X} \to \mathbb{R}$ nazywamy normą, jeżeli:

$$\underset{x\in X}{\forall} \quad ||x|| \geqslant 0 \tag{1}$$

$$\underset{\alpha\in\mathbb{R}}{\forall}, \underset{x\in\mathbb{X}}{\forall} \quad ||\alpha x|| = |\alpha|||x|| \tag{2}$$

$$\underset{x,y\in X}{\forall} \quad ||x+y|| \leqslant ||x|| + ||y|| \tag{3}$$

$$\underset{x\in X}{\forall} \quad ||x|| = 0 \iff x = 0 \tag{4}$$

Przestrzeń X wraz z normą $||.||$ nazywamy przestrzenią unormowaną (*spoiler:* przestrzenią Banacha).

Przykład 5

$||v|| = \sqrt{(x)^2 + (y)^2}, X \to \mathbb{R}^n \quad (v \in X) \implies ||v|| = sup(|x^1|, \dots), f \in C([a,b])$, to $||f|| = sup_{x\in[a,b]}(f(x))$

UWAGA: mając normę możemy zdefiniować metrykę $\underset{x,y\in X}{\forall} d(x,y) = ||x-y||$, natomiast niekażdą metryką da się utworzyć przy pomocy normy.

Przykład 6 *metryka zdefiniowana przy pomocy normy ma np. taką własność:*

$$d(a_x, a_y) = ||a_x - a_y|| = |a|||x-y|| = ad(x,y),$$

czyli taka metryka się skaluje natomiast funkcja

$$d(x,y) = \begin{cases} 1 & x \neq y \\ 0 & x = y \end{cases}$$

jest metryką, ale tej własności nie posiada.

Definicja 2 *Pochodna mocna (trzecie podejście)*

$$\lim_{h\to 0} \frac{f(x+h)-f(x)}{h} = f'(x_0), \ \ dla\ x \in V \subset \mathbb{R}^n.$$

- taka definicja jest niemożliwa (nie mamy dzielenia wektorów).

$$f(x+h)-f(x) = f'(x_0)h + r(x_0,h), \text{ gdzie } \frac{r(x_0,h)}{||h||} \to 0 \text{ przy } ||h|| \to 0$$

ale to może mieć już inną dziedzinę

Definicja 3 *Niech $U \subset X, V \subset Y$*
U, V - otwarte, $\quad T : U \to V; x, h \in U$
Mówimy, że T - różniczkowalne w punkcie x_0, jeżeli prawdziwy jest wzór

$$\underset{h\in U}{\forall} \quad T(x_0+h) - T(x_0) = L_{x_0}(h) + r(x_0,h),$$

gdzie $\frac{r(x_0,h)}{||h||} \to 0$*, a* L_{x_0} *- liniowe* $: X \to Y$*.*

Odwzorowanie $L_{x_0}(h)$ nazywamy pochodną T w punkcie x_0. Czasami $L_{x_0}(h)$ możemy przedstawić w postaci $L_{x_0}(h) = T'(x_0)h$, to $T'(x_0)$ nazywamy pochodną odwzorowania T.

UWAGI: Dlaczego $L_{x_0}(h)$, a nie $T'(x_0)h$?

Dlatego, że czasami pochodna może wyglądać tak:

$$\int_0^1 h(x)\sin x dx$$

, a tego nie da sie przedstawić jako

$$\left(\int_0^1 \sin x dx\right) h(x)$$

Przykład 7

$T(x+h) - T(x) = T'(x_0)h + r(x_0,h)$
1. Niech $T : \mathbb{R} \to \mathbb{R}^3$, czyli $x_0 \in \mathbb{R}, h \in R$. Wtedy $T(x)$ - wektor (3 el.), $T'(x)$ -

wektor (3 el.)
2. $T : \mathbb{R}^3 \to \mathbb{R}$ $\quad x_0$ - wektor (3 el.), h - wektor (3.el), $T'(x)$ - p.wektor (3 el.)

3. $T : \mathbb{R}^2 \to \mathbb{R}^3$ $\quad x_0$ - wektor (2 el.), h - wektor (2 el.), $T(x)$ - wektor (3 el.),

$T'(x)$ - macierz (3x2)
4. $f(x, y) = xy^2, h = \binom{h_x}{h_y}$

$f(x_0+hx, y_0+hy)-f(x_0, y_0) = (x_0+hx)(y_0+hy)^2 - x_0y_0^2 = x_0y_0^2+2y_0x_0h_y+x_0h_y^2 + h_yy_0^2 + h_xh_y2y_0 + h_xh_y) = (y_0^2, 2xx_0)\binom{h_x}{h_y} + x_0h_y^2 + h_xh_y^2 + 2y_0h_xh_y$.

Czy $\frac{r(x_0,h)}{||h||} \to 0$?

Weźmy $||\binom{h_x}{h_y}|| = \sup\{|h_x|, |h_y|\}$.
Wówczas $x_0h_y^2+h_xh_y^2+2y_0h_xh_y \leqslant x_0||h||^2+||h||^3+2y_0||h||^2 = ||h||^2(x_0+2y_0+||h||)$
Zatem $\frac{r(x_0,h)}{||h||} \leqslant \frac{||h||^2(|x_0|+2y_0+||h||)}{||h||} \to 0$.
$f(x, y) = xy^2, T'(x) = [y^2, 2xy]$.
zauważmy, że $y^2 = \frac{\partial}{\partial x}f, 2xy = \frac{\partial}{\partial y}f$

UWAGA: skąd wiemy, że gdy $h \to 0$, to $||h|| \to 0$?
Czyli: czy norma jest odwzorowaniem ciągłym w $h = 0$?
<odpowiedź za tydzień>

Twierdzenie 1 *Jeżeli f - różniczkowalna w $x_0 \in U$, to dla dowolnego $e \in U$,*
$$\nabla_e f(x_0) = f'(x_0)e$$

Dowód 2

Pytanie 1 *Czy z faktu istnienia pochodnych cząstkowych wynika różniczkowalność funkcji?*

Przykład 8

$f(x, y) = \sqrt{|xy|}, x_0 = \binom{0}{0}$, dla $f(x, y)$ policzyliśmy pochodne cząstkowe w x_0 $\quad \frac{\partial}{\partial x}f = 0, \frac{\partial}{\partial y}f = 0$.

$h = \binom{h_x}{h_y}, x_0 = \binom{0}{0}, f(x_0+h)-f(x_0) = \sqrt{h_xh_y}-\sqrt{0} = \sqrt{h_xh_y} = (0, 0)\binom{h_x}{h_y}+\sqrt{h_xh_y}$, gdzie $r(x_0, h) = \sqrt{h_xh_y}$.
Czyli f - różniczkowalna, jeżeli $\underset{h_x,h_y}{\forall} \quad \frac{\sqrt{h_xh_y}}{||h||} \to 0$.
Niech $||h|| = \sup\{|h_x|, |h_y|\}$ i niech $|h_x| > |h_y|$. $||h|| = |h_x|$.

Dalej mamy: $\frac{\sqrt{h_xh_y}}{|h_x|}\sqrt{\frac{h_y}{h_x}} \not\to 0$ przy $h_x \to 0$, $\sqrt{\frac{|h_y|}{|h_x|}} = \sqrt{\frac{1}{2}}$

Czyli istnienie pochodnych cząstkowych nie oznacza różniczkowalności.

Twierdzenie 2 *Niech $O \subset \mathbb{R}^n, O$ - otwarty. $f : O \to Y, x_0 \in O$.*
Jeżeli istnieją pochodne cząstkowe $\frac{\partial}{\partial x_i} f, i = 1, \ldots, n$ i są ciągłe w x_0, wtedy $\underset{h \in \mathbb{R}^n}{\forall} f(x_0 + h) - f(x_0) = \sum_{i=1}^{n} \frac{\partial f}{\partial x_i} h^i + r(x_0, h)$, gdzie $\frac{r(x_0,h)}{||h||} \to 0$

Dowód 3 *(dla $O = \mathbb{R}^3$)*

Niech $x_0 = \begin{bmatrix} x_0^1 \\ x_0^2 \\ x_0^3 \end{bmatrix}, h = \begin{bmatrix} h^1 \\ h^2 \\ h^3 \end{bmatrix}$

$f(x_0^1 + h^1, x_0^2 + h_2, x_0^3 + h^3) - f(x_0^1, x_0^2, x_0^3) =$
$= f(x_0^1 + h^1, x_0^2 + h^2, x_0^3 + h^3) - f(x_0^1 + h^1, x_0^2 + h^2, x_0^3) +$
$+ f(x_0^1 + h^1, x_0^2 + h^2, x_0^3) - f(x_0^1 + h^1, x_0^2, x_0^3) +$
$+ f(x_0^1 + h^1, x_0^2, x_0^3) - f(x_0^1, x_0^2, x_0^3) \quad \overbrace{=}^{\text{tw. o w. średniej}}$
$\frac{\partial}{\partial x_0^1} f(c_1)h^1 + \frac{\partial}{\partial x_0^2} f(x_0^1 + h^1, c_2, x_0^3)h^2 + \frac{\partial}{\partial x_0^3} f(x_0^1 + h^1, x_0^2 + h_2, c_3)h^3 =$
$(\frac{\partial f}{\partial x^1}(c_1, x_0^2, x_0^3) - \frac{\partial f}{\partial x^1}(x_0^1, x_0^2, x_0^3))h^1 +$
$+ (\frac{\partial f}{\partial x^2}(x_0^1 + h^1, c_2, x_0^3) - \frac{\partial f}{\partial x^2}(x_0^1, x_0^2, x_0^3))h^2 +$
$+ (\frac{\partial f}{\partial x^3}(x_0^1 + h^1, x_0^2 + h^2, c_3) - \frac{\partial f}{\partial x^3}(x_0^1, x_0^2, x_0^3))h^3$
gdzie $c_1 \in]x_0^1, x_0^1 + h^1[, \quad c_2 \in]x_0^2, x_0^2 + h^2[, \quad c_3 \in]x_0^3, x_0^3 + h^3[$

Wystarczy pokazać, że $\frac{r(x_0,h)}{||h||} \to 0$, gdy $h \to 0$.

Zauważmy, że każde wyrażenie tworzące resztę jest postaci *coś* h^i, a $\lim\limits_{||h|| \to 0} \frac{h^i}{||h||} =$ {{ *dla normy np.* $||h|| = max|h^i|$ }} $\neq 0$. (np. $\frac{h^1}{h^1} \to 1$)

Oznacza to, że jeżeli $\frac{r(x,h)}{||h||} \to 0$ - spełniony, to każde wyrażenie typu

$$\Big(\frac{\partial f}{\partial x^1}(c_1, x_0^2, x_0^3) - \frac{\partial f}{\partial x^1}(x_0^1, x_0^2, x_0^3)\Big)h^1 \to 0$$

Czyli np. $\lim\limits_{||h|| \to 0} \frac{\partial f}{\partial x^1}(c_1, x_0^2, x_0^3) = \frac{\partial f}{\partial x^1}(x_0^1, x_0^2, x_0^3) \iff (\frac{\partial f}{\partial x^1}$ - ciągła)$\square$

3 Wykład (05.03.2019)

Uwaga: Jeżeli np. $f : \mathbb{R}^2 \to \mathbb{R}^2$, to znaczy, że
$f(x,y) = \begin{bmatrix} f_1(x,y) \\ f_2(x,y) \end{bmatrix}$, $f_1 : \mathbb{R}^2 \to \mathbb{R}^1$, $f_2 : \mathbb{R}^2 \to \mathbb{R}^1$, wówczas

$$\frac{\partial f}{\partial x} = \begin{bmatrix} \frac{\partial}{\partial x} f_1 \\ \frac{\partial}{\partial x} f_2 \end{bmatrix}$$

$$\frac{\partial}{\partial y} f = \begin{bmatrix} \frac{\partial}{\partial y} f_1 \\ \frac{\partial}{\partial y} f_2 \end{bmatrix}$$

Przykład 9

$$f(x,y) = \begin{bmatrix} 2xy^2 \\ x^3 y \end{bmatrix}$$

Wtedy pochodne czątkowe: $\frac{\partial f}{\partial x} = \begin{bmatrix} 2y^2 \\ 3x^2 y \end{bmatrix}$, $\frac{\partial f}{\partial y} = \begin{bmatrix} 4xy \\ x^3 \end{bmatrix}$
$f(x+h) - f(x) = \frac{\partial f}{\partial x} h^x + \frac{\partial f}{\partial y} h^y + r((x,y),h) = \begin{bmatrix} 2y^2 \\ 3x^2 y \end{bmatrix} h^x + \begin{bmatrix} 4xy \\ x^3 \end{bmatrix} h^y +$
$r((x,y),h) = \begin{bmatrix} 2y^2 & 4xy \\ 3x^2 y & x^3 \end{bmatrix} \begin{bmatrix} h^x \\ h^y \end{bmatrix} + r((x,y),h)$

$$\text{Czyli } f' = \begin{bmatrix} \frac{\partial f_1}{\partial x} & \frac{\partial f_1}{\partial y} \\ \frac{\partial f_2}{\partial x} & \frac{\partial f_2}{\partial y} \end{bmatrix}$$

i ogólniej: jeżeli $f : \mathbb{R}^n \to \mathbb{R}^k$, to

$$f' = \begin{bmatrix} \frac{\partial f_1}{\partial x^1} & \dots & \frac{\partial f_1}{\partial x^n} \\ \vdots & \ddots & \vdots \\ \frac{\partial f_k}{\partial x^1} & \dots & \frac{\partial f_k}{\partial x^n} \end{bmatrix}$$

3.1 Uzupełnienie:

Niech V - przestrzeń wektorowa z normą $||.||$ i $x_0 \in V$,
wówczas $f(x) = ||x||, f : V \to \mathbb{R}^1$ - ciągła w x_0.

Dowód 4

Chccemy pokazać, że $\underset{\epsilon>0}{\forall} \underset{\delta}{\exists} \underset{x}{\forall} \quad d_x(x,x_0) < \delta \implies d_{\mathbb{R}}(f(x), f(x_0)) < \epsilon$
ale $d_x(x,y) = ||x-y||, d_{\mathbb{R}^1}(x,y) = |x-y|$.

Chcemy pokazać, że $\underset{\epsilon>0}{\forall} \underset{\delta}{\exists} \underset{x}{\forall} \quad ||x - x_0|| < \delta \implies \big| ||x|| - ||x_0|| \big| < \epsilon$
ale $||x|| = ||x - y + y|| \leqslant ||x-y|| + ||y||, ||x|| - ||y|| \leqslant ||x-y||$,

$||y|| = ||y - x + x|| \leqslant ||y - x|| + ||x||$,
$||y|| - ||x|| \leqslant ||x - y||$, czyli $\big|||x|| - ||y||\big| \leqslant ||x - y||$. Niech $\delta = \frac{\epsilon}{2}$, otrzymujemy $\epsilon > \frac{\epsilon}{2} > ||x - y|| \leqslant \big|||x|| - ||y||\big| \geqslant 0$□

Pytanie 2 *Niech* $f(x, y) = 7x + 6y^2$ *i* $g(t) = \begin{bmatrix} cos(t) \\ sin(t) \end{bmatrix}$. *Wówczas* $h(t) = (f \circ g)(t) : \mathbb{R} \to \mathbb{R}$. *Ile wynosi pochodna?*

$$f' = [7, 12y], g' = \begin{bmatrix} -sin(t) \\ cos(t) \end{bmatrix}$$

Twierdzenie 3 *Niech* $G : U \to Y, U \subset X, U$ *- otwarte ,* X *- przestrzeń wektorowa unormowana,* $F : G(U) \to Z, G(U) \subset V$
G *- różniczkowalna w* $x_0 \in U$, F *- różniczkowalna w* $G(x_0) \in U$.

$$G(x_0 + h_1) - G(x_0) = G'(x_0)h_1 + r_1(x_0, h_1),\ gdy\ \frac{r(x_0, h_1)}{||h_1||_x} \to 0$$

$$F(y_0 + h_2) - F(y_0) = F'(y_0)h_2 + r_2(y_0, h_2),\ gdy\ \frac{r(y_0, h_2)}{||h_2||_y} \to 0$$

Wówczas: $(F \circ G)$ *- różniczkowalna w* x_0

oraz $(F \circ G)'(x_0) = F'(x)|_{x=G(x_0)}\, G'(x_0)$

Dowód 5

$$\begin{aligned} &F(G(x_0 + h)) - F(G(x_0)) = \\ &F(G(x_0) + G'(x_0)h_1 + r_1(x_0, h_1)) - F(G(x_0)) = \\ &F(G(x_0)) + F'(G(x_0))(G'(x_0)h_1 + r_1(x_0, h_1)) + r_2(G(x_0)) \\ &G'(x_0)h_1 + r_1(x_0, h_1)) - F(G(x_0)) \end{aligned}$$

zatem:
$F(G(x_0)) + F(G(x_0 + h)) = F'(G(x_0))G'(x_0)h_1 + F'(G(x_0))r_1(x_0, h_1) + r_2(G(x_0), G'(x_0)h_1 + r_1(x_0, h_1))$

Wystarczy pokazać, że $\frac{r_3}{||h_1||} \to 0$, ale $\frac{r_3}{||h_1||} = F'(G(x_0))\frac{r_1(x_0,h_1)}{||h_1||} + \underbrace{\frac{r_2(G(x_0), G'(x_0)h_1 + r_1(x_0, h_1))}{||G'(x_0)h_1 + r_1(x_0, h_1)||}}_{\to 0 \text{ kiedy } h_1 \to 0}$

$\underbrace{\frac{||G'(x_0)h_1 + r_1(x_0, h_1)||}{||h_1||}}_{\text{jest ograniczony}}$, ale jeżeli $h_1 \to 0$, to $h_2 = G'(x_0)h_1 + r_1(x_0, h_1)$, zatem
$F(G(x))$ - różniczkowalna w x_0 □

Przykład 10

$f(x,y) = \begin{bmatrix} 2xy^2 \\ x^3y \end{bmatrix}, \varphi(t) = \begin{bmatrix} 2t^2 \\ t^3 \end{bmatrix}, h(t) = (f \circ \varphi)(t), h : \mathbb{R} \to \mathbb{R}^2.$

Policzmy h'. $f' = \begin{bmatrix} 2y^2 & 4xy \\ 3x^2y & x^3 \end{bmatrix}, \varphi'(t) = \begin{bmatrix} 4t \\ 3t^2 \end{bmatrix}$, tzn. $H' = \begin{bmatrix} 2y^2 & 4xy \\ 3x^2y & x^3 \end{bmatrix}\Big|_{x=2t^2, y=t^3} \begin{bmatrix} 4t \\ 3t^2 \end{bmatrix} = \begin{bmatrix} 2(2t^2)^2 4t + 4(2t^2)(t^3)3t^2 \\ 3(2t^2)^2 t^3 4 + (2t^3)^3 3t^2 \end{bmatrix}$

Weźmy przykład: Niech $f : \mathbb{R}^2 \to \mathbb{R}, \Psi : \mathbb{R}^2 \to \mathbb{R}^2, \Psi(r,\varphi) = \begin{bmatrix} \Psi_1(r,\varphi) \\ \Psi_2(r,\varphi) \end{bmatrix}$

$\Psi_1 : \mathbb{R}^2 \to \mathbb{R}$
$\Psi_2 : \mathbb{R}^2 \to \mathbb{R}$

Niech $H(r,\varphi) = (f \circ \Psi)(r,\varphi)$, czyli $H : \mathbb{R}^2 \to \mathbb{R}$.

Szukamy pochodnej H, ale $f' = [\frac{\partial f}{\partial x}, \frac{\partial f}{\partial y}], \Psi' = \begin{bmatrix} \frac{\partial \Psi_1}{\partial r} & \frac{\partial \Psi_1}{\partial \varphi} \\ \frac{\partial \Psi_2}{\partial r} & \frac{\partial \Psi_2}{\partial \varphi} \end{bmatrix}$

$$\text{Czyli } H' = \left[\frac{\partial f}{\partial x}, \frac{\partial f}{\partial y}\right]\Big|_{x=\Psi_1(r,\varphi), y=\Psi_1(r,\varphi)} \begin{bmatrix} \frac{\partial \Psi_1}{\partial r} & \frac{\partial \Psi_1}{\partial \varphi} \\ \frac{\partial \Psi_2}{\partial r} & \frac{\partial \Psi_2}{\partial \varphi} \end{bmatrix}$$

Co daje: $\left[\frac{\partial H}{\partial r}, \frac{\partial H}{\partial \varphi}\right] = \left[\frac{\partial f}{\partial x}\frac{\partial \Psi_1}{\partial r} + \frac{\partial f}{\partial y}\frac{\partial \Psi_2}{\partial r}, \frac{\partial f}{\partial x}\frac{\partial \Psi_1}{\partial \varphi} + \frac{\partial f}{\partial y}\frac{\partial \Psi_2}{\partial \varphi}\right]\Big|_{x=\Psi_1(r,\varphi), y=\Psi_2(r,\varphi)}$

4 Wykład (08.03.2019)

$\frac{\partial H}{\partial r} = \frac{\partial f}{\partial x}\Big|_{\substack{x=\Psi_1(r,\varphi),\\ y=\Psi_2(r,\varphi)}} \frac{\partial \Psi_1}{\partial r} + \frac{\partial f}{\partial y}\frac{\partial \Psi_2}{\partial r}$
$\frac{\partial H}{\partial \varphi} = \frac{\partial f}{\partial x}\frac{\partial \Psi_1}{\partial y} + \frac{\partial f}{\partial y}\frac{\partial \Psi_2}{\partial \varphi}$

Konwencja z ćwiczeń z fizyki:

$H(r,\varphi) = (f \circ \Psi)(r,\varphi)$
$H(r,\varphi) = f(r,\varphi)$

$$\Psi_1(r,\varphi) = x(r,\varphi)$$
$$\Psi_2(r,\varphi) = y(r,\varphi)$$

$\frac{\partial f}{\partial r} = \frac{\partial f}{\partial x}\frac{\partial x}{\partial r} + \frac{\partial f}{\partial y}\frac{\partial y}{\partial r}$
$\frac{\partial f}{\partial \varphi} = \frac{\partial f}{\partial x}\frac{\partial x}{\partial \varphi} + \frac{\partial f}{\partial y}\frac{\partial y}{\partial \varphi}$

Przykład 11

$$f(x,y) : \mathbb{R}^2 \to \mathbb{R}, \quad \begin{bmatrix} x = r\cos\varphi \\ y = r\sin\varphi \end{bmatrix}$$

$$\frac{\partial f}{\partial r} = \cos\varphi\frac{\partial f}{\partial x} + \sin\varphi\frac{\partial f}{\partial y}, \quad \frac{\partial f}{\partial \varphi} = -r\sin\varphi\frac{\partial f}{\partial x} + r\cos\varphi\frac{\partial f}{\partial y}$$

$$f(x,y) : \mathbb{R}^2 \to \mathbb{R}, \quad f' = \left[\frac{\partial f}{\partial x}, \frac{\partial f}{\partial y}\right]$$

Interpretacja geometryczna Rozważmy zbiór

$P_c = \{(x,y) \in \mathbb{R}^2 : f(x,y) = c\}$ np. $f(x,y) = x^2+y^2 : P_c = \{(x,y) \in \mathbb{R}^2 : x^2+y^2 = c\}$

Załóżmy, że $f(x,y)$ - taka, że P_c - można sparametryzować jako

$$\varphi(t) = \begin{bmatrix} x(t) \\ y(t) \end{bmatrix}, t \in D, \text{ to znaczy, że } P_c = \{(x(t), y(t)), t \in D\}$$

Przykład 12

Niech $\varphi(t) = \begin{bmatrix} \cos t \\ \sin t \end{bmatrix}$. Wtedy $P_c = \{(c\cos t, c\sin t); t \in [0, 2\pi]\}$

$f(x(t), y(t)) = c \quad \underset{t\in D}{\forall}$ - powierzchnie ekwipotencjalne

$$\left[\frac{\partial f}{\partial x}, \frac{\partial f}{\partial y}\right] \begin{bmatrix} x'(t) \\ y'(t) \end{bmatrix} = 0, \begin{bmatrix} 2x, 2y \end{bmatrix} \begin{bmatrix} -c\sin t \\ c\cos t \end{bmatrix} = 0$$

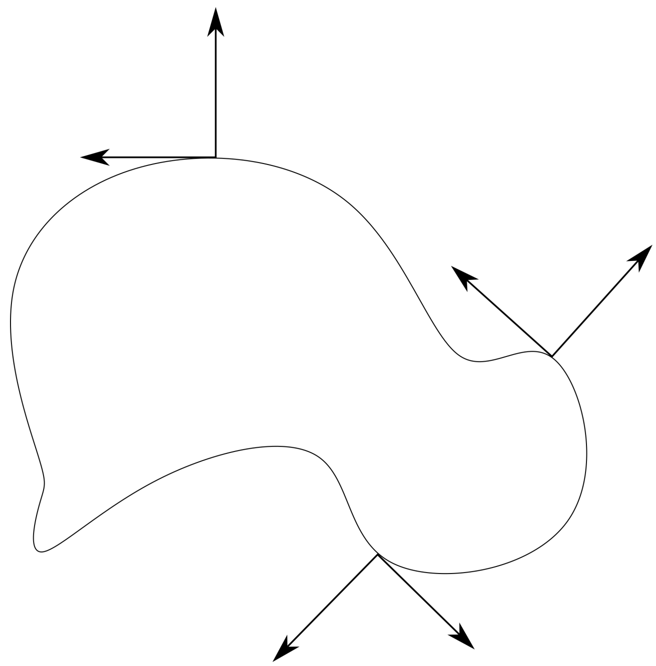

Rysunek 3: Trajektoria kluki

Definicja 4 *Pochodna mieszana*

$$f(x,y) = x^2y^3, \quad \frac{\partial f}{\partial x} = 2xy^3, \frac{\partial f}{\partial y} = 3x^2y^2, \quad \frac{\partial}{\partial x}\big(\frac{\partial f}{\partial x}\big) = 2y^3, \quad \frac{\partial}{\partial y}\big(\frac{\partial f}{\partial y}\big) = 6x^2y$$

$$\frac{\partial^2 f}{\partial x \partial y} = 6xy^2 \quad \frac{\partial^2 f}{\partial y \partial x} = 6xy^2$$

Przypadek???

Twierdzenie 4 *Niech* $f : \mathcal{O} \to \mathbb{R}, \mathcal{O} \subset \mathbb{R}^n$*, otwarty i* $f \in \mathcal{C}^2(\mathcal{O})$*, wówczas*

$$\frac{\partial^2 f}{\partial x^i \partial x^j} = \frac{\partial^2 f}{\partial x^j \partial x^i}; i, j = 1, \ldots, n$$

Dowód 6 *Dowód dla* $n = 2$

Niech $w(x,y) = f(x+h, y+k) - f(x+h, y) - f(x, y+k) + f(x,y)$
$\varphi(x) = f(x, y+k) - f(x,y)$

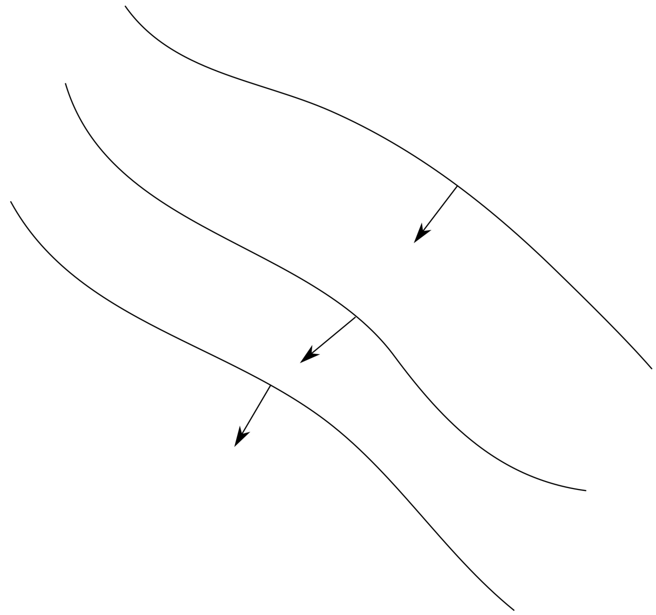

Rysunek 4: Powierzchnia ekwipotencjalna I

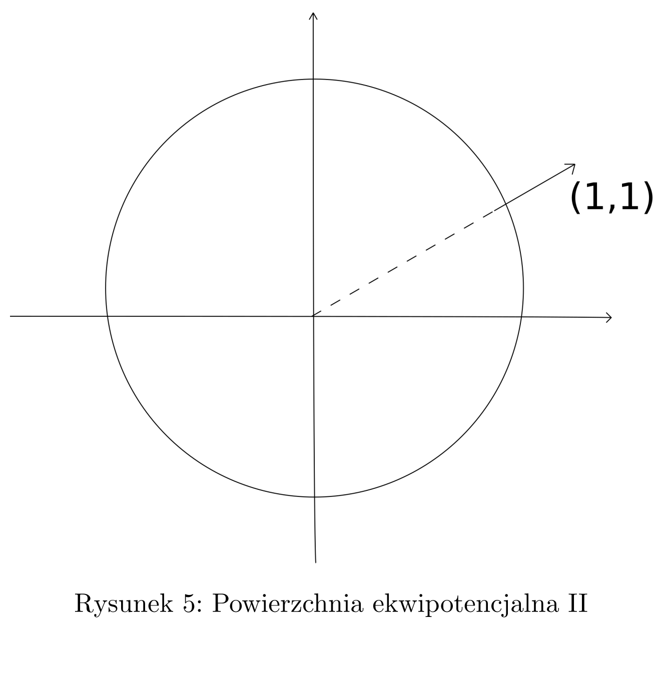

Rysunek 5: Powierzchnia ekwipotencjalna II

wówczas

$$
\begin{aligned}
&w = \varphi(x+h) - \varphi(x) = \frac{\partial \varphi}{\partial x}(\xi)h = \\
&= \Big[\frac{\partial f}{\partial x}(\xi, y+k) - \frac{\partial f}{\partial x}(\xi, y)\Big]h = \frac{\partial}{\partial y}\Big(\frac{\partial f}{\partial x}(\xi,\eta)\Big)hk, \\
&\text{gdzie } x < \xi < x+h, \quad y < \eta < y+k
\end{aligned}
$$

Niech $\Psi(y) = f(x+h, y) - f(x,y)$
$w(x,y) = \Psi(y+k) - \Psi(y) = \frac{\partial \Psi}{\partial y}(\eta_1)k = \Big[\frac{\partial f}{\partial y}(x+h, \eta_1) - \frac{\partial f}{\partial y}(x, \eta_1)\Big]k = \frac{\partial}{\partial x}\Big(\frac{\partial f}{\partial y}(\xi,\eta)\Big)kh$, czyli $\underset{\xi \in]x, x+h[}{\exists}$, $\quad \xi_1 \in]x, x+h[, \quad \eta \in]y, y+k[, \quad \eta_1 \in]y, y+k[\quad (y < \eta_1 < y+k)$
Jeżeli $h \to 0$
$\Big(\frac{\partial^2 f}{\partial y \partial x}(\xi, \eta) = \frac{\partial^2 f}{\partial x \partial y}(\xi_1, \eta_1)\Big)$
to $\xi \to x, \xi_1 \to x, \eta \to y, \eta_1 \to y$, czyli:

$$\frac{\partial^2 f}{\partial y \partial x}(x,y) = \frac{\partial^2 f}{\partial x \partial y}(x,y)$$

Jeżeli każda z tych wielkości jest ciągła $\square$

Wzór Taylora

Niech $f : \mathcal{O} \to \mathbb{R}, \mathcal{O} \subset \mathbb{R}^n$ - otwarty
$\varphi(t) = f(x_0 + th), h \in \mathbb{R}^n, t \in [0,1]$

Dla $h = \begin{bmatrix} h^1 \\ \vdots \\ h^n \end{bmatrix}, x_0 = \begin{bmatrix} x_0^1 \\ \vdots \\ x_0^n \end{bmatrix}, \varphi(t) = f(x_0^1 + th^1, x_0^2 + th^2, \dots, x_0^n + th^n)$

$\frac{\partial \varphi}{\partial t} = \frac{\partial f}{\partial x^1}\Big|_{x=x_0+th} h_1 + \frac{\partial f}{\partial x^2}\Big|_{x=x_0+th} h_2 + \dots + \frac{\partial f}{\partial x^n}\Big|_{x=x_0+th} h_n = \sum_{i=1}^n \frac{\partial f}{\partial x^i}\Big|_{x_0+th} h_i$
$\frac{\partial^2 \varphi}{\partial t^2} = \sum_{j=1}^n \sum_{i=1}^n \frac{\partial f}{\partial x^i \partial x^j}\Big|_{x_0+th} h_j h_i$
$\vdots$
$\frac{\partial^k \varphi}{\partial t^k} = \sum_{i^1,\dots,i^k}^n \frac{\partial^{(k)} f}{\partial x^{i_1} \dots \partial x^{i}} h_{i_1} \dots h_{i_k}$
$\varphi(t) = \varphi(0) = \varphi'(0)(t-0) + \frac{\varphi''(0)}{2!}(t-0)^2 + \dots + \frac{\varphi^k(0)}{k}(t-0)^k + r(\dots)$
Czyli:

$$\varphi(1) - \varphi(0) = \varphi'(0) + \frac{\varphi''(0)}{2!} + \frac{\varphi'''(0)}{3!} + \dots + \frac{\varphi^k(0)}{k!} + r(\dots)$$

$$f(x_0 + h) - f(x_0) = \sum_{i=1}^n \frac{\partial f}{\partial x^i}(x_0)h_i + \frac{1}{2!}\sum_{i,j=1}^n \frac{\partial^2 f}{\partial x^i \partial x^j}(x_0)h_i h_j + \dots\dots \square$$

5 Wykład (12.03.2019)

$$f(x_0+h) = f(x_0) + \sum_{i=1}^{n} \frac{\partial f}{\partial x^i}(x_0)h^i + \frac{1}{2!}\sum_{\substack{i=1\\j=1}}^{n} \frac{\partial^2 f}{\partial x^i \partial x^j}(x_0)h^i h^j + \cdots + \frac{1}{p!}$$

$$\sum_{\substack{i_1=1\\ \vdots \\ i_p=1}}^{n} \frac{\partial^p f}{\partial x^{i_1}\ldots\partial x^{i_p+1}}(x_0)h^{i_1}\ldots h^{i_p} + R_{p+1}(x_0,h)$$

$$\text{gdzie } R_{p+1}(h) = \frac{1}{(p+1)!}\sum_{\substack{i_1=1\\ \cdots \\ i_{p+1}=1}}^{n} \frac{\partial^{p+1} f}{\partial x^{i_1}\ldots\partial x^{i_p+1}} \underset{\substack{0<\theta<1\\ \text{wersja } \mathbb{R}^n \text{ dla}\\ "x_0<c<x_0+h"}}{(x_0+\theta h)} \; h^{i_1}\ldots h^{i_{p+1}}$$

Obserwacja 1 $\lim\limits_{h\to 0} \frac{R_{p+1}(x_0,h)}{||h||^p} \to 0$

Przykład 13

$f:\mathbb{R}^2 \to \mathbb{R}, \quad f(x,y) = x^2y^3, f'(x,y) = \begin{bmatrix} 2xy^3, 3x^2y^2 \end{bmatrix}.$

Jeżeli $h = \begin{bmatrix} h_1 \\ h_2 \end{bmatrix}$, to wtedy

$$\sum_{\substack{i=1\\j=1}}^{2} \frac{\partial^2 f}{\partial x^i \partial x^j}h^i h^j = \frac{\partial^2 f}{\partial x^1 \partial x^1}h^1h^1 + \frac{\partial^2 f}{\partial x^1 \partial x^2}h^1h^2 + \frac{\partial^2 f}{\partial x^2 \partial x^1}h^2h^1 + \frac{\partial^2 f}{\partial x^2 \partial x^2}h^2h^2 =$$

$$= \begin{bmatrix} h_1, h_1 \end{bmatrix} \begin{bmatrix} \frac{\partial^2 f}{\partial x_1^2} & \frac{\partial^2 f}{\partial x_1 \partial x_2} \\ \frac{\partial^2 f}{\partial x_2 \partial x_1} & \frac{\partial^2 f}{\partial x_2^2} \end{bmatrix} \begin{bmatrix} h_1 \\ h_2 \end{bmatrix}$$

To czy ta macierz jest uśmiechnięta etc. (dodatnio/ujemnie określona) na algebrze.

Minima i maksima

Przypomnienie Niech $f : \mathcal{O} \to \mathbb{R}, \mathcal{O} \subset \mathbb{R}^n, \mathcal{O}$ - otwarty, $x_0 \in \mathcal{O}$
Mówimy, że f ma w x_0 minimum lokalne, jeżeli:

$$\underset{\eta>0}{\exists} \quad \underset{\substack{x\in K(x_0,\eta)\\ K(x_0,\eta)\subset\mathcal{O}\\ x\neq x_0}}{\forall} \quad f(x) > f(x_0), \{f(x) < f(x_0)\} \leftarrow \text{ maksimum}$$

Albo inaczej:

$$\underset{\eta>0}{\exists} \ \underset{h}{\forall} \ ||h|| < \eta, \quad x_0 + h \in \mathcal{O}, h \neq 0, \text{ to wtedy } f(x_0+h) > f(x_0)$$

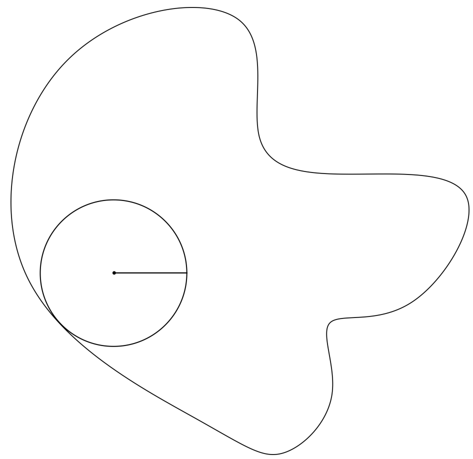

Rysunek 6: istnieje otoczenie, dla którego $f(x) > f(x_0)$ (nie musi być styczne!)

Stwierdzenie 1 *jeżeli* $f : \mathcal{O} \to \mathbb{R}, \mathcal{O}$ *- otwarty,* $x_0 \in \mathcal{O}, f$ *- posiada w* x_0 *minimum lub maksimum lokalne, to*

$$\frac{\partial f}{\partial x^i}(x_0) = 0, i = 1, \ldots, n$$

(działa tylko w prawo, bo możliwe punkty przegięcia ((siodła)))

Dowód 7

Niech $g_h(t) = f(x_0 + th)$ i $g : [0, \epsilon[\to \mathbb{R}$.
Zauważmy, że jeżeli f ma minimum lub maksimum w x_0, to znaczy, że $g_h(t)$ ma minimum lub maksimum w $t = 0$, czyli $\frac{\partial}{\partial t} g_h(t)\big|_{t=0}$

Czyli:

$$x_0 = \left(x_0^1, x_0^2, \ldots, x_0^n\right)$$
$$h = \left(h^1, h^2, \ldots, h^n\right)$$

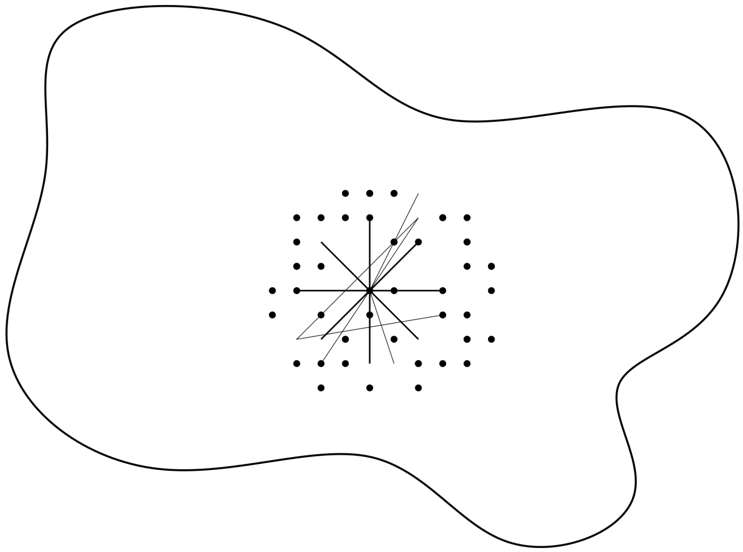

Rysunek 7

$$\frac{d}{dt}g_h(t)\bigg|_{t=0} = \frac{d}{dt}f(x_0^1 + th^1, \dots, x_0^n + th^n)\bigg|_{t=0} =$$
$$\frac{\partial f}{\partial x^1}(x_0 + th^1)h^1 + \frac{\partial f}{\partial x^2}(x_0 + th^2)h^2 + \dots + \frac{\partial f}{\partial x^n}(x_0 + th^n)\bigg|_{t=0} =$$
$$= \sum_{i=1}^{n} \frac{\partial f}{\partial x^i}(x_0)h^i = 0 \quad |\underset{h}{\forall} : ||h|| < \eta, \text{ to znaczy: } \frac{\partial f}{\partial x^i}(x_0) = 0_{i=1,\dots,n} \square$$

Twierdzenie 5 *Niech* $f : \mathcal{O} \to \mathbb{R}, \quad \mathcal{O} \subset \mathbb{R}^n, \quad x_0 \in \mathcal{O}, \quad \mathcal{O}$ *- otwarty, a* f *- klasy* $C^{2p}(\mathcal{O})$ *oraz* $f'(x_0) = 0, f''(x_0) = 0, \dots, f^{(2p-1)}(x_0) = 0$ *i*

$$\underset{c>0}{\exists} \quad \underset{\eta>0}{\exists} \quad \underset{h \in K(x_0,\eta)}{\forall} : \quad \sum_{\substack{i_1=1 \\ \vdots \\ i_{2p}=1}}^{n} \frac{\partial^{(2p)} f}{\partial x^{i_1} \dots \partial x^{i_{2p}}}(x_0)h^{i_1} \dots h^{i_{2p}} \geqslant c||h||^{2p} (\leqslant c||h||^{2p})$$

to f *ma w* x_0 *minimum (maksimum) lokalne.*

Dowód 8 *(dla minimum)*
(wersja uproszczona dla f *klasy* $C^{2p+1}(\mathcal{O})$*)*

Jeżeli f spełnia założenie z twierdzenia, to wtedy

$$f(x_0+h)-f(x_0)=\frac{1}{(2p)!}(\Delta)\sum_{\substack{i_1=1\\ \vdots\\ i_{2p}=1}}^{2p}\frac{\partial^{(2p)}f(x_0)}{\partial x^{i_1}\dots x^{i_{(2p)}}}h^{i_1}\dots h^{i_{(2p)}}+r_{2p+1}(x_0+h)$$

Wiemy też , że $\underset{c>0}{\exists}\quad\underset{\eta>0}{\exists}\quad\underset{\substack{\text{Chodzi o to, żeby reszta}\\ \text{nie mogła tego przekroczyć}}}{(\Delta)\geqslant c||h||^{2p}}$

Chcemy pokazać, że $\underset{\eta}{\exists}\quad\underset{||h||<\eta}{\forall}\left|r_{2p+1}(x,h)\right|\leqslant\underset{\substack{\text{albo 7,}\\ \text{albo 2019}}}{\frac{c}{2}}||h||^{2p}$

Czyli chcemy zbadać wielkość:

$$\frac{1}{(2p+1)!}\sum_{\substack{i_1=1\\ \vdots\\ i_{2p+1}=1}}^{n}\frac{\partial^{(2p+1)}f(x_0+\theta h)}{\underset{0<\theta<1}{\partial x^{i_1}\dots\partial x^{i_{(2p+1)}}}}h^{i_1}\dots h^{i_{(2p+1)}}=\text{ /*tu potrzebne założenie, że } f \text{ - klasy } C^{2p+1}(\mathcal{O})\text{*/} = r_{2p+}$$

Zauważmy, że $\lim\limits_{h\to 0}\frac{r_{2p+1}(x_0+h)}{||h||^{2p}}\to 0$, ale zatem

$$\underset{M>0}{\forall}\quad\underbrace{\underset{N}{\exists},\underset{n>N}{\forall}}_{\substack{\text{bez sensu!}\\ \underset{\eta}{\exists},\ \underset{||h||<\eta}{\forall}}}\ \frac{r_{2p+1}(x_0+h)}{||h||^{2p}}<M$$

$$\text{czyli: }\left|\frac{r_{2p+1}(x_0,h)}{||h||^{2p}}\right|<M$$

$$\underset{M}{\forall}\quad\underset{\eta}{\exists}\underset{||h||<\eta}{\forall}\quad\left|r_{2p+1}(x_0,h)\right|<M\big|\big|h\big|\big|^{2p}$$

Kładziemy $M=\frac{c}{2}$ i mamy

$$\underset{\eta}{\exists},\underset{||h||<\eta}{\forall}\quad f(x_0+h)-f(x_0)\geqslant\frac{c}{2}||h||^{2p}\quad\square$$

Uwaga: Dlaczego warunek $(|||)>c||h||^{2p}$, a nie po prostu $()>0$?

Przykład 14

$f(x,y)=x^2+y^4$, $\quad\frac{\partial f}{\partial x}=2x$, $\quad\frac{\partial f}{\partial y}=4y^3$.
$f'()=0\iff(x,y)=(0,0)$
Badamy: $f(0+h)-f(0)=\begin{bmatrix}h_1,h_2\end{bmatrix}\begin{bmatrix}2&0\\0&2y^2\end{bmatrix}\begin{bmatrix}h_1\\h_2\end{bmatrix}=\begin{bmatrix}h_1,h_2\end{bmatrix}\begin{bmatrix}2&0\\0&0\end{bmatrix}\begin{bmatrix}h_1\\h_2\end{bmatrix}=2h_1^2$

Czyli $f(0+h)-f(0)\ 2h_1^2$ - minimum? maksimum? - zależy w którą stronę.
$h=\begin{bmatrix}h_1\\0\end{bmatrix}$ - minimum

$h = \begin{bmatrix} 0 \\ h_2 \end{bmatrix}$ - równo.
Coś takiego - siodło.

Widzimy zatem, że nie jest spełniony warunek $\underset{c}{\exists} [h_1, h_2] \begin{bmatrix} 2 & 0 \\ 0 & 0 \end{bmatrix} \begin{bmatrix} h_1 \\ h_2 \end{bmatrix} \geqslant c \left|\left|h\right|\right|^2$, bo dla $h = \begin{bmatrix} 0 \\ h_2 \end{bmatrix} \quad 0 \not\geqslant c \left|\left| \begin{bmatrix} 0 \\ h_2 \end{bmatrix} \right|\right|$

Kilka fajnych zastosowań

$$\frac{mv^2}{2} = \begin{bmatrix} & v & \end{bmatrix} \begin{bmatrix} \frac{m}{2} & & \\ & \frac{m}{2} & \\ & & \ddots \end{bmatrix} \begin{bmatrix} \\ v \\ \\ \end{bmatrix}$$

$$\frac{I\omega^2}{2} = \begin{bmatrix} & \omega & \end{bmatrix} \begin{bmatrix} - & - & - \\ - & - & - \\ - & - & - \end{bmatrix} \begin{bmatrix} \\ \omega \\ \\ \end{bmatrix}$$

6 Wykład (15.03.2019)

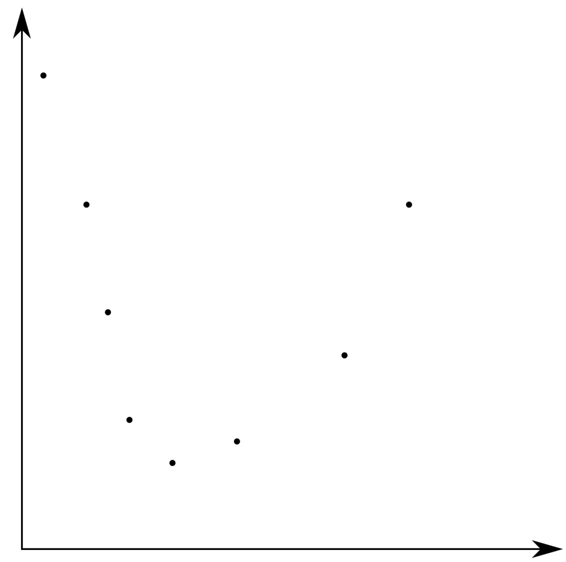

Rysunek 8: Inne podejście: iterujemy funkcję na jej wyniku

Definicja 5 *Niech $L : V \to W, L$ - liniowe, $(V, ||.||_v), (W, ||.||_w)$ - unormowane. Mówimy, że L jest ograniczone, jeżeli*

$$\underset{A>0}{\exists}, \underset{x \in V}{\forall} ||L(x)||_w \leqslant A||x||_v$$

Przykład 15

dla $\begin{bmatrix} x \\ y \end{bmatrix} \in \mathbb{R}^2, f(x, y) : \mathbb{R}^2 \to \mathbb{R}^2$

$$\underset{?A}{\exists}, \forall \begin{bmatrix} x \\ y \end{bmatrix} \in \mathbb{R}^2, \left|\left| \begin{bmatrix} \frac{1}{2} & 0 \\ 0 & \frac{1}{2} \end{bmatrix} \begin{bmatrix} x \\ y \end{bmatrix} \right|\right| \leqslant A \left|\left| \begin{bmatrix} x \\ y \end{bmatrix} \right|\right|$$

$$Ale : \forall \begin{bmatrix} x \\ y \end{bmatrix} \in \mathbb{R}^2, \left|\left| \begin{bmatrix} \frac{1}{2} & 0 \\ 0 & \frac{1}{2} \end{bmatrix} \begin{bmatrix} x \\ y \end{bmatrix} \right|\right| < \frac{1}{2} \left|\left| \begin{bmatrix} x \\ y \end{bmatrix} \right|\right|$$

Twierdzenie 6 *Twierdzenie (L - ograniczone) $\iff$ (L - ciągłe)*

Dowód 9 $\Longleftarrow$

Wiemy, że $\underset{\varepsilon>0}{\forall}, \underset{\delta}{\exists}, \underset{x,x' \in V}{\forall}, \quad ||x-x'||_v < \delta \implies ||L(x) - L(x')||(*) < \varepsilon$

Chcemy pokazać, że:

$$\underset{A>0}{\exists}. \underset{x,x' \in V}{\forall} \quad ||L(x-x')|| \leqslant A||x-x'||$$

zatem wiemy, że para (ε, δ) spełniająca warunek $(*)$ istnieje.

$$\text{Ale } ||L(x-x')|| = \underbrace{\left|\left|L\left(\frac{x-x'}{||x-x'||}\right)\frac{\delta}{2}\right|\right|\frac{||x-x'||2}{\delta}}_{\text{własność liniowości i normy}} \leqslant \varepsilon\frac{||x-x'||2}{\delta}$$

Co wiemy o $\left|\left|\frac{x-x'}{||x-x'||}\frac{\delta}{2}\right|\right|_v < \delta$?

$$\underset{x,x' \in V}{\forall} ||L(x-x')||_w \leqslant \frac{2\varepsilon}{\delta}||x-x'||_v$$

$$\text{Szukane } A = \frac{2\varepsilon}{\delta} \text{ istnieje!} \quad \square$$

$\Longrightarrow$

$$\text{Wiemy, że } \underset{A}{\exists}. \underset{x,x' \in V}{\forall}. ||L(x-x')|| \leqslant A||x-x'|| \tag{5}$$

Chcemy pokazać, że jeżeli $x_n \to x_0$, to $L(x_n) \to L(x_0)$, ale $0 \leqslant ||L(x_n) - L(x_0)||_w = ||L(x_n - x_0)||_w \leqslant A||x_n - x_0||$(bo (**??**))

$$0 \leqslant ||L(x_n) - L(x_0)||_w \leqslant A||x_n - x_0||(\text{wszystko dąży do } 0) \quad \square$$

Definicja 6 *Wielkość* $\underset{A}{inf}\{\underset{x \in V}{\forall}||L(x)||_w \leqslant A||x||_v\}$ *nazywamy normą odwzorowania* L *i oznaczamy* $A \overset{ozn}{=} ||L||$.

Definicja 7 *Niech* $U \subset \mathbb{R}^m$ *- jest zbiorem wypukłym, jeżeli* $\underset{a,b \in U}{\forall}. \quad [a,b] \overset{def}{=} \{a(1-t)+bt, t \in [0,1]\} \subset U$

Stwierdzenie 2 *Niech* $f : U \subset \mathbb{R}^m \to \mathbb{R}^n, U$ *- otwarte, wypukły* $\underset{M}{\exists}. \underset{x \in U}{\forall}||f'(x)|| \leqslant M$*, to* $\underset{a,b \in U}{\forall}||f(b) - f(a)||_n \leqslant M||b-a||_m$ *(jakiekolwiek skojarzenia z Twierdzeniem Lagrange zupełnie przypadkowe *wink* *wink*)*

Dowód 10

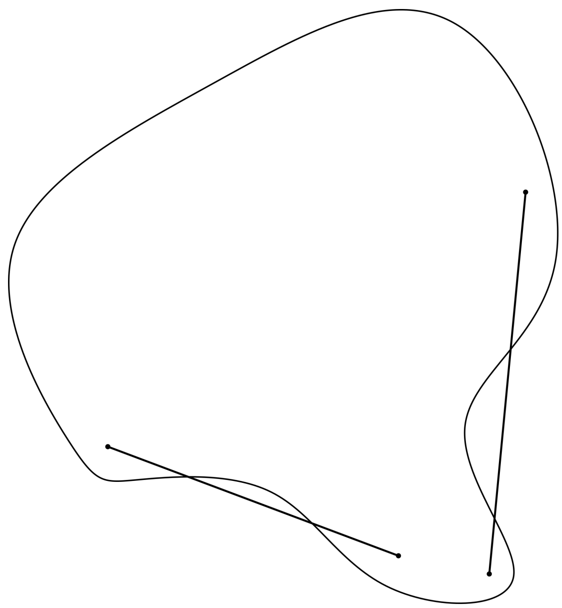

Rysunek 9: zbiór wklęsły

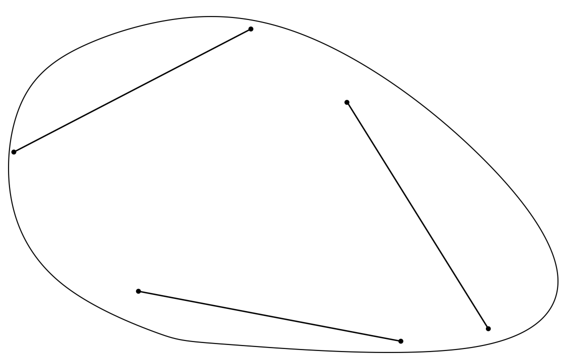

Rysunek 10: zbiór wypukły

niech $\gamma(t) = a(1-t) + bt, t \in [0,1], \quad g(t) = f(\gamma(t)), g : \mathbb{R}^1 \to \mathbb{R}^n$

$$\text{Czyli } g(t) = \begin{bmatrix} g_1(t) \\ g_2(t) \\ \vdots \\ g_n(t) \end{bmatrix}, \text{ zatem } \|g(1) - g(0)\| = \left\| \begin{bmatrix} g_1(1) - g_1(0) \\ g_2(1) - g_2(0) \\ \vdots \\ g_n(1) - g_n(0) \end{bmatrix} \right\| \overset{\text{Tw. Lagrange!}}{=}$$

$$= \left\| \underset{0<c_i<1}{\begin{bmatrix} g_1'(c_1)(1-0) \\ g_2'(c_2)(1-0) \\ \vdots \\ g_n'(c_n)(1-0) \end{bmatrix}} \right\| \leqslant \left\| \begin{bmatrix} g_1'(c_1) \\ g_2'(c_2) \\ \vdots \\ g_n'(c_n) \end{bmatrix} \right\| \|1-0\|$$

Ale $g'(t) = f'(\gamma(t))\gamma'(t) \to \|g'(t)\| = \|f'(\gamma(t))(b-a)\| \leqslant \|f'(\gamma(t))\| \|b-a\| \underset{\text{z zał. stw.}}{\leqslant} M$

$$\text{Czyli } \underset{t\in[0,1]}{\forall} \|g'(t)\| \leqslant M \|b-a\| \implies \|f(b) - f(a)\| \leqslant M \|b-a\| \quad \square$$

Niech X - unormowana: $P : X \to X, P$ - ciągła na X.
Interesuje nas zbieżność ciągów typu $\{x_0, P(x_0), P(P(x_0)), \dots\}, x_0 \in X$

Definicja 8 *$\tilde{x} \in X$ nazywamy punktem stałym, jeżeli $P(\tilde{x}) = \tilde{x}$*

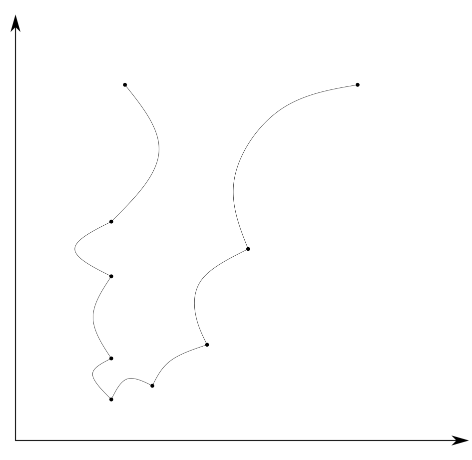

Twierdzenie 7 *Jeżeli ciąg $\{x_0, P(x_0), \dots\}$ - zbieżny i P - ciągłe, to jest on zbieżny do punktu stałego.*

Dowód 11

Niech $x_n = P^{(n)}(x_0)$. Wiemy, że x_n - zbieżny, oznaczmy granicę tego ciągu przez $\tilde{x}$. Mamy:

$$\underset{\varepsilon_1>0}{\forall}.\underset{N_1}{\exists}.\underset{n>N_1}{\forall} \quad d(x_n, \tilde{x}) < \varepsilon_1 \tag{6}$$

$$\underset{\varepsilon_2>0}{\forall}.\underset{N_2}{\exists}.\underset{n>N_2}{\forall} \quad d(x_{n-1}, \tilde{x}) < \varepsilon_2 \tag{7}$$

P - ciągłe, czyli

$$\underset{\varepsilon>0}{\forall}.\underset{\delta}{\exists}.\underset{x'}{\forall}: \quad d(x, x') < \delta \implies d(P(x), P(x')) < \varepsilon, \text{ bo } (\textbf{??})$$

Chcemy pokazać, że

$$\underset{\varepsilon>0}{\forall} \quad d(\tilde{x}, P(\tilde{x})) < \varepsilon \tag{8}$$

Ale

$$d(\tilde{x}, P(\tilde{x})) \leqslant d(\tilde{x}, x_n) + d(x_n, P(\tilde{x})) = d(\tilde{x}, x_n) + d(P(x_{n-1}), P(\tilde{x})) < \varepsilon + \varepsilon = 2\varepsilon \quad \square \tag{9}$$

Ale z (**??**) wynika, że $\underset{\varepsilon>0}{\forall}.\underset{\delta}{\exists} \quad d(x_{n-1}, \tilde{x}) < \delta \implies d(P(x_{n-1}), P(\tilde{x})) < \varepsilon$ (10)

Zatem znając ε z (**??**) przyjmujemy $\varepsilon_1 = \varepsilon$, oprócz tego znajdujemy δ przyjmując $\varepsilon_1 = \varepsilon$, a potem położymy $\varepsilon_2 = \delta$ z (**??**) i dzięki temu mamy (**??**)

Niech X - przestrzeń metryczna, odwzorowanie $P : X \to X$ nazywamy zwężającym, jeżeli:

$$\underset{q\in[0,1[}{\exists}.\underset{x,y\in X}{\forall} d(P(x), P(y)) \leqslant q d(x, y) \tag{11}$$

Twierdzenie 8 *(Zasada Banacha o lustrach)*
Jeżeli $P : X \to X, P$ - zwężające, to

1. $\underset{x_0\in X}{\forall} \quad \{x_0, P(x_0), P(P(x_0)), \dots\}$ *- Zbieżny do punktu stałego $\tilde{x}$* (12)
2. *Istnieje tylko jedno $\tilde{x}$* (13)
3. $\underset{m}{\forall} \quad d(x_m, \tilde{x}) < \dfrac{q^m}{1-q} d(x_1, x_0)$ (14)

Przykład 16 *(uwaga)*

(P - nie musi być ciągłe) - potem się okaże, że ciągłość gdzieś tutaj siedzi *implicite*
- lustra w łazience koło sali 1.01 $\to$ można stanąć tak, że jedno jest przed tobą a drugie za tobą i wtedy te odbicia się ciągną w nieskończoność i zbiegają do punktu
- telewizor + kamera która go nagrywa a on wyświetla ten obraz
- mapa położona na podłodze zawiera dokładnie jeden punkt, który się pokrywa z miejscem na którym leży

Dowód 12 *ad. 2*

Załóżmy, że $\underset{\tilde{x}_1,\tilde{x}}{\exists} P(\tilde{x}_1) = \tilde{x}_1, P(\tilde{x}_2) = \tilde{x}_2, \tilde{x}_1 \neq \tilde{x}_2$

Wtedy $d(\tilde{x}_1, \tilde{x}_2) = d(P(\tilde{x}_1), P(\tilde{x}_2)) < qd(\tilde{x}_1, \tilde{x}_2)$

Dalej:

$$d(\tilde{x}_1, \tilde{x}_2) \leqslant qd(\tilde{x}_1, \tilde{x}_2), \text{ ale } 0 \leqslant q \leqslant 1, \tilde{x}_1 \neq \tilde{x}_2 \implies \text{ sprzeczność!} \quad \square$$

Obserwacja 2

$d(x_{n+1}, x_n) = d(P(x_n), P(x_{n-1})) \leqslant qd(x_n, x_{n-1}) = qd(P(x_{n-1}), P(x_{n-2})) \leqslant q^2 d(x_{n-1}, x_{n-2}) \leqslant q^n d(x_1, x_0)$

Co, jeżeli zamiast $n+1$ weźmiemy $n+m$? $d(x_{n+m}, x_n) \leqslant d(x_{n+m}, x_{n+m+1}) + d(x_{n+m-1}, x_n) \leqslant d(x_{n+m}, x_{n+m-1}) + d(x_{n+m-1}, x_{n+m-2}) + d(x_{n+m-2}, x_n) \leqslant \cdots \leqslant d(x_{n+m}, x_{n+m-1} + \cdots + d(x_{n+1}, x_n) \leqslant (q^{n+m-1} + \cdots + q^{n+2} + q^{n+1} + q^n) d(x_1, x_0) \leqslant q^n \left(\frac{1-q^n}{1-q}\right) d(x_1, x_0) \underset{0 \leqslant q < 1}{\leqslant} \frac{q^n}{1-q} d(x_1, x_0)$

Czyli $d(x_{n+m}, x_n) \leqslant \frac{q^n}{1-q} d(x_1, x_0)$

Skoro X - zupełna, to jeżeli x_n - Cauchy, to znaczy, że jest zbieżny w X. Czyli czy

$$\underset{\varepsilon>0}{\forall} \underset{N}{\exists} \underset{n,m>N}{\forall} \quad d(x_n, x_m) < \varepsilon?$$

Załóżmy, że $m > n$ i $m = n + k$. Wtedy

$$\underset{\varepsilon>0}{\forall} \underset{N}{\exists} \underset{n>N}{\forall} \quad d(x_n, x_{n+k}) < \varepsilon? \text{ TAK!}$$

Dla N takiego, że $\frac{q^N}{1-q} d(x_1, x_0) < \varepsilon$. Stąd wiadomo, że x_n - Cauchy, czyli jest zbieżny. $x_n \to \tilde{x}$, zatem jeżeli $d(x_{n+m}, x_n) \leqslant \frac{q^n}{1-q} d(x_1, x_0) \to d(\tilde{x}, x_n) \leqslant \frac{q^n}{1-q} d(x_1, x_0)$ $\square$

7 Wykład (19.03.2019)

Twierdzenie 9 *(o lokalnej odwracalności)*

Niech $f : E \to E, E$ *- otwarty,* $E \subset \mathbb{R}^N, f$ *- różniczkowalna w sposób ciągły na* E.
$(f$ *- klasy* $\mathcal{C}^1(E)), \underset{a,b \in E}{\exists} : f(a) = b \land f'(a)$ *- odwracalna* $(det(f'(a)) \neq 0)$*, to:*

1. $\underset{U,V \subset E}{\exists}, \underset{a \in U, b \in V}{\exists}, U, V$ *- otwarte,* f *- bijekcja między* U, V
2. $\underset{g:V \to U}{\exists}.\underset{x \in V}{\forall}, f(g(x)) = x, g$ *- ciągła i różniczkowalna na* V

Uwaga: Dowód składa się z trzech części:

1. Pokażemy, że $\underset{U,V}{\exists} : f$ - bijekcja na U, V
2. Pokażemy, że U, V - otwarte
3. Pokażemy, że $\underset{g:V \to U}{\exists}, g$ - różniczkowalna na V i ciągła.

Przykład 17

$f(x,y) = \begin{bmatrix} e^x \cos y \\ e^x \sin y \end{bmatrix}, f'(x,y) = \begin{bmatrix} e^x \cos y & -e^x \sin y \\ e^x \sin y & e^x \cos y \end{bmatrix}$
$det(f'(x,y)) = e^{2x} \neq 0$, ale $f(x,y) = f(x, y + 2\pi)$ (czyli funkcja jest okresowa)

Dowód 13

Część I:
Szukamy $U, V : f$ - bijekcja miedzy U i V Skoro $f'(a)$ - odwracalne, to znaczy, że $\underset{(f'(a))^{-1}}{\exists}$, zatem $\underset{\lambda}{\exists} : 2\lambda \|(f'(a))^{-1}\| = 1$

Wiemy, że $f'(x)$ - ciągła w $x = a$, czyli

$$\underset{\varepsilon > 0}{\forall}.\underset{\delta}{\exists}.\underset{x}{\forall}, d(x,a) < \delta \implies \|f'(x) - f(a)\| < \varepsilon \tag{15}$$

Połóżmy $\varepsilon = \lambda$.
Oznacza to, że

$$\underset{\delta_\lambda}{\exists}.\underset{x}{\forall} x \in K(a, \delta_\lambda) \implies \|f'(x) - f'(a)\| < \lambda \tag{16}$$

Więc $U = K(a, \delta_\lambda)$, niech $V = f(U)$. Chcemy pokazać, że f - bijekcja między U i V.

Wprowadźmy funkcję pomocniczą:

$$\varphi_y(x) = x + [f'(a)]^{-1}(y - f(x)), x, y \in E \tag{17}$$

Pytanie 3 *Co by było gdyby $\varphi_y(x)$ posiadała punkt stały? (jakie własności x by z tego faktu wynikały)*
dla $x \in U, y \in V, (y \in f(a))$?

Z zasady Banacha wiemy, że odwzorowanie zwężające ma dokładnie jeden punkt stały, czyli $\underset{y\in V}{\forall}.\underset{x\in U}{\exists} : f(x) = y$

O f - z taką własnością mówimy, że jest 1-1 na U. (iksa nie obchodzą sąsiedzi, f musi być ciągłe to będzie bijekcja)

Policzmy $\varphi_y'(x) = \mathbb{I} + (f'(a))^{-1}(-f'(x)) = (f'(a))^{-1}(f'(a) - f'(x))$, więc $\|\varphi_y'(x)\| = \|f'(a)^{-1}(f'(a)-f'(x))\| \leqslant \|(f'(a)^{-1})\|\|f'(a)-f'(x)\| \leqslant \underset{x\in U}{\forall} \frac{1}{2\lambda}\lambda = \frac{1}{2}$

Pamiętamy, że jeżeli $\underset{M}{\exists}\|\varphi_y'(x)\| \leqslant M$, to $\underset{x,y}{\forall}\|\varphi(x) - \varphi(y)\| < M\|x - y\|$

Zatem skoro $\|\varphi_y'(x)\| \leqslant \frac{1}{2}$, to

$$\underset{x_1,x_2\in U}{\forall}\|\varphi_y(x_1) - \varphi_y(x_2)\| \leqslant \frac{1}{2}\|x_1 - x_2\|,$$

więc φ - zwężający na U, więc posiada dokładnie jeden punkt stały $\underset{y\in V}{\forall}$. Zatem f - bijekcja między U i V.

Część II - otwartość U i V

1. Zbiór U - otwarty (bo tak go zdefiniowaliśmy) ($U = K(a, \delta_1)$), więc $\underset{x_0\in U}{\exists}, \underset{r}{\exists} K(x_0, r) \subset U$, lub równoważnie $\|x - x_0\| \leqslant r \wedge x \in U$.
Chcemy pokazać, że dla $y_0 = f(x_0) \underset{K(y_0,\lambda r)\subset V}{\exists}$, czyli że V - otwarty.

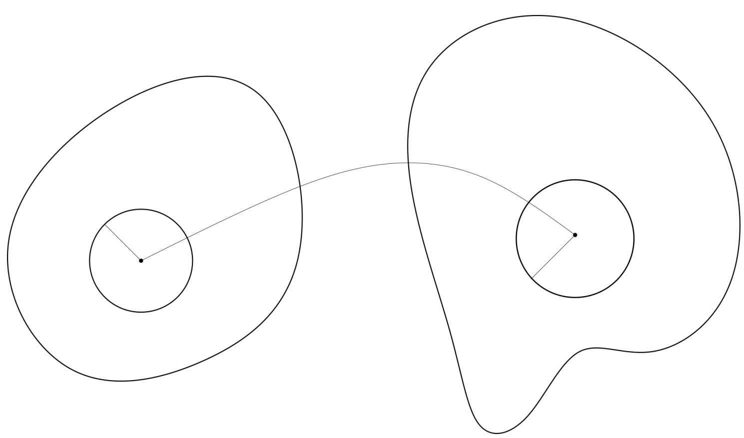

Rysunek 11: Trochę jak listy do św. Mikołaja (??)

Weźmy $y \in K(y_0, \lambda r)$. Zauważmy, że $\varphi_{y_1}(x_1)$ - zwężające, jeżeli $y_1 \in V, x_1 \in U$
Jeżeli pokażemy, że dla $\|y - y_0\| < \lambda r, \varphi_y(x)$ - zwężająca na $K(x_0, r) \subset U$, to będziemy wiedzieli, że $\|y - y_0\| < \lambda r$ oraz $y \in V \iff K(y_0, \lambda r) \subset V$

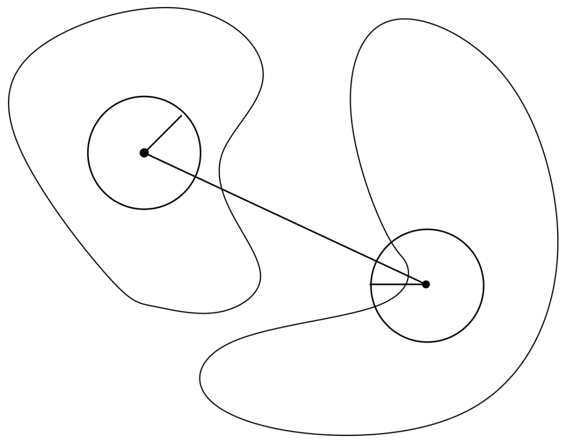

Rysunek 12: Nie ok.

Żeby pokazać, że $\varphi_y(x)$ - zwężające na $K(x_0,r)$, zbadamy tę wielkośc dla $x \in K(x_0,r)$. $\|\varphi_y(x)-x_0\|$, chcielibyśmy, aby $\|\varphi_y(x)-x_0\| \leqslant r$ i $\|y-y_0\| < \lambda r$, ale z drugiej strony

$$\|\varphi_y(x)-x_0\| = \|\varphi_y(x)-\varphi_y(x_0)+\varphi_y(x_0)-x_0\| \leqslant \|\varphi_y(x)-\varphi_y(x_0)\|+\|\varphi y(x_0-x_0)\|$$

Ale $\|\varphi_y(x_0)-x_0\| \leqslant \|(f'(a))^{-1}\|\|y-y_0\| \leqslant \frac{1}{2\lambda}\lambda r = \frac{r}{2}$, więc $\|\varphi_y(x)-x_0\| \leqslant r$, jeżeli $\|y-y_0\| < \lambda r, \|x-x_0\| \leqslant r$.

Stąd wiemy , że punkt stały dla $\varphi_y(x) : x \in K(x_0,r)$ należy do $K(x_0,r)$ i $\|y-y_0\| < \lambda r$, zatem $y = f(x)$, czyli V - otwarty.

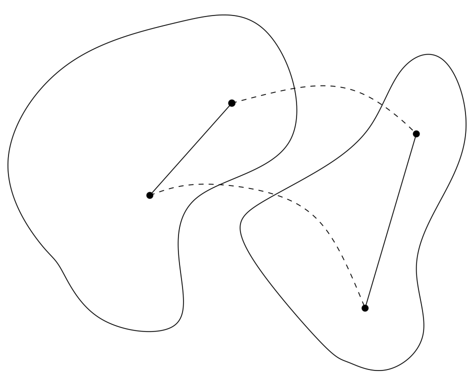

Rysunek 13

Część III:

Szukamy $g : V \to U$

Skoro f - bijekcja między U i V, to znaczy, że $\underset{g:V\to U}{\exists} f(g(x)) = x \underset{x\in V}{\forall}$.

Chcemy pokazać, że $g(x)$ - różniczkowalne. Wiemy, że f - różniczkowalna w

$x \in U$, czyli

$$\frac{f(x+h)-f(x)-f'(x)h}{\|h\|} \overset{h\to 0}{\to} 0, x, x+h \in V$$

Jeżeli pokażemy, że

$$\frac{g(y+k)-g(y)-[f'(x)]^{-1}k}{\|k\|} \overset{k\to 0}{\to} 0 \tag{18}$$

to będziemy wiedzieli, że:
1. g - różniczkowalne dla $y \in V$
2. $g'(y) = [f'(x)]^{-1}$.
W tym celu pokażemy, że:
1. $(\|k\| \to 0) \implies (\|h\| \to 0)$
2. $[f'(x)]^{-1}$ istnieje dla $x \in U$. (na razie wiemy, że $(f'(a))^{-1}$ istnieje)

Ad 1. Zauważmy, że

$$\varphi_y(x+h) - \varphi_y(x) = x + h + [f'(a)]^{-1}(y - f(x+h)) - x - [f'(a)]^{-1}(y - f(x)) =$$

$$= h + [f'(a)]^{-1}(y - f(x+h) - y + f(x)) = h - (f'(a))^{-1}(f(x+h) - f(x)),$$

$$czyli \|\varphi_y(x+h) - \varphi_y(x)\| = \|h - (f'(a))^{-1}(k)\| \leqslant \frac{1}{2}\|h\|,$$

zatem $\|h - (f'(a))^{-1}k\| \leqslant \frac{1}{2}\|h\| \implies \|k\| \geqslant \|h\|, k = f(x+h) - f(x)$

Stąd ostatecznie mamy: $\frac{g(y+k)-g(y)-[f'(x)]^{-1}k}{\|k\|} = [f'(x)]^{-1}\frac{hf'(x)-f(x+h)+f(x)}{\|k\|} \leqslant \frac{[f'(x)]^{-1}}{\lambda}\frac{hf'(x)-f(x+h)+f(x)}{\|h\|} \to 0$, o ile $\underset{[f'(x)]^{-1}}{\exists}$

Pytanie 4 *skąd wiadomo, że* $(f'(x))^{-1}$*?*

Wiemy, że $f'(a)$ jest odwracalna, więc $(f'(a))^{-1}$ istnieje, $a \in U$.
Chcemy pokazać, że $f'(x)$ jest odwracalna dla $x \in U$. Oznacza to, że

$$0 < \|f'(x)y\| \text{ dla } y \neq 0, x \in U.$$

Pamiętamy, że $2\lambda\|(f'(a))^{-1} = 1$ oraz U - taka, że

$$\underset{x\in U}{\forall} \|f'(x) - f'(a)\| < \lambda.$$

Zatem

$$0 \leqslant \frac{1}{\|(f'(a))^{-1}\|}\|y\| = \|(f'(x)+f'(a)-f'(x))y\| \leqslant \|f'(a)-f'(x)\|\|y\|+\|f'(x)\|\|y\|.$$

Dalej $2\lambda\|y\| \leqslant \lambda\|y\| + \|f'(x)y\|$ dla $x \in U$
$0 \leqslant \lambda\|y\| \leqslant \|f'(x)y\|$ dla $y = 0$
Czyli

$$\underset{x\in U}{\forall} \|f'(x)y\| > 0 \quad \square.$$

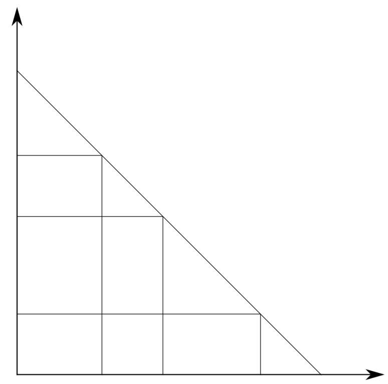

Rysunek 14: (a)

8 Wykład (22.03.2019)

Zabawki działające dzięki wnioskom z Tw. wyżej

Definicja 9 *Funkcje uwikłane*

$$x + y = 1 \quad \text{(a)}.$$

$$x^2 + y^2 = 1 \quad \text{(b)}.$$

$$H(x, y) = \sin x e^{xy} + \operatorname{tg} y - x = 0.$$

Przykład 18 *Równanie gazowe*

$$H(p, V, T) = 0, H : \mathbb{R}^3 \to \mathbb{R}^1.$$

$$p(V, T) = 0, \mathbb{R}^2 \to \mathbb{R}^1.$$

$$V(p, T) = 0, \mathbb{R}^2 \to \mathbb{R}^1.$$

$$T(p, V) = 0, \mathbb{R}^2 \to \mathbb{R}^1.$$

istnienie przedziałów, w których funkcja uwikłana zadaje inne funkcje

Przykład 19

$$H(x, y) : U \subset \mathbb{R}^2 \to \mathbb{R}^1.$$

Pytanie 5 *Czy istnieje $y(x) : H(x, y(x)) = 0$, dla $x \in V$?*

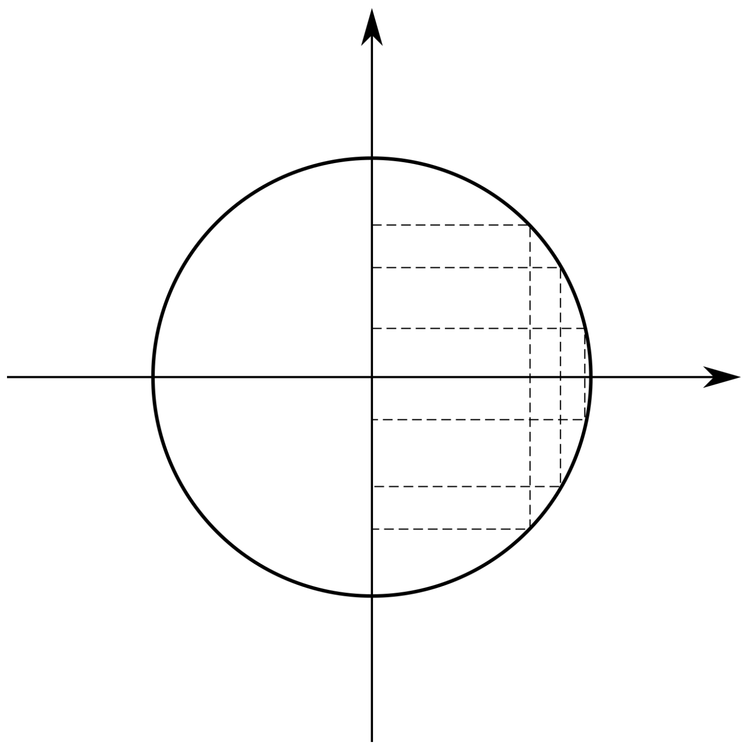

Rysunek 15: (b)

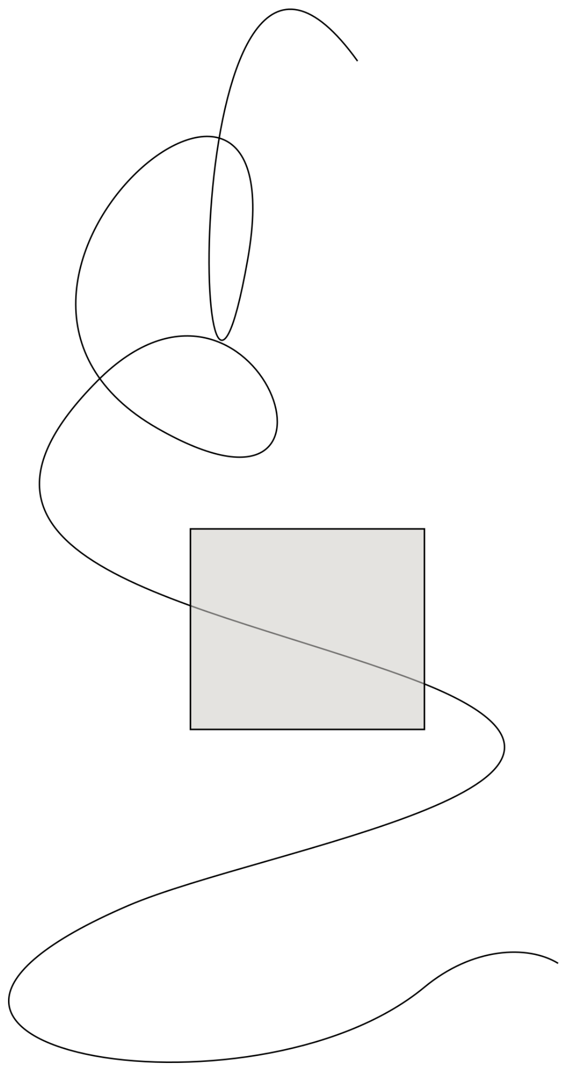

Rysunek 16: (c)

$$\frac{dH}{dx}(x,y(x)) = \frac{d}{dx}(H(x,y)\circ g(x)).$$

$$H' = \left[\frac{\partial H}{\partial x}, \frac{\partial H}{\partial y}\right].$$

$$g(x):\mathbb{R}^1\to\mathbb{R}^2, g(x) = \begin{bmatrix} x \\ y(x)\end{bmatrix}, g'(x) = \begin{bmatrix} 1 \\ y'(x)\end{bmatrix}.$$

$$H'(x,y)g'(x) = 0 \implies \frac{\partial H}{\partial x} + \frac{\partial H}{\partial y}\frac{\partial y}{\partial x} = 0 \implies \frac{\partial y}{\partial x} = -\frac{\frac{\partial H}{\partial x}}{\frac{\partial H}{\partial y}}.$$

Więc

$$\frac{\partial y}{\partial x} = \frac{-\cos y + ye^{xy} - 1}{xe^y + \frac{1}{\cos^2 y}}.$$

Przykład 20

$$H(x_1,x_2,x_3,x_4,x_5) = \begin{bmatrix} 2e^{x_1} + x_2x_3 - 4x_3 + 3 \\ x^2\cos x_1 - 6x_1 + 2x_3 - x_5, H:\mathbb{R}^5\to\mathbb{R}^3\end{bmatrix}.$$

$$H(x_1,\ldots,x_5) = 0 \text{ może zadać funkcję } g:\mathbb{R}^3\to\mathbb{R}^2.$$

$$x_4(x_1,x_2,x_3), x_5(x_1,x_2,x_3).$$

$$g(x_1,g_2,g_3) = \begin{bmatrix} g_1(x_1,x_2,x_3) \\ g_2(x_1,x_2,x_3\end{bmatrix}.$$

Obserwacja 3 $H(0,1,3,2,7) = 0$

$$H:\mathbb{R}^5\to\mathbb{R}^2, H(x_1,x_2,y_1,y_2,y_3) = 0.$$

$$H(x_1,x_2,y_1,y_2,y_3) = \begin{bmatrix} H_1(x_1,x_2,y_1,y_2,y_3) \\ H_2(x_1,x_2,y_1,y_2,y_2)\end{bmatrix}.$$

Pytanie 6 *Czy* $H(x_1,x_2,y_1,y_2,y_3) = 0$ *zadaje nam*

$$g_1(y_1,y_2,y_3).$$

$$g_2(y_1,y_2,y_3)?$$

czyli $g(y_1,y_2,y_3) = \begin{bmatrix} g_1(y_1,y_2,y_3) \\ g_2(y_1,y_2,y_3)\end{bmatrix}, g:\mathbb{R}^3\to\mathbb{R}^2$

$$H_1(g_1(y_1,y_2,y_3), g_2(y_1,y_2,y_3), y_1,y_2,y_3) = 0.$$

$$H_2(g_1(y_1,y_2,y_3), g_2(y_1,y_2,y_3), y_1,y_2,y_3) = 0.$$

Szukamy g'.

$$g' = \begin{bmatrix} \frac{\partial g_1}{\partial y_1} & \frac{\partial g_1}{\partial y_2} & \frac{\partial g_1}{\partial y_3} \\ \frac{\partial g_2}{\partial y_1} & \frac{\partial g_2}{\partial y_2} & \frac{\partial g_3}{\partial y_3}\end{bmatrix}.$$

$$\frac{\partial H_1}{\partial x_1}\frac{\partial g_1}{\partial y_2}+\frac{\partial H_1}{\partial x_2}\frac{\partial g_2}{\partial y_1}+\frac{\partial H_1}{\partial y_1}=0.$$

$$\frac{\partial H_1}{\partial x_1}\frac{\partial g_1}{\partial y_3}+\frac{\partial H_1}{\partial x_2}\frac{\partial g_2}{\partial y_1}+\frac{\partial H_1}{\partial y_1}=0.$$

$$\frac{\partial H_1}{\partial x_1}\frac{\partial g_1}{\partial y_3}+\frac{\partial H_1}{\partial x_2}\frac{\partial g_2}{\partial y_3}+\frac{\partial H_1}{\partial y_3}=0.$$

$$\frac{\partial H_2}{\partial x_1}\frac{\partial g_1}{\partial y_1}+\frac{\partial H_2}{\partial x_2}\frac{\partial g_2}{\partial y_1}+\frac{\partial H_2}{\partial y_1}=0.$$

$$\frac{\partial H_2}{\partial x_1}\frac{\partial g_1}{\partial y_2}+\frac{\partial H_2}{\partial x_2}\frac{\partial g_2}{\partial y_2}+\frac{\partial H_2}{\partial y_2}=0.$$

$$\frac{\partial H_2}{\partial x_1}\frac{\partial g_1}{\partial y_3}+\frac{\partial H_2}{\partial x_2}\frac{\partial g_2}{\partial y_3}+\frac{\partial H_2}{\partial y_3}=0.$$

napięcie rośnie (6 równań oho)

$$\underbrace{\begin{bmatrix}\frac{\partial H_1}{\partial x_1} & \frac{\partial H_1}{\partial x)2}\\ \frac{\partial H_2}{\partial x_1} & \frac{\partial H_2}{\partial x_2}\end{bmatrix}}_{H'_x}\underbrace{\begin{bmatrix}\frac{\partial g_1}{\partial y_1} & \frac{\partial g_1}{\partial y_2} & \frac{\partial g_1}{\partial y_3}\\ \frac{\partial g_2}{\partial y_1} & \frac{\partial g_2}{\partial y_2} & \frac{\partial g_2}{\partial y_3}\end{bmatrix}}_{g'}=-\underbrace{\begin{bmatrix}\frac{\partial H_1}{\partial y_1} & \frac{\partial H_1}{\partial y_2} & \frac{\partial H_1}{\partial y_3}\\ \frac{\partial H_2}{\partial y_1} & \frac{\partial H_2}{\partial y_2} & \frac{\partial H_2}{\partial p_3}\end{bmatrix}}_{H'_y}.$$

$$H'_x g'=-H'_y \implies g'=-(H'_x)^{-1}H'_y.$$

Twierdzenie 10 *(o funkcji uwikłanej)*
Niech $H: E\subset\mathbb{R}^{n+m}\to\mathbb{R}^m, H\in\mathcal{C}^1$ *na* E. $(x_0,y_0)\in E, H(x_0,y_0)=0, (x_0,y_0)=(x_0^1,\dots,x_0^n,y_0^1,\dots,y_0^m), H$ *- odwracalna.*
Wówczas istnieje $U\subset E$ *takie, że* $(x_0,y_0)\in U, \underset{W\subset\mathbb{R}^n}{\exists}$, *że* $x_0\in W, \underset{x\in W}{\forall}\underset{y}{\exists!}H(x,y)=0, (x,y)\in U$.
Jeżeli $y=\varphi(x)$, *to* $\varphi:\mathbb{R}^n\to\mathbb{R}^m$ *i* $\varphi\in\mathcal{C}^1$ *na* W. $\varphi'(x)=-(H'_y)^{-1}H'_x$

Dowód 14 *Oznaczenia:*

$$H(x^1,\dots,x^n,y^1,\dots,y^m)=\begin{bmatrix}H^1(x^1,\dots,x^n,y^1,\dots,y^m)\\ \vdots\\ H^2(x^1,\dots,x^n,y^1,\dots,y^m)\end{bmatrix}.$$

$$H'_y=\begin{bmatrix}\frac{\partial H^1}{\partial y^1} & \cdots & \frac{\partial H^1}{\partial y^n}\\ \vdots & \ddots & \vdots\\ \frac{\partial H^m}{\partial y^1} & \cdots & \frac{\partial H^m}{\partial y^n}\end{bmatrix}, H'_x=\begin{bmatrix}\frac{\partial H^1}{\partial x^1} & \cdots & \frac{\partial H^1}{\partial x^n}\\ \vdots & \ddots & \vdots\\ \frac{\partial H^m}{\partial x^1} & \cdots & \frac{\partial H^m}{\partial x^n}\end{bmatrix}.$$

Wprowadźmy funkcję $F : \mathbb{R}^{n+m} \to \mathbb{R}^{n+m}$

$$F(x^1,\dots,x^n,y^1,\dots,y^m) = \begin{bmatrix} x^1 \\ x^2 \\ \vdots \\ x^n \\ H^1(x^1,\dots,x^n,y^1,\dots,y^m) \\ \vdots \\ H^m(x^1,\dots,x^n,y^1,\dots,y^m) \end{bmatrix}.$$

Jakie własności ma F*?*

$$F(x_0,y_0) = \begin{bmatrix} x_0 \\ y_0 \end{bmatrix} = \begin{bmatrix} x_0 \\ 0 \end{bmatrix}.$$

Ale

$$F' = \begin{bmatrix} 1 & & 0 \\ & \ddots & \\ & 1 & \\ & & \\ H'_x & & H'_y \end{bmatrix}, \det F' = \det H'_y.$$

Jeżeli $H'_y(x_0,y_0)$ *- odwracalna, to* $F'(x_0,y_0)$ *- też. Oznacza to (na podstawie tw. o lokalnej odwracalności), że*

$$\underset{U\subset\mathbb{R}^{n+m}}{\exists}, (x_0,y_0)\in U, \underset{V\subset\mathbb{R}^{n+m}}{\exists}, (x_0,0)\in V.,$$

że F *jest bijekcją między* U *i* V *oraz* $\exists F^{-1} : V \to U, F^{-1}$ *- różniczkowalna taka, że*

$$F^{-1}(x,\alpha) = (a(x,\alpha), b(x,\alpha)), x,\alpha \in V.,$$

gdzie $a(x,\alpha) : \mathbb{R}^{m+n} \to \mathbb{R}^n, \quad b(x,\alpha) : \mathbb{R}^{m+n} \to \mathbb{R}^m$

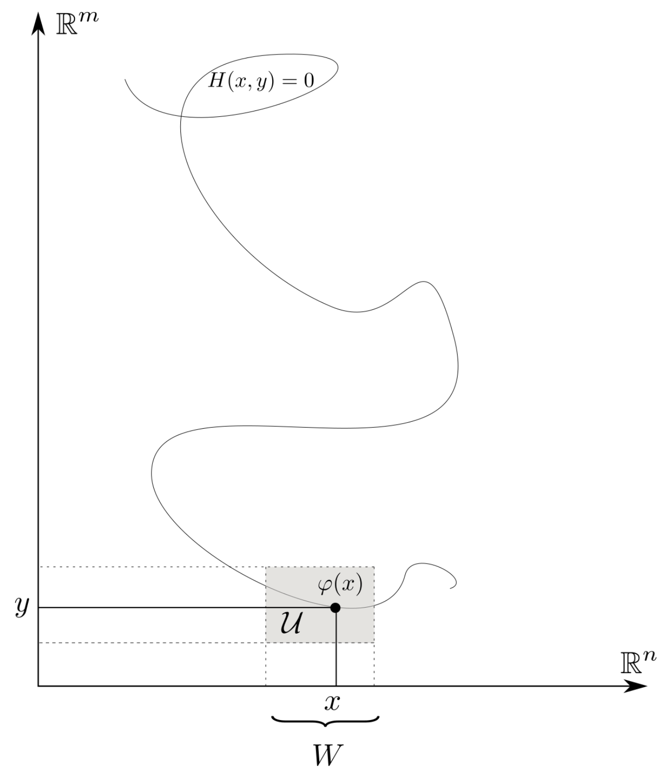

Rysunek 17

9 Wykład (26.03.2019)

końcówka dowodu:

Dla $(x', y') \in \mathcal{V}$,

$$F^{-1}(x', y') = (a(x', y'), b(x', y')).$$

Wiemy, że $a : \mathbb{R}^{n+m} \to \mathbb{R}^n$ i $b : \mathbb{R}^{n+m} \to \mathbb{R}^m$ istnieją i są różniczkowalne, bo F^{-1} istnieje. Co jeszcze wiemy o funkcjach a i b?
Wiemy że

$$(x', y') = F(F^{-1}(x', y') = F(\underbrace{a(x', y')}_{n}, \underbrace{b(x', y')}_{m}).$$

Oznacza to, że

$$a(x', y') = x'.$$

Czyli $a(x', y')$ jest identycznością, czyli:

$$(x', y') = F(x', b(x', y')) \implies x' = x \implies (x, y') = F(x, b(x, y')).$$

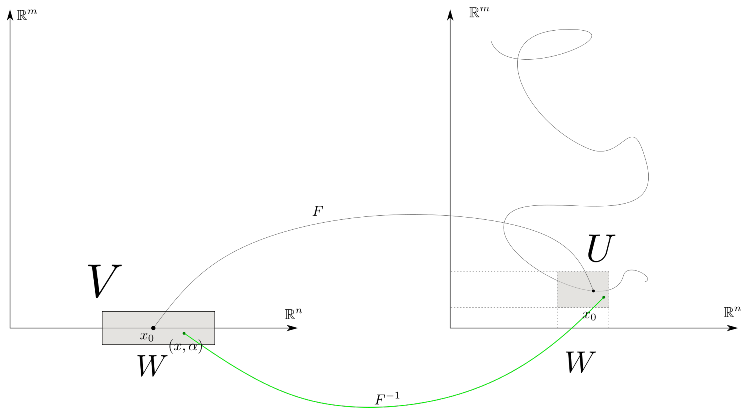

Rysunek 18

Czyli jeżeli $y = b(x, 0)$, to wtedy

$$F(x, y) = (x, 0), \text{ czyli } (x, H(x, y)) = (x, 0).$$

Czyli dla $y = (x, 0)$ otrzymujemy, że

$$H(x, y) = 0.$$

Jeżeli oznaczymy $b(x, 0) \overset{\text{ozn}}{=} \varphi(x)$, to znaczy, że znaleźliśmy funkcję $\varphi(x), \varphi : \mathbb{R}^n \to \mathbb{R}^m$ taką, że

$$H(x, \varphi(x)) = 0 \quad \Box.$$

Definicja 10 *Ekstrema związane*

przykład:

$$f(x, y) = x+y, \quad G(x, y) = (x-1)^1+(y-1)^2-1, \quad M = \left\{(x, y) \in \mathbb{R}^2, G(x, y) = 0\right\}.$$

Szukamy minimum lub maksimum f na M

Rozważmy linię o stałej wartości $x + y$

Definicja 11 *Niech $f : \mathbb{R}^n \to \mathbb{R}^1$ i $M \subset \mathbb{R}^n$ - zbiór.*
Mówimy, że f ma minimum/maksimum związane na zbiorze M, w punkcie $x_0 \in M$, jeżeli

$$\underset{r}{\exists} \quad \underset{\substack{h \\ \|h\|<r \\ (x_0+h)\in M}}{\forall} \quad f(x_0 + h) \leqslant f(x_0).$$

Ekstrema związane podejście I

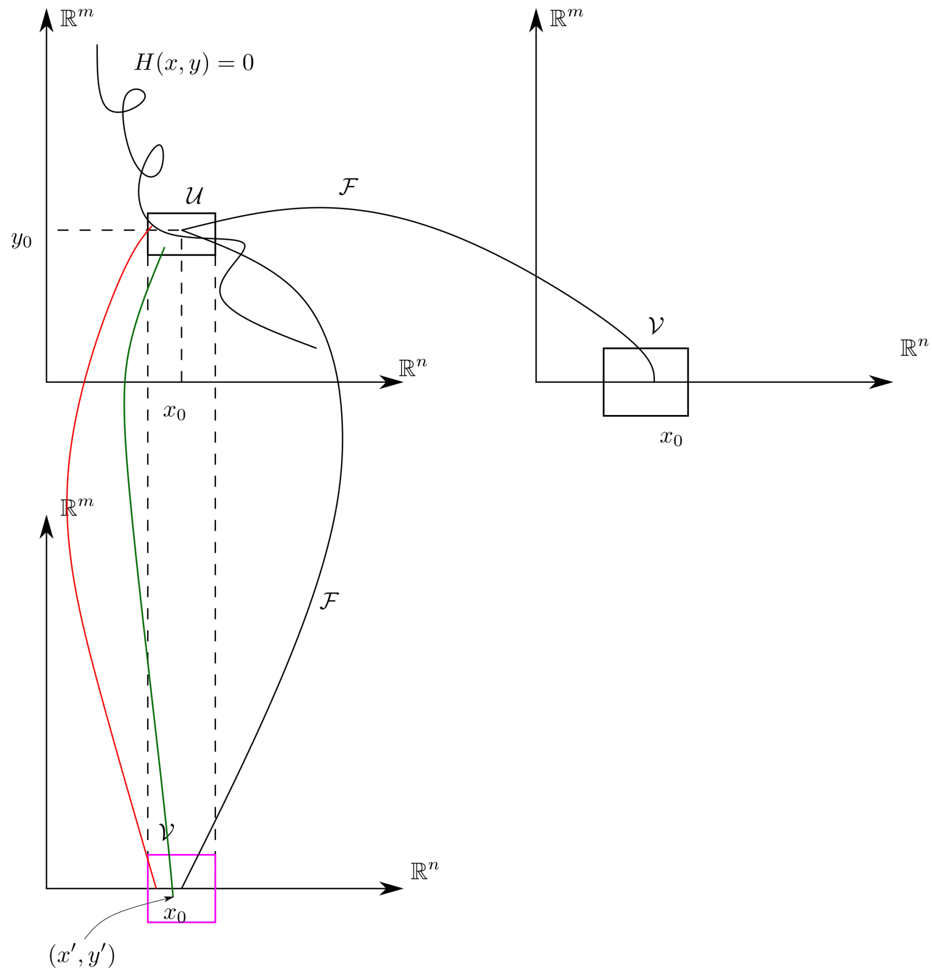

$\mathbb{R}^m$
$H(x,y)=0$
$\mathcal{U}$
$\mathcal{F}$
y_0
$\mathbb{R}^n$
x_0
$\mathbb{R}^m$
$\mathcal{V}$
$\mathbb{R}^n$
x_0
$\mathbb{R}^m$
$\mathcal{F}$
$\mathcal{V}$
$\mathbb{R}^n$
x_0
(x', y')

Rysunek 19

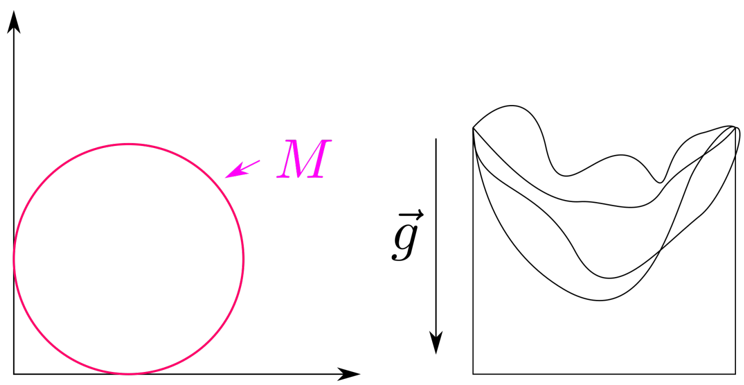

Rysunek 20: $G(x, y)$ i sznurek o stałej długości w polu grawitacyjnym

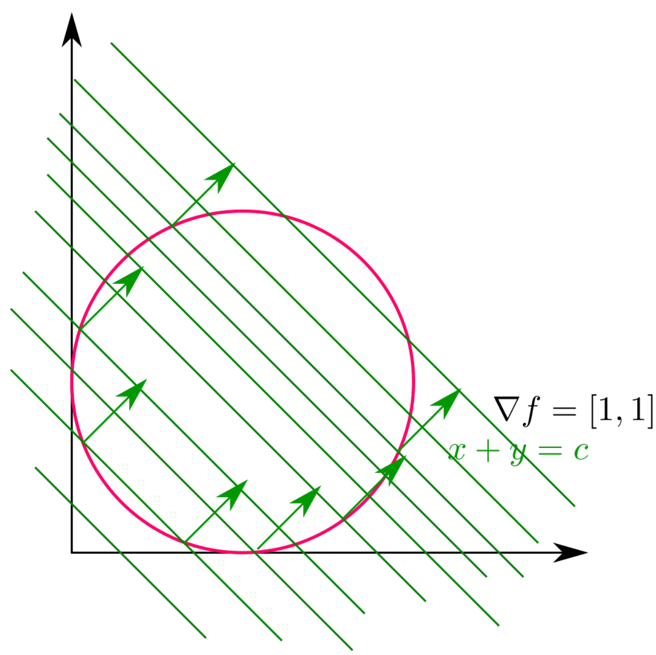

Rysunek 21: Biedronka łazi po obręczy rowerowej z włączonym wentylatorem, gdzie wyląduje???

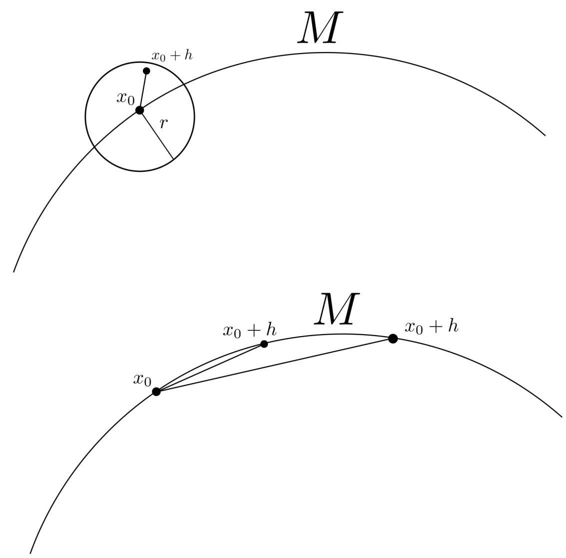

Rysunek 22

Niech $f(x, y) : \mathbb{R}^2 \to \mathbb{R}^1$
$G(x, y) : \mathbb{R}^2 \to \mathbb{R}^1$
$M = \{(x, y), G(x, y) = 0\}$ Szukamy minimum/maksimum f. Można wyliczyć $y(x)$ z więzów, wstawić do f i zbadać ekstrema funkcji jednej zmiennej $g(x) = f(x, y(x))$. Kiedy nie umiemy wyliczyć $y(x)$ z więzów, możemy założyć, że $y(x)$ jednak istnieje i $G(x, y(x)) = 0$. Wtedy:

$$\frac{\partial G}{\partial x} + \frac{\partial G}{\partial y}\frac{\partial y}{\partial x} = 0.$$

$$\frac{\partial y}{\partial x} = -\frac{\frac{\partial G}{\partial x}}{\frac{\partial G}{\partial y}}.$$

$$\text{czyli: } g'(x) = \frac{\partial f}{\partial x} + \frac{\partial f}{\partial y}\frac{\partial y}{\partial x} = 0.$$

$$\frac{\partial f}{\partial x} + \frac{\partial f}{\partial y}\frac{-\frac{\partial G}{\partial x}}{\frac{\partial G}{\partial y}} = 0 \implies \underline{\frac{\partial G}{\partial y}\frac{\partial f}{\partial x} = \frac{\partial f}{\partial y}\frac{\partial G}{\partial x}}.$$

A co by było, gdyby $G(x, y) = 0$ zadawał funkcję $x(y)$?

$$G(x(y), y) = 0.$$

Czyli badalibyśmy wtedy funkcję

$$P(y) = f(x(y), y) \quad P'(y) = 0 \implies \frac{\partial f}{\partial x}\frac{\partial x}{\partial y} + \frac{\partial f}{\partial y} = 0.$$

ale

$$\frac{\partial x}{\partial y} = -\frac{\frac{\partial G}{\partial y}}{\frac{\partial G}{\partial x}} \implies \frac{\partial f}{\partial x}\frac{-\frac{\partial G}{\partial y}}{\frac{\partial G}{\partial x}} + \frac{\partial f}{\partial y} = 0 \implies \frac{\partial f}{\partial x}\frac{\partial G}{\partial y} = \frac{\partial f}{\partial y}\frac{\partial G}{\partial x} \tag{19}$$

Co oznacza warunek **??**?
Wiemy, że

$$f' = \left[\frac{\partial f}{\partial x}, \frac{\partial f}{\partial y}\right] G' = \left[\frac{\partial G}{\partial x}, \frac{\partial G}{\partial y}\right], \text{ czyli.}$$

$$V = [A, B] \quad W = [C, D] \text{ i } AD = BC.$$

$$\frac{A}{B} = \frac{C}{D} = \lambda \in \mathbb{R}.$$

Stąd wiadomo, że

$$A = B\lambda, \quad C = D\lambda.$$

$$V = [B\lambda, B], \quad B = [\lambda, 1], \quad W = [D\lambda, D], \quad D = [\lambda, 1].$$

Czyli warunek na to, aby $G'(x) = 0$, albo $P'(y) = 0$ oznacza, że

$$\underset{\substack{\lambda\in\mathbb{R}\\ \lambda\neq 0}}{\exists} f' = \lambda G', \quad G(x, y) = C.$$

$$\frac{\partial f}{\partial x} - \lambda\frac{\partial G}{\partial x} = 0, \quad \frac{\partial f}{\partial y} - \lambda\frac{\partial G}{\partial y} = 0 \tag{20}$$

Wielkość λ często nazywa się *mnożnikiem Lagrange*

Obserwacja 4 *Do warunku (**??**) można dojść na sktóry przez funkcję $H(x, y) = f(x, y) - \lambda G(x, y)$ i badanie $H(x, y)$ tak, jakby była to funkcja $\mathbb{R}^2 \to \mathbb{R}^1$ bez żadnych więzów.*

$$\frac{\partial H}{\partial x} = 0, \quad \frac{\partial H}{\partial y} = 0\left(\ + \textit{ warunek } G(x, y) = 0\right).$$

Pytanie 7 *Co ze zbadaniem $G''(x)$ lub $P''(y)$?*
Odpowiedź: lepiej inaczej... (XD), to znaczy, potrzebujemy nowego języka.

Przy liczeniu ekstremów funkcji jednej zmiennej badaliśmy

$$f(x_0 + h) - f(x_0) \cong f''(x_0)(h, h).$$

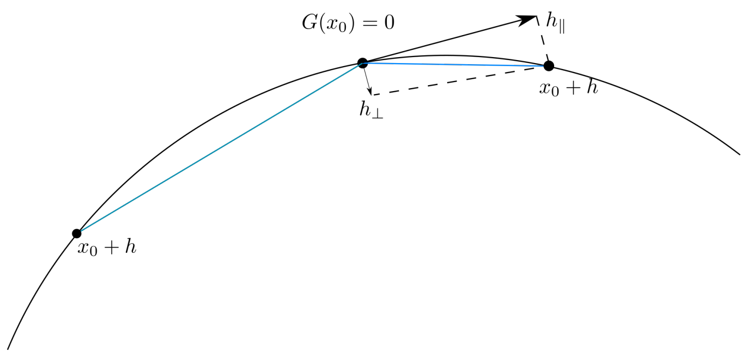

Rysunek 23

10 Wykład (29.03.2019)

$$f : \mathbb{R}^n \to \mathbb{R}^1, \quad G : \mathbb{R}^n \to \mathbb{R}^m, \quad M = \{x : G(x) = 0\}.$$

Badamy różnicę $f(x_0 + h) - f(x_0)$ (jest fajna bo możemy ją rozwinąć ze wzoru Taylora)
Próbujemy ożenić te języki. Zbadajmy $G'(x)$.

- $G'(x)$ - jest macierzą $[G']_{m,n}$

$$G(x_1, \ldots, x_n) = \begin{bmatrix} G^1(x_1, \ldots, x_n) \\ G^2(x_1, \ldots, x_n) \\ \vdots \\ G^m(x_1, \ldots, x_n) \end{bmatrix}.$$

$$[G'(x)] = \begin{bmatrix} \frac{\partial G^1}{\partial x^1} & \ldots & \frac{\partial G^1}{\partial x^n} \\ \vdots & & \\ \frac{\partial G^m}{\partial x^1} & \ldots & \frac{\partial G^m}{\partial x^n} \end{bmatrix}.$$

$$[G'(x)] : \mathbb{R}^n \to \mathbb{R}^m.$$

Pytanie 8 *Jaki jest "wymiar" zbioru M?*

Albo, jeżeli $\mathbb{R}^n \to \mathbb{R}^m$, to wiąż $G(x) = 0$ zadaje funkcję

$$\varphi(x) : \mathbb{R}^{n-m} \to \mathbb{R}^m.$$

Taką, że $G(x^1, \ldots, x^{n-m}, \varphi^1(x^1, \ldots, x^{n-m}), \ldots, \varphi^m(x^1, \ldots, x^{n-m}))$, (jeżeli $\det G_y(x) \neq 0$)

Jeżeli $\det G'_y(x) \neq 0$, to znaczy, że w macierzy

$$G' = \begin{bmatrix} \frac{\partial G_1}{\partial x^1} & \dots & \frac{\partial G_1}{\partial x^{n-m}} & \frac{\partial G_1}{\partial y^1} & \dots & \frac{\partial G_1}{\partial y^m} \\ \vdots & & & & & \\ \frac{\partial G_m}{\partial x^1} & \dots & \frac{\partial G_m}{\partial x^{n-m}} & \frac{\partial G_m}{\partial y^1} & \dots & \frac{\partial G_m}{\partial y^m} \end{bmatrix}.$$

Gdzie $x \overset{\text{ozn}}{=} (x^1, \dots, x^{n-m}, y^1, \dots, y^m)$. Żeby podkreślić to, że niektóre współrzędne $(y^1, \dots, y^m)$ można uzyskać z innych $(x^1, \dots, x^{n-m})$ poprzez funkcję $\varphi : x = \varphi(y)$

Gdy założymy, że $\det G'_y \neq 0$, to znaczy, że
m-liniowo niezależnych kolumn, bo

$$\dim imG'(x) = m = \dim \mathbb{R}^m \text{ i } G'(x) : \mathbb{R}^n \to \mathbb{R}^m.$$

Oznacza to, że

$$\dim \ker G'(x) = n - m.$$

(tw. o rzędzie (paweł odpalił kiedyś))

Oznaczmy $X_1 = \ker G'(x)$ i $X_2 = imG'(x)$ $(\dim X_1 = n - m, \dim X_2 = m)$ Oznacza to, że każdy wektor $h \in \mathbb{R}^n$ da się przedstawić jako $h = h_1 + h_2, h_1 \in X_1, h_2 \in X_2$ czyli $\mathbb{R}^n = X_1 \bigoplus X_2$

Oznacza to, że możemy tak wybrać bazę, że

$$X_1 = \left\{ \begin{bmatrix} x^1 \\ \vdots \\ x^{n-m} \\ 0 \\ \vdots \\ 0 \end{bmatrix} \right\}, X_2 = \left\{ \begin{bmatrix} 0 \\ \vdots \\ 0 \\ y^1 \\ \vdots \\ y^m \end{bmatrix} \right\}, \quad x^1, \dots, x^{n-m}, y_1, \dots, y_m \in \mathbb{R}.$$

Co więcej,

$$X_2 = \begin{bmatrix} 0 \\ \vdots \\ 0 \\ \varphi^1(x^1, \dots, x^{n-m}) \\ \vdots \\ \varphi^m(x^1, \dots, x^{n-m}) \end{bmatrix}, \quad x^i \in \mathcal{O} : \det(G'_y) \neq 0.$$

A co możemy powiedzieć o wierszach $G'(x)$? - jest ich m i są liniowo niezależne

Jeżeli $h = h_1 + h_2, \quad h_1 \in X_1, h_2 \in X_2$, to możemy powiedzieć, że

$$h_2 = \varphi(h_1).$$

Zatem dalej piszemy

$$h_2 = \varphi(0 + h_1) = \varphi(0) + \varphi'(0)h_1 + r(0, h_1).$$

gdzie ($r\frac{0,h_1}{\|h_1\|} \underset{\|h_1\|\to 0}{\longrightarrow} 0$) (bo z tw. o funkcji uwikłanej wiemy, że φ - różniczkowalna, co więcej $\varphi' = -(G'_y)^{-1}G'_x$ a $\varphi'(0) = -(G'_y(0))^{-1}G'_x(0)$ czyli $\varphi'(0)h_1 = -(G'_y(0))^{-1}G'_x(0)h_1 = 0$

Zatem

$$h_2 = \varphi(h_1) = r(0, h_1).$$

gdzie

$$\frac{r(0,h_1)}{\|h_1\|} \underset{h_1\to 0}{\longrightarrow} 0.$$

czyli h_2 maleje szybciej niż $\|h_1\|$

Chcemy zbadać różnicę

$$f(x_0 + h) - f(x_0).$$

Skoro $h \in \mathbb{R}^n$, to możemy przedstawić h jako

$$h = h_\| + h_\perp, \quad h_\| \in X_1, h_\perp \in X_2.$$

czyli

$$G'(x_0)h_\| = 0?.$$

Przykład 21 *niech* $G(x, y) = (x-1)^2 + (y-1)^2 - 1$, $G' = (2(x-1), 2(y-1))$

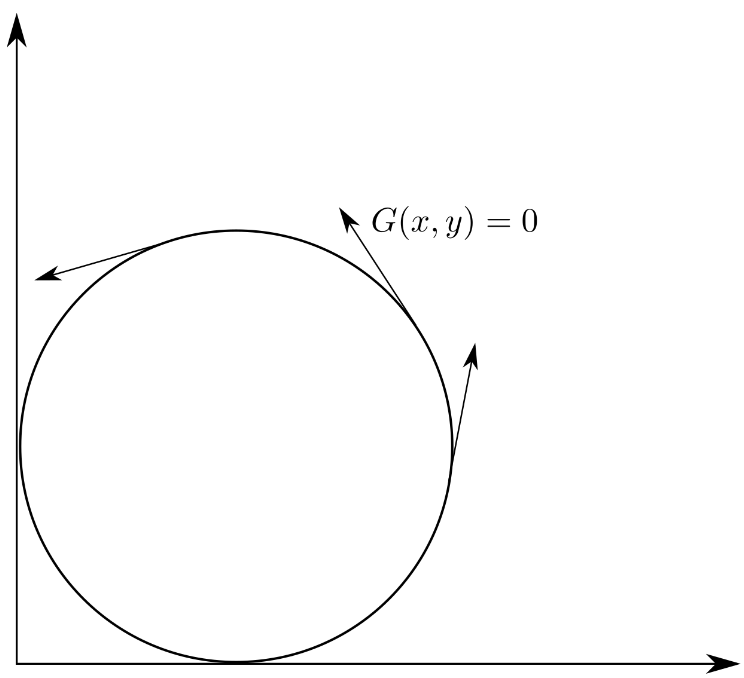

Rysunek 24: biedronka i szprycha

$$f(x_0+h)-f(x_0)=f(x_0+h_\perp+h_\parallel)-f(x_0).$$

W małym otoczeniu h będzie bardziej decydował $h_\parallel$, bo zawsze mogę zmniejszyć h i w efekcie $h_\perp$ się zmniejszy

Wiemy, że

$$f(x_0+h)-f(x_0)=f'(x_0)h+\frac{1}{2!}f''(x_0)(h,h)+r_1(x_0,h).$$

bo f - różniczkowalna

$$G(x_0+h)-G(x_0)=G'(x_0)h+\frac{1}{2!}G''(x_0)(h,h)+r_2(x_0,h).$$

bo G - różniczkowalna

niech

$$\Lambda=[\lambda_1,\dots,\lambda_m],\lambda_i\in\mathbb{R}.$$

Wtedy

$$f(x_0+h)-f(x_0)=f(x_0+h)-f(x_0)-\Lambda(G(x_0+h)-G(x_0))=(f'(x_0)-\Lambda G'(x_0))h.$$

Dalej dostajemy

$$(f'(x_0)-\Lambda G'(x_0))h+\frac{1}{2!}(f''(x_0)-\Lambda G''(x_0))(h,h)+r_1(x_0,h)+r_2(x_0,h).$$

Ale dla minimum lub maksimum chcemy, aby

$$f'(x_0)=\Lambda G'(x_0).$$

więc dla minimum / maksimum $f(x_0+h)-f(x_0)=\frac{1}{2}(f''(x_0)-\Lambda G''(x_0))(h,h)+r_1(x_0,h)+r_2(x_0,h)$

Zatem jako, że $\frac{r_1(0,h)}{\|h\|^2}\underset{\|h\|^2}{\to}0$, $\frac{r_2(0,h)}{\|h\|^2}\underset{\|h\|^2}{\to}0$, to o znaku $f(x_0+h)-f(x_0)$ decyduje znak

$$(f''(x_0)-\Lambda G''(x_0))(h,h).$$

Wiemy, że $h\in\mathbb{R}^n i\mathbb{R}^n=X_1\bigoplus X_2$, czyli $h=h_\perp+h_\parallel$

$$f''(x_0)-\Lambda G''(x_0))(h,h)=\underbrace{f''(x_0)\Lambda G''(x_0)}_{\square}(h_\parallel+h_\perp,h_\perp+h_\parallel).$$

$$=(\square)(h_\perp,h_\perp)+(\square)(h_\perp,h_\parallel)+(\square)(h_\parallel,h_\perp)+(\square)(h_\parallel,h_\parallel).$$

Pytanie 9 *Króre z powyższych wyrażeń jest najmniejsze (które z powyższych wyrażeń są o rząd mniejsze od pozostałych dla* $\|h\|\to 0$

Wiemy, że

$$\|h_\perp\|\ \|h_\parallel\|.$$

Oznacza to, że dla małych $\|h_\parallel\|$ o znaku decyduje

$$(f''(x_0)-\Lambda G''(x_0))(h_\parallel,h_\parallel).$$

Twierdzenie 11 *Niech* $f : U \subset \mathbb{R}^n \to \mathbb{R}^1, f \in \mathcal{C}^2(U), G : U_2 \subset \mathbb{R}^n \to \mathbb{R}^m, G \in \mathcal{C}^2(U_2), \underset{x_0}{\exists} G(x_0) = 0, G'(x_0)$ *- ma rząd maksymalny* (m) *oraz*

$$\underset{\Lambda}{\exists} \Lambda = [\lambda_1, \ldots, \lambda_m], \lambda_i \in \mathbb{R}, f'(x_0) - \Lambda G'(x_0) = 0.$$

to jeżeli

$$(f''(x_0) - \Lambda G''(x_0))(h_\parallel, h_\parallel) > 0, h_\parallel \overset{def}{=} \left\{ G'(x_0) h_\parallel = 0 \right\}.$$

to f *posiada w* x_0 *minimum lokalne* (< 0, *to maksimum lokalne*) *na zbiorze* $M = \{x \in \mathbb{R}^n, G(x) = 0\}$

11 Wykład (02.04.2019)

11.1 Równania różniczkowe

Interesuje nas następująca sytuacja: $\frac{dx}{dt} = f(t,x)$
$x(t_0) = x_0$
$x(1) : [a,b] \to \mathbb{R}$
$f : [a,b] \times \mathbb{R}^n \to \mathbb{R}^n$

Przykład 22

$$\frac{dx}{dt} = -kx(t)$$
$$x(t) = ce^{-kt}.$$

Pytanie: czy to, że równanie jest pierwszego rzędu bardzo nam przeszkadza?

Przykład 23 $\ddot{x} + \omega^2 x = 0$
$\dot{x} = p$
$\dot{p} = \ddot{x} = -\omega^2 x$
$\underbrace{\frac{d}{dt}\begin{bmatrix} x \\ p \end{bmatrix}}_{\frac{d}{dt}x} = \underbrace{\begin{bmatrix} 0 & 1 \\ -\omega^2 & 0 \end{bmatrix}\begin{bmatrix} x \\ p \end{bmatrix}}_{f(x,t)}$

Definicja 12 *Niech* $I \subset \mathbb{R}, \mathcal{O} \subset \mathbb{R}^n$
$f : I \times \mathbb{R}^n \to \mathcal{O}$ *taka, że* $t \in I, x \in \mathbb{R}^n, f(t,x) \to f(t,x)$
Mówimy, że f *spełnia warunek Lipschitza, jeżeli*

$$\underset{L>0}{\exists} . \underset{t \in I}{\forall} . \underset{x,x' \in \mathcal{O}}{\forall} . \|f(t,x) - f(t,x')\| \leqslant L\|x - x'\|.$$

Uwaga 1 *Znane* t, x *nie występują w warunku Lipschitza na równych prawach*

Pytanie 10 *Czy jeżeli*

$$f : \mathcal{O} \to \mathcal{O} \text{ takie, że } \underset{L>0}{\exists}.$$

że

$$\underset{x,x'}{\forall} \|f(x) - f(x')\| \leqslant L\|x - x'\|.$$

to czy f *jest ciągła?*

Twierdzenie 12 *Niech* $[a,b] \subset \mathbb{R}, \mathcal{O} \subset \mathbb{R}^n, \mathcal{O}$ *- domknięty i* $f : [a,b] \times \mathcal{O} \to \mathcal{O}$ *takie, że* f *- ciągła na* $[a,b] \times \mathcal{O}$ *oraz* f *spełnia warunek Lipschitza na* $\mathcal{O}$*, to znaczy:*

$$\underset{L>0}{\exists} . \underset{t \in [a,b]}{\forall} . \underset{x,x' \in \mathcal{O}}{\forall} \|f(t,x) - f(t,x')\| \leqslant L\|x - x'\|.$$

Wówczas

$$\underset{t_0\in[a,b]}{\forall}\ \underset{x_0\in\mathcal{O}}{\forall}\ \underset{\varepsilon>0}{\exists},\ \textit{że dla } t\in]t_0-\varepsilon, t_0+\varepsilon[$$

równanie ma jednoznaczne rozwiązania, które są ciągłe ze względu na x_0

$$\begin{cases} \frac{dx}{dt} = f(t,x) \\ x(t_0) = x_0 \end{cases} \tag{21}$$

Uwaga 2 *Problem* **??** *nazywamy problemem Cauchy.*
Ciągłość f *na* $[a,b]\times\mathcal{O}$ *jest mocniejszym warunkiem niż Lipschytzowalność na* $\mathcal{O}$

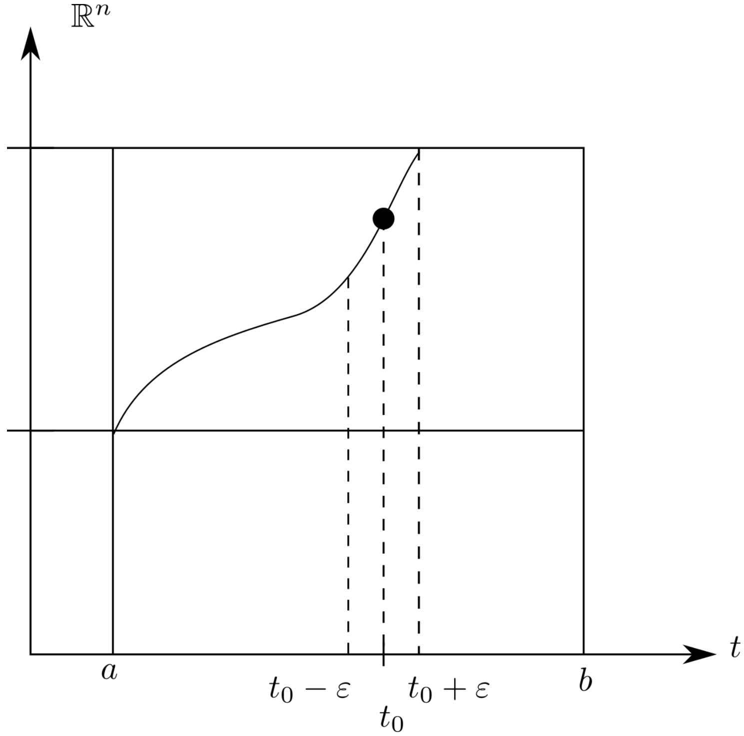

Rysunek 25

Dowód 15 *Skoro* f *- ciągła na* $[a,b]\times\mathcal{O}$*, to znaczy, że* f *jest ograniczona, czyli*

$$\underset{M>0}{\exists}\ \underset{y_1>0}{\exists}\ \underset{y_2>0}{\exists},\quad \|f(t,x)\| \leqslant M.$$

$t\in K(t_0,y_1), x\in K(x_0,y_2)$.
Zauważmy, że problem **??** *możemy zapisać jako*

$$x(t) = x_0 + \int_{t_0}^{t} f(s,x(s))ds \tag{22}$$

*Czyli, jeżeli znajdziemy $x(t)$ takie, co spełnia **??**, to raslkdj problem **??**.*
Rozważmy odwzorowanie

$$\underset{g\in a}{P(g)(t)} = x_0 + \int_{t_0}^{t} f(s, g(s))ds.$$

$$A = \{C : [t - r_1, t_0 + r_1] \to \mathbb{R}^n\} \text{ funkcja ciągła na kuli o wartościach w } \mathbb{R}^n.$$

Co by było, gdyby P miało punkt stały? Czyli $\underset{x(t)\in A}{\exists}$ takie, że $P(x(t)) = x(t)$

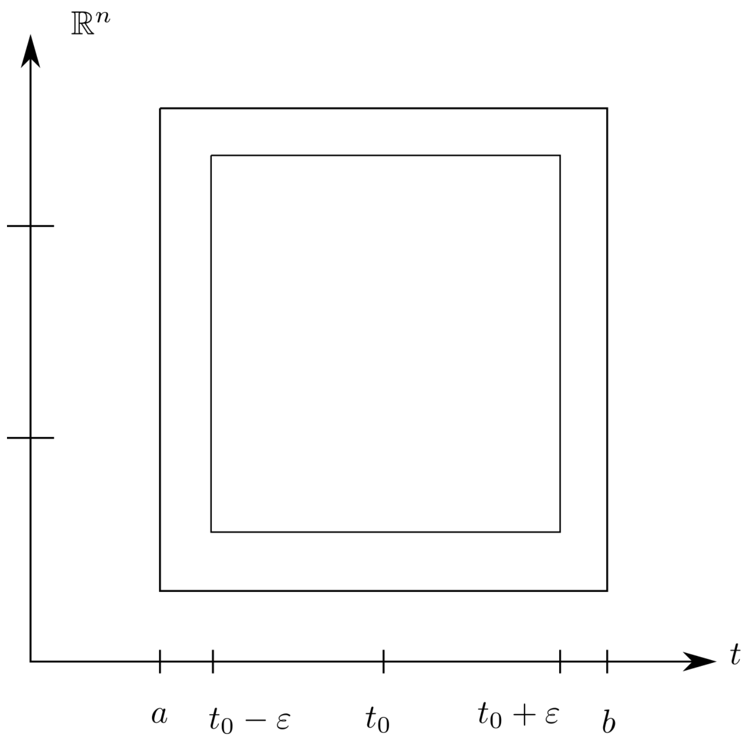

Rysunek 26

Oznaczałoby to, że

$$x(t) = -x_0 + \int_{t_0}^{t} f(s, x(s))ds.$$

Co więcej, gdyby P było zwężające, to z zasady Banacha wiemy, że punkt stały jest tylko jeden. Zatem, jeżeli znajdziemy podzbiór A taki, że P - zwężające, to udowodnimy jednoznaczność. Problem **??**

Niech $E = \left\{ g \in \mathcal{C}([t_0 - \varepsilon, t_0 + \varepsilon], \mathbb{R}^n, \|g(t) - \overset{g_0(t)}{x_0}\| \underset{\textit{ważne!}}{\leqslant} r_2 \right\}$, *czyli*

$$g \in E \iff \underset{t_0-\varepsilon\leqslant t\leqslant t_0+\varepsilon}{sup} \|g(t) - x_0\| \leqslant r_2.$$

i
$$g : [t_0 - \varepsilon, t_0 + \varepsilon] \to \mathbb{R}^n.$$
i g - ciągła.
(domkniętość ze względu na zasdę Banacha $(x_0 \overset{ozn}{=} g_0(t))$*)*

Szukamy takiego ε*, żeby:*

$$P(g) \in E \quad g \in E \tag{23}$$
$$P \text{ - zwężająca na } E. \tag{24}$$

bo jeżeli **??** *jest spełniona, to wiemy, że istnieje punkt stały.*
Jeżeli **??** *jest spełniona, to wiemy, że punkt stały należy do E*
Warunek **??***:* $P(g) \in E$*, czyli*

$$\sup_{t_0 - \varepsilon \leqslant t_0 \leqslant t_0 + \varepsilon} \|P(g(t)) - x_0\| \leqslant r_2.$$

czyli

$$\sup_{t_0 - \varepsilon \leqslant t_0 \leqslant t_0 + \varepsilon} \|x_0 + \int_{t_0}^{t} f(s, g(s)) ds - x_0\| \leqslant \sup_{t_0 - \varepsilon \leqslant t_0 \leqslant t_0 + \varepsilon} \int_{t_0}^{t} \|f(s, g(s))\| ds \leqslant .$$
$$\sup_{t_0 - \varepsilon \leqslant t_0 \leqslant t_0 + \varepsilon} |t - t_0| M = \varepsilon M.$$

Jeżeli chcemy aby $\varepsilon M \leqslant r_2$
to znaczy, że $\varepsilon \leqslant \frac{r_2}{M}$
i jednocześnie $\varepsilon \leqslant r_1$
czyli aby warunek **??** *był spełniony*

$$\varepsilon < min \left\{ \frac{r_2}{M}, r_1 \right\}.$$

Warunek **??***. Chcemy aby* P *było zwężające, czyli:*

$$\forall_{g_1, g_2 \in E} P(g_1) - P(g_2) \leqslant q\|q_1 - q_2\|.$$

Zatem:

$$\|P(g_1) - P(g_2)\| = \sup_{t_0 - \varepsilon \leqslant t_0 \leqslant t_0 + \varepsilon} \|x_0 + \int_{t_0}^{t} f(s, g_1(s)) ds - (x_0 + \int_{t_0}^{t} f(s, g_2(s)) ds\| = .$$

$$\sup_{t_0 - \varepsilon \leqslant t_0 \leqslant t_0 + \varepsilon} \| \int_{t_0}^{t} f(s, g_1(s)) - f(s, g_2(s)) ds\| \leqslant \sup_{t_0 - \varepsilon \leqslant t_0 \leqslant t_0 + \varepsilon} \int_{t_0}^{t} \|f(s, g_1(s)) - f(s, g_2(s))\| ds \leqslant .$$

$$\sup_{t_0 - \varepsilon \leqslant t_0 \leqslant t_0 + \varepsilon} \int_{t_0}^{t} L\|g_1 - g_2\| = \varepsilon L \underbrace{\|g_1 - g_2\|}_{\substack{\in E \\ \|g_1 - g_2\| < 2r_2}}.$$

Zatem, jeżeli P *ma być zwężające na* E*, to* $\varepsilon L < 1$*, czyli* $\varepsilon < \frac{1}{L}$ *i* $g \in E$
Zatem, aby istniało rozwiązanie jednoznaczne problemu **??**

$$\varepsilon < min \left\{ \frac{r_2}{M}, r_1, \frac{1}{L} \right\} \quad \square.$$

Do pełnego dowodu brakuje nam ciągłości rozwiązania ze względu na zmiany x_0

Lemat:
niech A, X - przestrzenie metryczne, $P_a(x), a \in A, x \in X$ - odwzorowanie zwężające i ciągłe ze względu na $a \in A$
Niech $\tilde{x}(a)$ taki, że $P(\tilde{x}(a)) = \tilde{x}(a)$. Zwężające, to znaczy, że

$$\underset{a\in A}{\forall}.\underset{x,x'}{\forall}.\|P_a(x) - P_a(x')\| \leqslant q\|x - x'\|.$$

Wówczas funkcja $\tilde{x}(a)$ jest ciągła na A.

Uwaga 3 *Odwzorowanie $P(g)$ wygląda tak:*

$$P(g(t)) = x_0 + \int_{t_0}^{t} f(s, g(s))ds.$$

Więc rolę parametru a pełnią x_0, t_0 i $P(g(t))$ jest ciągłe ze względu na x_0 i t_0.

12 Wykład (05.04.2019)

Ostatnio zastanawialiśmy się nad taką sytuacją, że mieliśmy operator $P_a(x)$ i on miał być zwężający.

$$P_a(x) : X \to X \text{ - zwężający }.$$

$$c \in X : \{c, P_a(c), P_a(P_a(c)) \to \tilde{x}(a)\}, \text{ gdzie } P(\tilde{x}(a)) = \tilde{x}(a).$$

Dowód 16 *Chcemy pokazać, że*

$$\underset{\varepsilon>0}{\forall} . \underset{\delta>0}{\exists} . \underset{a'}{\forall} d(a, a') < \delta \implies d(\tilde{x}(a), \tilde{x}(a')) < \varepsilon.$$

Wiemy, że P_a - ciągła ze względu na a:

$$\underset{\varepsilon_1>0}{\forall} . \underset{\delta_1>0}{\exists} . \underset{a'}{\forall} d(a, a') < \delta_1 \implies d(P_a, P_{a'}) < \varepsilon \tag{25}$$

Wiemy, że $\underset{c'\in X}{\forall}$ ciąg $\{c', P_{a'}(c'), P_{a'}(P_{a'}(c')) \ldots\} \to \tilde{x}(a')$ Ale, jeżeli przyjmiemy za $c = \tilde{x}(a')$, to ciąg:

$$\{\tilde{x}(a'), P_a(\tilde{x}(a')), P_a(P_a(\tilde{x}(a')))\} \to \tilde{x}(a).$$

Ale z zasady banacha wiemy, że jeżeli P_a - zwężający, to

$$d(\tilde{x}(a), x_0) \leqslant \frac{1}{1-q} d(x_1, x_0).$$

Wybierzmy $x_0 = \tilde{x}(a')$. Wówczas

$$\begin{aligned} d(\tilde{x}(a), \tilde{x}(a')) &\leqslant \frac{1}{1-q} d(P_a(\tilde{x}(a')), \tilde{x}(a')) = \\ &= \frac{1}{1-q} d(P_a(\tilde{x}(a')), P_{a'}(\tilde{x}(a'))). \end{aligned}$$

Pytanie 11 *Jak ten obiekt ma się do $d(P_a, P_{a'})$?*

$$d(P_a, P_{a'}) = \sup_{x\in X} \quad d(P_a(x), P_{a'}(x)).$$

Więc, jeżeli $d(P_{a'}, P_a) < \varepsilon_1$, to znaczy, że $d(P_a(\tilde{x}(a')), P_{a'}(\tilde{x}(a'))) < \varepsilon_1$

$$\text{Czyli } d(\tilde{x}(a), \tilde{x}(a')) \leqslant \frac{1}{1-q} \varepsilon_1.$$

Czyli jeżeli otrzymamy ε_1, to biorąc ε_1 taki, że $\varepsilon_1 \frac{1}{1-q} < \varepsilon$ i znajdujemy δ_1 z zależności **??** *i wiemy, że jeżeli*

$$d(a', a) < \delta_1 \implies d(\tilde{x}(a'), \tilde{x}(a)) < \varepsilon \quad \square.$$

Przykład 24 *(odwzorowanie zwężające)*

$$\int \frac{dx(t)}{dt} = f(t,x), x(t_0) = x_0.$$

Wiemy, że $x(t)$ jest punktem stałym odwzorowania

$$P(g) = x_0 + \int_{t_0}^{t} f(s, g(s))ds \implies g_0, P(g_0), P(P(g_0)) \ldots \to x(t).$$

$$\frac{dx}{dt} = t + x, x(0) = 0.$$

$$f(t,x) = t + x.t_0 = 0, x_0 = 0.$$

Czy f jest lipszycowalna?

$$\underset{t\in[a,b]}{\forall} \|t + x - (t + x')\| = \|x - x'\| = 1\|x - x'\| \implies L = 1.$$

Czyli jest. Policzymy kilka wyrazów ciągu

$$\underset{x^0(t)}{g_0}, \underset{x^1(t)}{P(g_0)}, \underset{x^2(t)}{P(P(g_0))}, \ldots.$$

$$x^0(t) = x_0(t) = 0$$

$$x^1(t) = P(x^0(t)) = P(0) = 0 + \int_0^t f(s, x^0(s))ds = \int_0^t sds = \frac{t^2}{2}$$

$$x^2(t) = P(x^1(t)) = P(\frac{t^2}{2}) = 0 + \int_0^t f(s, x^1(s))ds = \int_0^t (s + \frac{s^2}{2})ds = \frac{t^2}{2} + \frac{t^3}{2 \times 3}$$

$$x^3(t) = P(x^2(t)) = 0 + \int_0^t \left(s + \frac{s^2}{2} + \frac{s^3}{2 \times 3}\right) ds = \frac{t^2}{2} + \frac{t^3}{2 \times 3} + \frac{t^4}{2 \times 3 \times 4}$$

$\vdots$

$\vdots \to \infty$

$e^t - t - 1.$

Przykład 25 $\frac{dx}{dt} = 2tx, \quad x(0) = 1,$ *czyli* $f(t,x) = 2tx, \quad t_0 = 0$

dla $\underset{t\in[a,b]}{\forall}$

$$\|2tx - 2tx'\| \leqslant \sup_{t\in[a,b]} |t| 2\|x - x'\|.$$

Czyli f *- lipszycowalna z* $L = \sup\limits_{t\in[a,b]} |t| \times 2$

$$\begin{aligned}
&x^0(t) = 1\\
&x^1(t) = P(x^0(t)) = 1 + \int_0^t f(s,1)ds = 1 + \int_0^t 2sds = 1 + t^2\\
&x^2(t) = P(x^1(t)) = 1 + \int_0^t 2s(1+s^2)ds = 1 + t^2 + \frac{t^4}{2}\\
&x^3(t) = P(x^2(t)) = 1 + \int_0^t 2s(1+s^2+\frac{t^4}{2}) = 1 + t^2 + \frac{t^4}{2} + \frac{t^6}{3}\\
&\vdots \to \infty\\
&e^{t^2}.
\end{aligned}$$

Przykład 26

$$\frac{d}{dt}\begin{bmatrix} x_1(t) \\ x_2(t) \end{bmatrix} = \begin{bmatrix} x_2(t) \\ -x_1(t) \end{bmatrix}, x_1(0) = 0, x_2(0) = 1.$$

$$f(t,x) = f(t, \begin{bmatrix} x_1 \\ x_2 \end{bmatrix} = \begin{bmatrix} 0 & 1 \\ -1 & 0 \end{bmatrix}\begin{bmatrix} x_1 \\ x_2 \end{bmatrix}.$$

$$\begin{aligned}
&x^0(t) = \begin{bmatrix} x_1^0(t) \\ x_2^0(t) \end{bmatrix} = \begin{bmatrix} 0 \\ 1 \end{bmatrix}\\
&x^1(t) = P(x^0(t)) = \begin{bmatrix} 0 \\ 1 \end{bmatrix} + \int_0^t \begin{bmatrix} 1 \\ -0 \end{bmatrix} ds = \begin{bmatrix} 0 \\ 1 \end{bmatrix} + \begin{bmatrix} t \\ 0 \end{bmatrix} = \begin{bmatrix} t \\ 1 \end{bmatrix}\\
&x^2(t) = P\left(\begin{bmatrix} x_1^1 \\ x_1^2 \end{bmatrix}\right) = P\left(\begin{bmatrix} t \\ 1 \end{bmatrix}\right) = \begin{bmatrix} 0 \\ 1 \end{bmatrix} + \int_0^1 \begin{bmatrix} 1 \\ -s \end{bmatrix} ds = \begin{bmatrix} 0 \\ 1 \end{bmatrix} + \begin{bmatrix} t \\ -\frac{t^2}{2} \end{bmatrix} = \begin{bmatrix} t \\ 1-\frac{t^2}{2} \end{bmatrix}\\
&x^3 = P\left(\begin{bmatrix} x_1^2 \\ x_2^2 \end{bmatrix}\right) = P\left(\begin{bmatrix} t \\ 1-\frac{t^2}{2} \end{bmatrix}\right) = \begin{bmatrix} 0 \\ 1 \end{bmatrix} + \int_0^t \begin{bmatrix} 1-\frac{s^2}{2} \\ -s \end{bmatrix} ds = \begin{bmatrix} t - \frac{t^3}{2\times 3} \\ 1 - \frac{t^2}{2} \end{bmatrix}\\
&\vdots \to \infty\\
&\begin{bmatrix} \sin t \\ \cos t \end{bmatrix}.
\end{aligned}$$

Twierdzenie 13 *Jeżeli odwzorowania*

$$\begin{aligned}
t \in [a,b] \to A(t)\\
t \in [a,b] \to b(t).
\end{aligned}$$

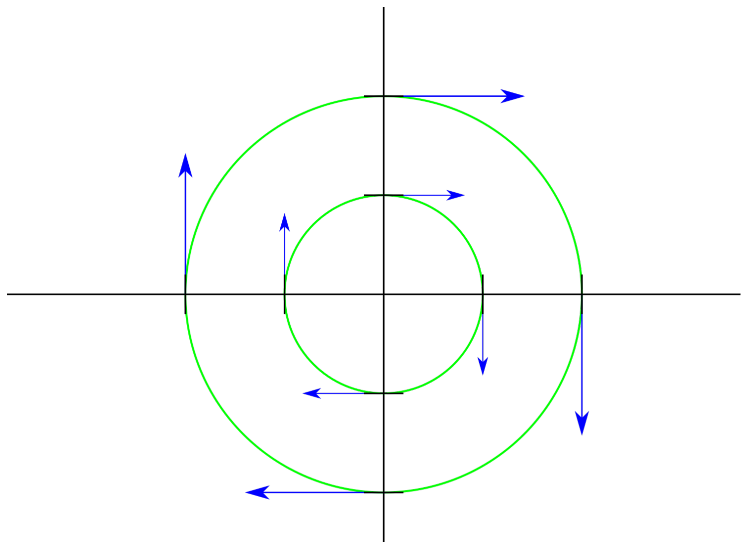

Rysunek 27

Gdzie $A(t) \in L(x,x), b(t) : \mathbb{R}^1 \to X$ *są ciągłe, to równanie*

$$\frac{d}{dt}x(t) = A(t)x(t) + b(t), \quad x(t_0) = x_0.$$

Ma dla dowolnych $t_0 \in [a,b], x_0 \in X$ *jednoznacznie określone rozwiązanie na* $t \in]a,b[$
Czym to się różni od twierdzenia o jednoznaczności warunku Cauchy? Nie ma tutaj mowy o żadnej lipszycowalności. Zawężono za to klasę funkcji występującej w równaniu. Zamiast $]t_0 - \varepsilon, t_0 + \varepsilon[\times \mathcal{O}$, *mamy* $]a,b[\times X$

Dowód 17 *Chcemy sprawdzić, czy* $f(t,x) = A(t)x(t) + b(t)$ *spełnia warunek Lipschitza. Wiemy, że* $A(t)$ *i* $b(t)$ *są ciągłe na przedziale domkniętym* $[a,b]$. *Zatem, istnieje* $\sup_{t\in[a,b]} \|b(t)\| = C$, *a* $A : X \to X$ *i* A *jest liniowe zatem istnieje norma tego odwzorowania*

$$\sup_{t\in[a,b]} \|A(t)\| = L.$$

Zatem

$$\forall_{t\in[a,b]} \|A(t)x+b(t)-(A(t)x'+b(t)\| = \|A(t)(x-x')\| \leqslant \sup_{t\in[a,b]} \|A(t)\|\|x-x'\| = L\|x-x'\|.$$

Z twierdzenia o jednoznaczności wiemy, że istnieją przedziały $]t_0-\varepsilon, t_0+\varepsilon[$ *oraz* $\mathcal{O} = K(x_0, r_2)$ *takie, że dla*

$$\varepsilon = min\left\{|a-t_0|, r_1, \frac{r_2}{M}, |b-t_0|, \frac{1}{L}\right\} \tag{26}$$

Gdzie r_1, r_2 były takie, że na zbiorze $K(t_0, r_1) \times K(x_0, r_2)$ funkcja $f(t, x)$ była ograniczona. Zależy nam na tym, aby w warunku **??** *wyeliminować r_2*
Ale $\|A(t)x + b(t)\| \leqslant \|A(t)x\| + \|b(t)\|$ dla $x \in K(x_0, r_2)$

$$\begin{aligned}
&= \|A(t)x\| + C \leqslant L\|x\| + C = \\
&= L\|x - x_0 + x_0\| + C \leqslant \\
&\leqslant L\|x - x_0\| + L\|x_0\| + C \leqslant \\
&\leqslant Lr_2 + L\|x_0\| + C.
\end{aligned}$$

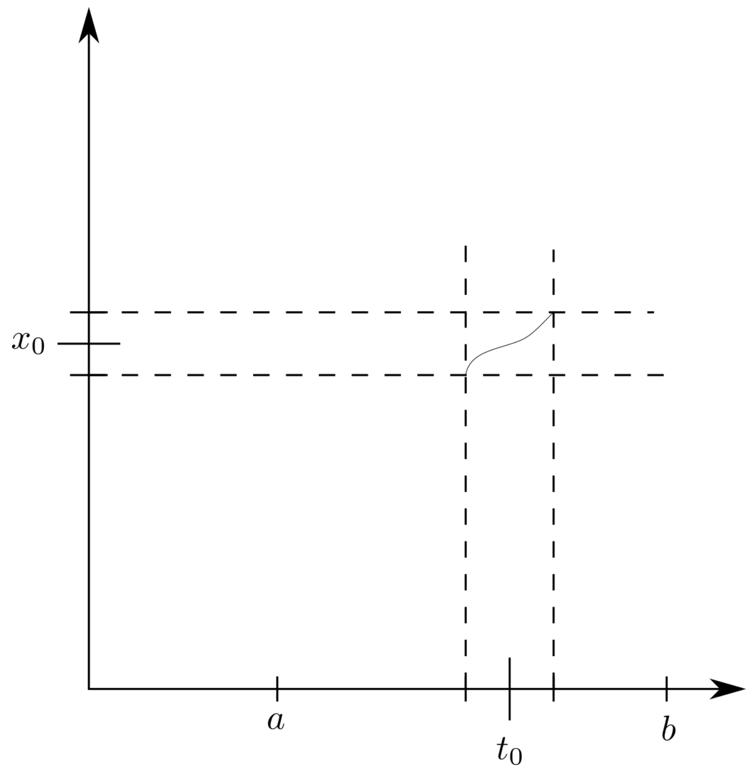

Rysunek 28: Czego byśmy chcieli.

13 Wykład (09.04.2019)

$\varepsilon = min\left\{|t_0 - a|, |t_0 - b|, \frac{1}{L}, \frac{r_2}{M}\right\}$
$]t_0 - \varepsilon, t_0 + \varepsilon[$//Chcielibyśmy, żeby ε nie zależał od punktu w którym zaczniemy.
Rys. **??**

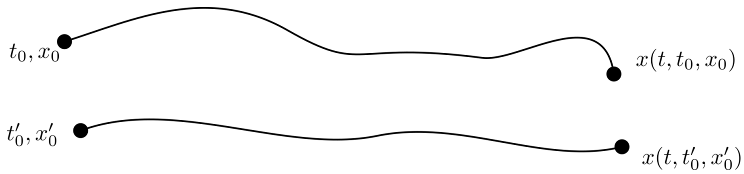

Rysunek 29: Mała zmiana może dać rozwiązanie w podobnym miejscu ale nie musi

$$\|A(t)x(t) + b(t)\| \leqslant L(\|x_0\| + r_2) + c$$
$$\frac{r_2}{M} \geqslant \frac{r_2}{L(\|x_0\| + r_2) + c} =$$
$$\text{Połóżmy } r_2 = \|x_0\| + c$$
$$= \frac{\|x_0\| + c}{L(\|x_0\| + \|x_0\| + c) + c} =$$
$$\frac{\|x_0\| + c}{L(2\|x_0\| + c) + c} \geqslant \frac{\|x_0\| + c}{L(2\|x_0\| + c + c) + c + \|x_0\|} =$$
$$\frac{1}{2L+1}, \text{ zatem}$$
$$\varepsilon = min\left\{|t_0 - a|, |t_0 - b|, \frac{1}{L}, \frac{1}{2L+1}\right\}.$$

(r_1 - pomijamy, bo $A(t)$ - ciągła na $[a, b]$.) Oznacza to, że wartość ε nie zależy od x, zatem rozwiązanie początkowo określone na $]t_0 - \varepsilon, t_0 + \varepsilon[\times K(x_0, r_2)$ możemy przedłużyć do określonego na całym $[a, b] \times X$!

Definicja 13 *Rezolwenta*

Rozwiązaniem problemu

$$\frac{dx}{dt} = A(t)x(t) + b(t)$$
$$x(t_0) = x_0.$$

jest funkcja $x(t, t_0, x_0)$

Pytanie 12 *Czy istnieje*

$$R(t, t_0) : \mathbb{R}^n \to \mathbb{R}^n.$$

Takie, że

$$x(t) = R(t, t_0)x_0?.$$

(Jeżeli $x_0, x(t) \in \mathbb{R}^n$)

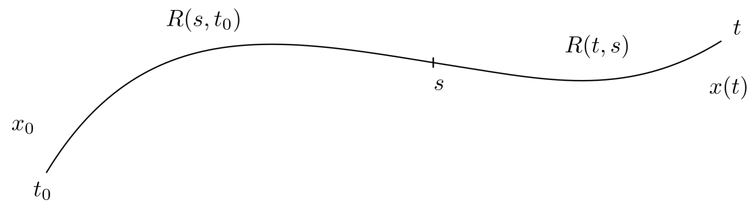

Rysunek 30: Jak pośpimy minutę dłużej to nic się nie stanie (świat jest ciągły)

Pytanie 13 *Jakie własności $R(t, t_0)$ powinno posiadać?*

- $R(t, t_0) : \mathbb{R}^n \to \mathbb{R}^n, R$ - liniowy
  Bo jeżeli $x_1(t), x_1(t_0) = x_0^1$ i $x_2(t), x_2(t_0) = x_0^2$ są rozwiązaniem, to chcielibyśmy, by $x_1(t) + x_2(t)$ też było rozwiązaniem z wartością początkową $x_0^1 + x_0^2$. Rys **??**

- funkcja $R(t, t_0)$

- $\underset{t, t_0, s \in \mathcal{O} \subset \mathbb{R}}{\forall} R(t, t_0) = R(t, s)R(s, t_0)$

- $\underset{t_0 \in \mathcal{O}}{\forall} R(t_0, t_0) = \mathbb{I}$, bo $x(t) = R(t, t_0)x_0$
  Ad 3. Wstawiając t_0 do trzeciej kropki otrzymujemy $R(t_0, t_0) = R(t_0, s)R(s, t_0) \to \underset{t, s \in \mathcal{O}}{\forall} R(s, t) = R(t, s)^{-1}$

- $$\begin{aligned} &\frac{dR(t, to)}{dt} = A(t)R(t, t_0), \\ &R(t_0, t_0) = \mathbb{I}. \end{aligned}$$

  bo wtedy $x(t) = R(t, t_0)x_0$ jest rozwiązaniem problemu

  $$\begin{aligned} &\frac{dx}{dt} = A(t)x(t) \\ &x(t_0) = x_0. \end{aligned}$$

  bo $\frac{dx}{dt} = \frac{d}{dt}(R(t, t_0)x_0) = A(t)R(t, t_0)x_0 = A(t)x(t)$ i $x(t_0) = R(t_0, t_0)x_0 = \mathbb{I}x_0 = x_0$

Zatem na mocy twierdzenia o jednoznaczności rozwiązań wiemy, że założenie $x(t) = R(t, t_0)x_0$ da nam jednoznaczne rozwiązanie.

Pytanie 14 *A co z $b(t)$? (ten wektorek co by to był, ale go nie ma)*

Chcemy rozwiązać problem

$$\frac{dx}{dt} = A(t)x(t) + b(t)$$
$$x(t_0) = x_0.$$

Załóżmy, że rozwiązanie tego problemu możemy przedstawić jako

$$x(t) = R(t, t_0)C(t), C(t) : \mathbb{R} \to \mathbb{R}^n.$$

Ale

$$\frac{d}{dt}x(t) = \frac{d}{dt}\left(R(t, t_0)c(t)\right) = \frac{dR(t, t_0)}{dt}c(t) + R(t, t_0)\frac{dc}{dt} = A(t)R(t, t_0)c(t_) + R(t, t_0)\frac{dc}{dt}.$$

Zatem mogę napisać, że

$$A(t)R(t, to)c(t) + R(t, t_0)\frac{dc}{dt} = A(t)R(t, t_0)c(t) + b(t).$$

(cudowne skrócenie)

$$R(t, t_0)\frac{dc}{dt} = b(t) \qquad /R(t, t_0)^{-1}.$$

$$\frac{dc}{dt} = R(t, t_0)^{-1}b(t).$$

$$\frac{dc}{dt} = R(t, t_0)b(t).$$

$$c(t) - \alpha = \int_{t_0}^{t} R(t_0, s)b(s)ds, \alpha \in \mathbb{R}.$$

Ale $c(t_0) = x_0$, więc $\alpha = x_0$.

$$c(t) = x_0 + \int_{t_0}^{t} R(t_0, s)b(s)ds.$$

Zatem

$$x(t) = R(t, t_0)c(t) = R(t, t_0)\left(x_0 + \int_{t_0}^{t} R(t_0, s)b(s)ds\right) = .$$

$$R(t, t_0)x_0 + R(t, t_0)\int_{t_0}^{t} R(t_0, s)b(s)ds = .$$

$$R(t, t_0)x_0 + \int_{t_0}^{t} \underbrace{R(t, t_0)R(t_0, s)}_{R(t,s)}b(s)ds.$$

Zatem rozwiązanie problemu wygląda tak:

$$x(t) = R(t, t_0)x_0 + \int_{t_0}^{t} R(t, s)b(s)ds.$$

dygresja:
dają nam rozkład gęstości masy $\rho(x')$. Jak wygląda potencjał?

$$\varphi(x) = \int \frac{\rho(x')dv'}{\|x - x'\|}.$$

W tym przypadku rezolwenta to $\frac{1}{\|x-x'\|}$

Pytanie 15 *Czy rezolwenta istnieje?*

Funkcja $R(t, t_0) = e^{\int_{t_0}^{t} A(s)ds}$ spełnia warunki $1 - 5$ dla rezolwenty

- $R(t, t_0) : \mathbb{R}^n \to \mathbb{R}^n$
- $R(t, t_0)$ - jest ciągła względem t i t_0
- $R(t, \alpha)R(\alpha, t_0) = R(t, t_0)$, bo $e^{\int_{t_0}^{t} A(s)ds} = e^{\int_{t_0}^{\alpha} A(s)ds + \int_{\alpha}^{t} A(s)ds}$
  $R(t, t_0) = R(t, \alpha)R(\alpha, t_0)$
- $R(t_0, t_0) = e^{\int_{t_0}^{t_0} A(s)ds} = \mathbb{I}$
- $\frac{dR}{dt} = A(t)R(t, t_0)$
  Dowód:

$$\frac{R(t+h, t_0) - R(t, t_0)}{h} = \frac{1}{h}\left(e^{\int_{t_0}^{t+h} A(s)ds} - e^{\int_{t_0}^{t} A(s)ds}\right) = .$$

$$= \frac{1}{h}\left[e^{\int_{t_0}^{t+h} A(s)ds} e^{\int_{t_0}^{t} A(s)ds} - e^{\int_{t_0}^{t} A(s)ds}\right] = .$$

$$\frac{1}{h}\left[e^{\int_{t}^{t+h} A(s)ds} - \mathbb{I}\right] e^{\int_{t_0}^{t} A(s)ds} - \frac{1}{h}\left[e^{hA(\beta) - \mathbb{I}}\right] R(t, t_0) = .$$

$$\frac{1}{h}\left[\mathbb{I} + \frac{hA(\beta)}{1} + \frac{(hA(\beta))^2}{2!} + \ldots = \mathbb{I}\right] R(t, t_0) = .$$

$$\underset{t<\beta<t+h}{A(\beta)} R(t, t_0) + h[...] \to A(t)R(t, t_0).$$

$((((\int_{t}^{t+h} A(s)ds = (t + h - t)A(\beta)))))$

Przykład 27

$$\frac{d}{dt}\begin{bmatrix} x(t) \\ p(t) \end{bmatrix} = \begin{bmatrix} 1 & 0 \\ 0 & -1 \end{bmatrix}\begin{bmatrix} x(t) \\ p(t) \end{bmatrix}, \begin{bmatrix} x(0) \\ p(0) \end{bmatrix} = \begin{bmatrix} x_0 \\ p_0 \end{bmatrix}.$$

$$\begin{bmatrix} x(t) \\ p(t) \end{bmatrix} e^{\int_0^t \begin{bmatrix} 1 & 0 \\ 0 & -1 \end{bmatrix} ds} \begin{bmatrix} x_0 \\ p_0 \end{bmatrix} = e^{t\begin{bmatrix} 1 & 0 \\ 0 & -1 \end{bmatrix}} \begin{bmatrix} x_0 \\ p_0 \end{bmatrix}.$$

14 Wykład (07.05.2019)

Przykład 28

$$\frac{d}{dt}\begin{bmatrix} x(t) \\ p(t) \end{bmatrix} = \begin{bmatrix} 1 & 0 \\ 0 & -1 \end{bmatrix}\begin{bmatrix} x(t) \\ p(t) \end{bmatrix}, \quad \begin{bmatrix} x(t=0) \\ p(t=0) \end{bmatrix} = \begin{bmatrix} x_0 \\ p_0 \end{bmatrix}.$$

$$\begin{bmatrix} x(t) \\ p(t) \end{bmatrix} = e^{(t-0)\begin{bmatrix} 1 & 0 \\ 0 & -1 \end{bmatrix}}\begin{bmatrix} x_0 \\ p_0 \end{bmatrix}.$$

$$A = \begin{bmatrix} 1 & 0 \\ 0 & -1 \end{bmatrix}.$$

$$w(\lambda) = \det\begin{bmatrix} 1-\lambda & 0 \\ 0 & -1-\lambda \end{bmatrix} = -(1-\lambda)(1+\lambda) = -(1-\lambda^2) = 0 \iff \lambda_1 = 1, \lambda_2 = 1.$$

$$f(\lambda) = e^{\lambda t}, f(\lambda) = q(\lambda)w(\lambda) + a\lambda + b.$$

$$f(-1) = -a + b, f(1) = a + b.$$

$$b = \frac{f(-1) + f(1)}{2} = \frac{e^{-t} + e^{t}}{2}, a = \frac{f(1) - f(-1)}{2} = \frac{e^{t} - e^{-t}}{2}.$$

$$\begin{bmatrix} x(t) \\ p(t) \end{bmatrix} = \underbrace{\left(\frac{e^{t} - e^{-t}}{2}\begin{bmatrix} 1 & 0 \\ 0 & -1 \end{bmatrix} + \frac{e^{t} + e^{-t}}{2}\begin{bmatrix} 1 & 0 \\ 0 & 1 \end{bmatrix}\right)}_{R(t,t_0)}\begin{bmatrix} x_0 \\ p_0 \end{bmatrix}.$$

Pytanie 16 *Czy można znaleźć rozwiązanie bez liczenia $R(t, t_0)$?*

Obserwacja 5 *Załóżmy, że macierz $A : \mathbb{R}^n \to \mathbb{R}^n$ ma n różnych wartości własnych.*

$$\begin{matrix} \lambda_1, & \lambda_2, \lambda_3, \ldots \\ v_1, & v_2, v_3, \ldots. \end{matrix}$$

Obserwacja 6 *Jeśli $v \in ker(A - \lambda\mathbb{I})$, to znaczy, że*

$$\begin{aligned} Av &= \lambda v \\ A^2 v &= \lambda^2 v \\ A^n v &= \lambda^n v \\ e^A v &= e^{\lambda t} v. \end{aligned}$$

Jeżeli zatem przdstawimy warunek początkowy jako sumę:

$$\overline{x_0} = x_0' + x_0^2 + \ldots + x_0^n$$
$$e^{A(t-t_0)}\overline{x_0} = sum_{i=1}^{n} e^{A(t-t_0)} x_0^i = sum_{i=1}^{n} e^{\lambda_i (t-t_0)} x_0^i$$
$$.$$

Obserwacja 7 *najogólniesza postać λ_j(pierwiastki równania $w(\lambda) = 0$) to*

$$\lambda_j = a_j + ib_j.$$

Zatem dowolne rozwiązanie problemu jednorodnego przy n różnych wartościach własnych może być jedynie kombinacją funkcji typu

$$\cos(bt), \quad \sin(bt), \quad e^{at}, \quad ch(at), \quad sh(at), \quad e^{at}\sin(bt), \quad e^{at}\cos(bt).$$

I niewiele więcej.

$$\begin{aligned} \ddot{x} + a\dot{x} + \omega^2 x = 0 \\ \dot{x} = p \\ \dot{p} = \ddot{x} = -a\dot{x} - \omega^2 x \\ \frac{d}{dt}\begin{bmatrix} x \\ p \end{bmatrix} = \begin{bmatrix} 0 & 1 \\ -\omega^2 & -a \end{bmatrix}\begin{bmatrix} x \\ p \end{bmatrix}. \end{aligned}$$

Załóżmy, że macierz $A \in M_n^n$ ma k różnych wartości własnych i A nie zależy od czasu

$$\begin{aligned} \lambda_1 \to n_1 \\ \lambda_2 \to n_2 \\ \vdots \\ \lambda_k \to n_k - V_k = ker(A - \lambda_k \mathbb{I})^{n_k}. \end{aligned}$$

(gdzie $n_1 + n_2 + \ldots + n_k = n$)

$$\mathbb{R}^n = V_{\lambda_1} \bigoplus V_{\lambda_2} \bigoplus .. \bigoplus V_{\lambda_k}.$$

i teraz rozkładamy warunek początkowy:

$$x_0 = \underset{V_{\lambda_1}}{x_0^1} + \underset{V_{\lambda_2}}{x_0^2} + \ldots + x_0^k.$$

Wówczas

$$\begin{aligned} x(t) = e^{A(t-t_0)}x_0 = \sum_{i=1}^{k} e^{A(t-t_0)}x_0^i = \sum_{i=1}^{k} e^{\lambda_i(t-t_0)\mathbb{I} + A(t-t_0) - \lambda\mathbb{I}(t-t_0)}x_0^i = \\ = \sum_{i=1}^{k} e^{\lambda_i(t-t_0)\mathbb{I}} e^{(A-\lambda\mathbb{I})(t-t_0)}x_0^i = \\ = \sum_{i=1}^{k} e^{\lambda_i(t-t_0)\mathbb{I}} \left(\sum_{j=0}^{\infty} \frac{(t-t_0)^j (A-\lambda_j\mathbb{I})^j}{j!} x_0^i \right) \\ \text{ale } x_0^i \in ker(A - \lambda_i \mathbb{I}^{n_i}) = \lambda_\lambda = \\ = \sum_{i=1}^{k} e^{\lambda_i(t-t_0)\mathbb{I}} \left(\sum_{j=0}^{n-1} \frac{(t-t_0)^j}{j!} (A-\lambda_i\mathbb{I})^j \right) x_0^i. \end{aligned}$$

Przykład 29 *Rozwiązać równanie:*

$$\frac{dx_1}{dt} = x_1 + x_2 + 2x_3$$
$$\frac{dx_2}{dt} = x_2 + x_3$$
$$\frac{dx_3}{dt} = 2x_3$$
$$\begin{bmatrix} x_1 \\ x_2 \\ x_3 \end{bmatrix} = \begin{bmatrix} 1 \\ 2 \\ 1 \end{bmatrix}.$$

$$A = \begin{bmatrix} 1 & 1 & 2 \\ 0 & 1 & 1 \\ 0 & 0 & 2 \end{bmatrix}, w(\lambda) = det\left(\begin{bmatrix} 1-\lambda & 1 & 2 \\ 0 & 1-\lambda & 1 \\ 0 & 0 & 2-\lambda \end{bmatrix}\right).$$

$$w(\lambda) = (2-\lambda)(1-\lambda)^2.$$

$$\lambda_1 = 1, n_1 = 2$$
$$\lambda_2 = 2, n_2 = 1.$$

$$ker(A - \lambda_2 \mathbb{I}).$$

$$\begin{bmatrix} 1-2 & 1 & 2 \\ 0 & 1-2 & 1 \\ 0 & 0 & 2-2 \end{bmatrix} \begin{bmatrix} a \\ b \\ c \end{bmatrix} = \begin{bmatrix} 0 \\ 0 \\ 0 \end{bmatrix}$$

$$\begin{bmatrix} -1 & 1 & 2 \\ 0 & -1 & 1 \\ 0 & 0 & 0 \end{bmatrix} \begin{bmatrix} a \\ b \\ c \end{bmatrix} = 0$$

$$-a + b + 2c = 0$$

$$-b + c = 0$$

$$c = b$$

$$-a - b + 2b = 0$$

$$a = 3b$$

$$v \in V_{\lambda_2} \iff v = \begin{bmatrix} 3b \\ b \\ b \end{bmatrix} = b \begin{bmatrix} 3 \\ 1 \\ 1 \end{bmatrix}, V_{\lambda_2} = \left\langle \begin{bmatrix} 3 \\ 1 \\ 1 \end{bmatrix} \right\rangle$$

$$V_{\lambda_1} = ker(A - \lambda_1 \mathbb{I})^2$$

$$\begin{bmatrix} 1-1 & 1 & 2 \\ 0 & 1-1 & 1 \\ 0 & 0 & 2-1 \end{bmatrix}^2 = \begin{bmatrix} 0 & 1 & 2 \\ 0 & 0 & 1 \\ 0 & 0 & 1 \end{bmatrix} \begin{bmatrix} 0 & 1 & 2 \\ 0 & 0 & 1 \\ 0 & 0 & 1 \end{bmatrix} =$$

$$= \begin{bmatrix} 0 & 0 & 3 \\ 0 & 0 & 1 \\ 0 & 0 & 1 \end{bmatrix}$$

$$\begin{bmatrix} 0 & 0 & 3 \\ 0 & 0 & 1 \\ 0 & 0 & 1 \end{bmatrix} \begin{bmatrix} a \\ b \\ c \end{bmatrix} = \begin{bmatrix} 0 \\ 0 \\ 0 \end{bmatrix}$$

$$c = 0, v \in V_{\lambda_1} \iff v = \begin{bmatrix} a \\ b \\ c \end{bmatrix} = a \begin{bmatrix} 1 \\ 0 \\ 0 \end{bmatrix} + b \begin{bmatrix} 0 \\ 1 \\ 0 \end{bmatrix}$$

$$V_{\lambda_1} = \left\langle \begin{bmatrix} 1 \\ 0 \\ 0 \end{bmatrix}, \begin{bmatrix} 0 \\ 1 \\ 0 \end{bmatrix} \right\rangle$$

$$\begin{bmatrix} 1 \\ 2 \\ 1 \end{bmatrix} = x_0^1 \in V_{\lambda_1} + x_0^2 \in V_{\lambda_2} \qquad \begin{bmatrix} 1 \\ 2 \\ 1 \end{bmatrix} = (-2) \begin{bmatrix} 1 \\ 0 \\ 0 \end{bmatrix}$$

$$\begin{bmatrix} 1 \\ 2 \\ 1 \end{bmatrix} = \begin{bmatrix} -2 \\ 0 \\ 0 \end{bmatrix} + \begin{bmatrix} 0 \\ 1 \\ 0 \end{bmatrix} + \begin{bmatrix} 3 \\ 1 \\ 1 \end{bmatrix}$$

$$\sum_{i=1}^{k} e^{\lambda_i (t-to)\mathbb{I}} \left(\sum_{j=0}^{n-1} \frac{(t-t_0)^j}{j!} (A - \lambda_i \mathbb{I})^j \right) x_0^i =$$

$$= e^{\lambda_1 (t)\mathbb{I}} \left(\sum_{j=0}^{2-1} \frac{t^j}{j!} (A - \lambda_1)^j \right) x_0^1 + e^{\lambda_2 t \mathbb{I}} (\mathbb{I})\, x_0^2 =$$

$$= \begin{bmatrix} x_1(t) \\ x_2(t) \\ x_3(t) \end{bmatrix} = e^t \begin{bmatrix} 1 & 0 & 0 \\ 0 & 1 & 0 \\ 0 & 0 & 1 \end{bmatrix} \left(\begin{bmatrix} 1 & 0 & 0 \\ 0 & 1 & 0 \\ 0 & 0 & 1 \end{bmatrix} + \frac{t^1}{1!} \begin{bmatrix} 1-1 & 1 & 2 \\ 0 & 1-1 & 1 \\ 0 & 0 & 2-1 \end{bmatrix} \right) \begin{bmatrix} -2 \\ 1 \\ 0 \end{bmatrix} + e^{2t} \mathbb{I} \begin{bmatrix} 3 \\ 1 \\ 1 \end{bmatrix} =$$

$$= e^t (a + bt) + e^{2t} + C.$$

14.1 Baza rozwiązań

Obserwacja 8 *Jeżeli* $x(t) = R(t, t_0)x_0$ *i* $R(t, t_0) \in M_n^n$*, to znaczy, że*

$$x(t) = [||||||||] \begin{bmatrix} x_0^1 \\ \vdots \\ x_0^n \end{bmatrix} = x_0^1 \, [|] + x_0^2 \, [|] + \ldots + x_0^n \, [|] \, .$$

Pytanie 17 *Czy* $\det(R(t, t_0)) \neq 0$*?*

Jeżeli tak, to kolumny $R(t, t_0)$ możemy potraktować jako wektory rozpinające przestrzeń rozwiązań i $\det R(t, t_0) \neq 0 \underset{t \in [a,b]}{\forall}$.

W bazie wektorów własnych macierz e^{At} wygląda tak (zakładamy n wartości własnych):

$$\det \begin{bmatrix} e^{\lambda_1 t} & \ldots & 0 \\ \vdots & \ddots & \vdots \\ 0 & \ldots & e^{\lambda_n t} \end{bmatrix} = e^{t(\lambda_1 + \ldots + \lambda_n)} = e^{t * TrA} \neq 0.$$

15 Wykład (10.05.2019)

Chcemy dojść do tw Lebesque.

Twierdzenie 14 *(Lebesque) Niech P - zbiór nieciągłości funkcji $f : D \to \mathbb{R}$, f - ograniczona na D, D - ... jest zbiorem miary Lebesque'a zera* $\iff$ *f - całkowalna na D.*

Wiemy, że f - całkowalna $\iff$

$$\underset{\varepsilon>0}{\forall}.\underset{\Pi}{\exists}.|\overline{S}(f,\Pi) - \underline{S}(f,\Pi)| < \varepsilon.$$

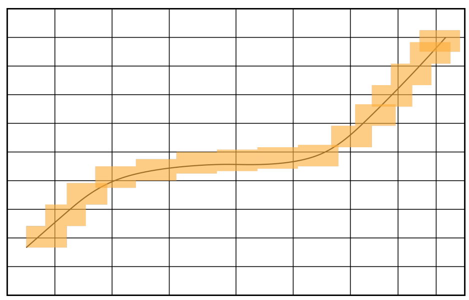

Ostatnio pokazaliśmy, że

$$A_\varepsilon = \{x \in A, O(f,x) \geqslant \varepsilon\}\text{ , to } A_\varepsilon \text{ jest zbiorem domkniętym.}$$

(PS funkcja f na zbiorze A powinna być ograniczona!!!)

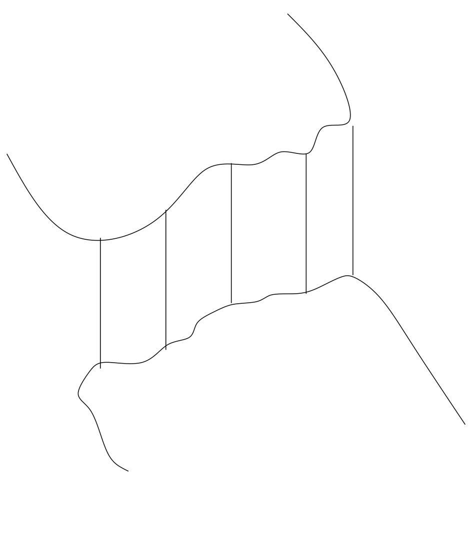

Obserwacja 9 *Jeżeli weźmiemy stól o jakiejś długości to mogę wziąć ileś kartek (albo naleśników. Nie wiadomo czy działa dla czego innego) i go nimi przykryć. Co więcej, jeżeli będzie promocja, to mogę nawet rzucić ich przeliczalnie dużo. Pytanie: czy dla każdego zbioru mogę (niezależnie od kształtu kartek) przykryć go skończoną liczbą kartek?*

Weźmy długi stół:

$$R = \bigcup_{n=0}^{\infty}]n-2, n+2[\cup]-n-2, -n+2[$$
$$]0,1[\subset [-2,2]$$
$$]0,1[\subset [-2019, 2018] \cup [-2,2]$$
$$]0,1[= \bigcup_{n=2}^{\infty}]\frac{1}{n}, 1-\frac{1}{n}[.$$

Ostatnie jest słabe, bo nie mogę wybrać pokrycia ze skończonej ilości elementów.

Definicja 14 *Niech X - zbiór a $F = \{A_\alpha, \alpha \in \mathbb{R}, A_i, i \in \mathbb{N}\}$ - rodzina zbiorów. Mówimy, że F jest pokryciem zbioru X, jeżeli $X \subset \bigcup_{i,\alpha} A_\alpha$. Jeżeli zbiory A_α są otwarte, to mówimy, że F jest pokryciem otwartym, jeżeli ilość zbiorów A_α jest skończona, to mówimy, że pokrycie jest skończone. Dowolny podzbiór F taki, że jest też pokryciem zbioru X nazywamy podpokryciem.*

Definicja 15 *Zbiór X nazywamy zwartym, jeżeli z* ***każdego*** *pokrycia otwartego możemy wybrać skończone podpokrycie.*

Jak sprawdzamy, czy zbiór jest zwarty, to nie szukamy skończonych pokryć, tylko takie które nie są skończone.

Stwierdzenie 3 *(X - domknięty,ograniczony) $\iff$ (X-zbiór zwarty)*

Dowód 18 *niech $X \in \mathbb{X}$, $\mathbb{X}$ - przestrzeń metryczna*
$\Longleftarrow_1$ *Pokażemy, że jeżeli X - zwarty, to X - ograniczony. (przypomnienie: zbiór $A \subset \mathbb{X}$ jest ograniczony jeżeli $\underset{r}{\exists}. \underset{x_0 \in A}{\exists}$, że $A \subset K(x_0, r)$ Skoro X - zwarty, to niech F będzie pokryciem złożonym z $K(x,1), x\imath X$. $F = \left\{K(x,1), \underset{x \in X}{\forall}\right\}$. F jest pokryciem zbioru X, ale ponieważ X - zwarty, to znaczy, że z pokrycia F możemy wybrać* ***skończone*** *podpokrycie, co oznacza, że zbiór X możemy ułożyć w kulę o skończonym promieniu. Zatem X - ograniczony.*

$\Longleftarrow_2$ *Pokażemy, że X - zwarty, to X - domknięty. Pokażemy, że X' - zbiór otwarty. Czyli, że dla dowolnego $p \in X'$ $\underset{K(p,\tilde{r})}{\exists}$, że $K(p,\tilde{r}) \cap X = \phi$ co będzie oznaczało, że X' składa się wyłącznie z punktów wewnętrznych. Weźmy*

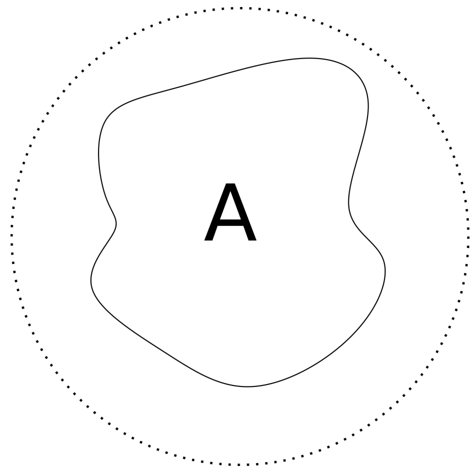

Rysunek 31: Nieważne, co A myśli o sobie, jeżeli otoczymy je kulą, to jest ograniczone i koniec

$q \in X$, utwórzmy dwa otoczenia:

$$K(q,r), K(p,r); r = \frac{1}{2}d(p,q).$$

*Widać, że $K(q,r) \cap K(p,r) = \phi$. Powtarzamy taką procedurę dla każdego $q \subset X$, oznacza to, że dostaniemy pokrycie zbioru X kulami $K(q, r_q), q \in X$, ale X jest zbiorem zwartym więc mogę wybrać **skończoną** ilość kul $K(q_1, r_1), K(q_2, r_2), \ldots, K(q_k, r_k)$ będącą pokryciem zbioru X. A to znaczy, że*

$$\underbrace{(K(p,r_1) \cap K(p,r_2) \cap \ldots \cap K(p,r_k))}_{\textit{jest do zbiór niepusty i } \textbf{\textit{otwarty}}} \cap \underbrace{(K(q_1,r_1) \cup K(q_2,r_2) \cup \ldots \cup K(q_k,r_k))}_{\textit{Pokrywa cały } X} = \phi.$$

czyli np.

$$\bigcap_{n=1}^{\infty}]-\frac{1}{n}, \frac{1}{n}[= [0].$$

Znaleźliśmy otoczenie otwarte punktu $P : K(p,r_k) \cap \ldots K(p,r_k)$, takie, że nie ma punktów wspólnych z X, więc p jest punktem wewnętrznym, czyli X' - otwarty, czyli X - domknięty.

$\Longrightarrow$ *X - domknięty i ograniczony $\Longrightarrow$ X - zwarty. Niech P - kostka z $\mathbb{R}^n$, metryka d_2. Pokażemy, że P jest zwarta.*

$$P = [a_1, b_1] \times \ldots \times [a_n, b_n].$$

$$\neg(p \implies q) \iff p \wedge \neg q.$$

Dowód przez srzeczność:
Załóżmy, że P - domknięty i ograniczony i P nie jest zwarty. Co to znaczy, że

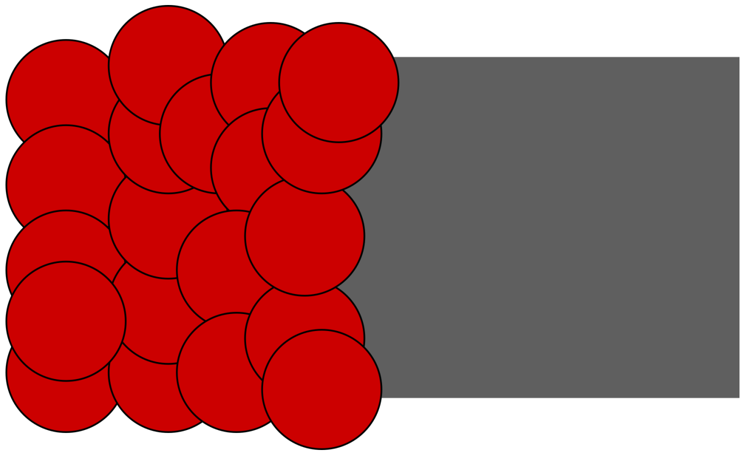

Rysunek 32: Przykrywanie zbioru kulami

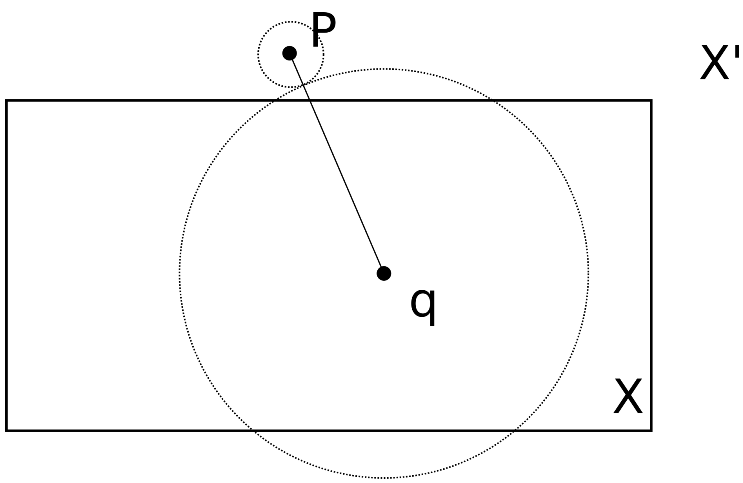

P nie jest zwarte? Oznacza to, że istnieje pokrycie zbioru P takie, że nie da się wyciągnąć z niego skończonego podpokrycia.

Jeżeli P nie da się pokryć skończoną ilością zbiorów, to znaczy, że jeżeli weźmiemy kostkę $[a_1, c_1] \times [a_2, c_2] \times \ldots \times [a_n, c_n]$ gdzie $c_1 = \frac{a_1+b_1}{2}, c_2 = \frac{a_2+b_2}{2}, \ldots, c_n = \frac{a_n+b_n}{2}$,
to jej też nie możemy podzielić na skończoną ilość elementów. Czyli $P_1 \subset P$, kulę P_1 też możemy podzielić na cztery części itd... W efekcie dostaniemy ciąg

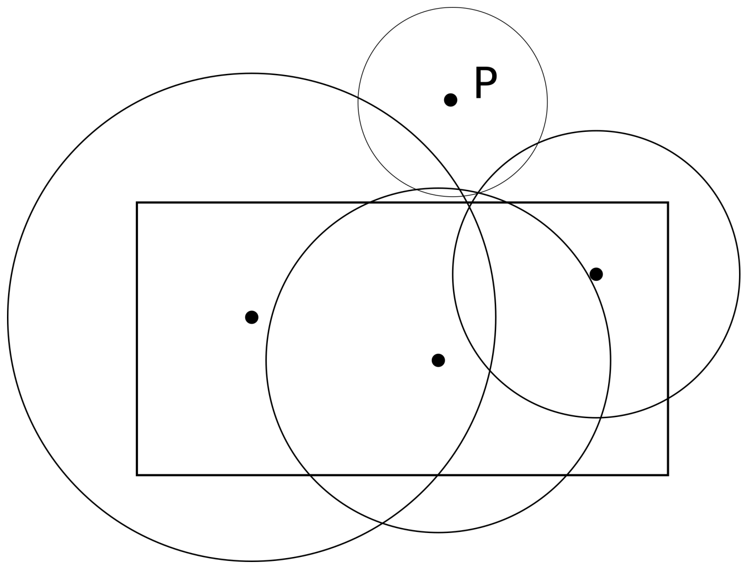

kostek $PP_1P_2P_3\dots P_n\dots$. *Weźmy ciąg elementów*

$$\begin{aligned}
&x_0 \in P\\
&x_1 \in P_1\\
&\vdots\\
&x_n \in P_n\\
&\vdots.
\end{aligned}$$

Znaczy, że ciąg $\{x_n\}$ *jest ciągiem Cauchy (bo każdy element ciągu asdasd). Ciąg* $\{x_n\} \in \mathbb{R}^n$ *czyli* X_n *jest zbieżny. (bo* $\mathbb{R}^n$ *- zupełna). Niech* $\tilde{x}$ *będzie granicą* $\{x_n\}$ *a zbiór* $\{P, P_1, P_2, \dots, P_n, \dots\}$ *jest pokryciem* P *takim, z którego nie możemy wyciągnąć skończonego podpokrycia. Ale skoro* $\lim_{n\to\infty} x_n = \tilde{x}$*, to znaczy, że*

$$\underset{\varepsilon>0}{\forall}.\underset{n}{\exists}.\underset{n>N}{\forall}.x_n \in K(\tilde{x}, \varepsilon).$$

Oznacza to, że mogę tak dobrać ε*, że w* $K(\tilde{x}, \varepsilon)$ *będą się zawierać wszystkie* $P_i, i > n$*. Mogę wtedy wybrać* ***skończone*** *podpokrycia kostki* P.

$$\{P_1, P_2, P_3, \dots, P_{n_i}, K(\tilde{x}, \varepsilon)\}.$$

i sprzeczność

Wracamy do tw. Lebesque'a. Obserwacja: Niech D - zwarty, $D \subset \mathbb{R}^n$, $f : D \to \mathbb{R}$ - ograniczona i niech $A = \{x \in D, o(f, x) < \varepsilon\}$. Wówczas:

$$\underset{\Pi}{\exists}.|\overline{S}(f, \Pi) - \underline{S}(f, \Pi)| < \varepsilon|D|.$$

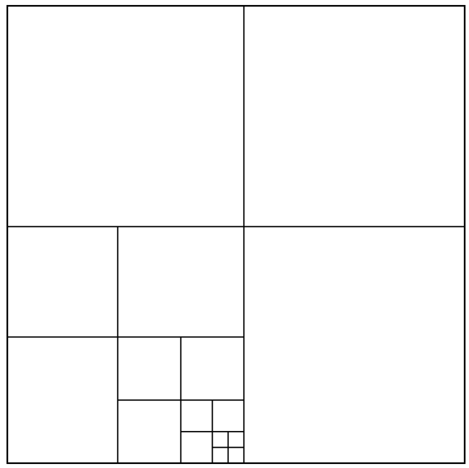

Rysunek 33: mogę wybrać sobie takie kółko, że wszytkie następne kwadraty będą już leżały w tym kółku!

Dowód 19 *Skoro* $\underset{x\in A}{\forall} \lim_{r\to 0} |\underset{K(x',r)}{sup} f(x') - \underset{x'\in K(x',r)}{inf} f(x')| < \varepsilon$ *To znaczy, że* $\underset{r_\varepsilon}{\exists}$ *takie, że* $|supf(x') - inff(x')| < \varepsilon$. *Jeżeli zbadamy wszystkie kule* $K(x, r_\varepsilon) \underset{x\in D}{\forall}$ *to otrzymamy pokrycie* A. *Ale* A *jest zbiorem zwartym, więc możemy wybrać skończone podpokrycie, czyli skończoną ilość kul takich, że*

$$(*) A \subset K(x_1, r_\varepsilon^1) \cup K(x_2, r_\varepsilon^2) \cup \ldots \cup K(x_n, r_\varepsilon^n).$$

Możemy zatem wybrać podział Π *zbioru* D *zgodny z podziałem* $(*)$, *w wyniku czego,*

$$|\overline{S}(f, \Pi) - \underline{S}(f, \Pi)| < \varepsilon |D|.$$

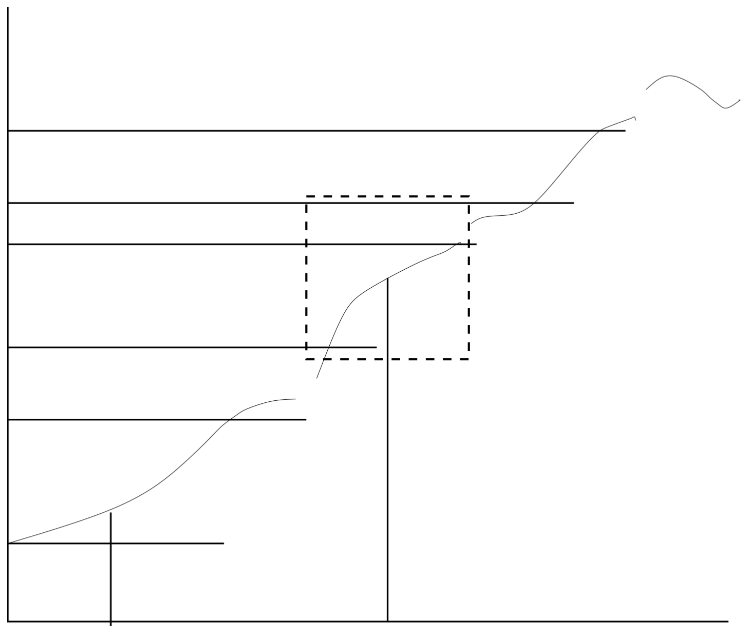

16 Wykład (14.05.2019)

Ostatnio było:

$$A \subset D : \underset{x \in A}{\forall} \mathcal{O}(f,x) < \varepsilon; A - \text{kostka, to}$$
$$\underset{\Pi}{\exists} |\overline{S}(f,\Pi) - \underline{S}(f,\Pi)| < \varepsilon |A|.$$

Twierdzenie 15 *(Lebesgue'a) niech D - kostka, $D \subset \mathbb{R}^n$, $f : D \to \mathbb{R}$, f - ograniczona.*
Wówczas f - (całkowalna na D) $\iff$ (zbiór nieciągłości funkcji f jest miary Lebesgue'a zero)

Dowód 20 $\Longleftarrow$
Chcemy pokazać, że

$$\underset{\Pi}{\exists} |\overline{S}(f,\Pi) - \underline{S}(f,\Pi)| < \varepsilon,$$

przy założeniu, że zbiór nieciągłośći jest miary L. zero.
Wprowadźmy zbiór $A_n = \left\{x \in D, \mathcal{O}(f,x) \geqslant \frac{1}{n}\right\}$

$$\textit{np. } A_2 = \left\{x \in D, \mathcal{O}(f,x) \geqslant \frac{1}{2}\right\}.$$

Obserwacja 10 $A_1 \subset A_2 \subset A_3 \subset \dots$
a zbiór $A = \bigcup_{n=1}^{\infty} A_n$ *będzie zbiorem wszystkich punktów nieciągłości funkcji f*

na D.

Tw. Lebesgue'a udowodnimy dla wybranego A_n, bo przeliczalna suma zbiorów miary L. zero też jest zbiorem miary L. zero.

Uwaga 4 *Zbiór A_n jest zbiorem domkniętym (bo lemat).*
Wiemy, że A_n jest zbiorem miary L. zero gdy itnieje $P_i \subset D$, (P_i - kostki), że $A_n \subset \bigcup P_i$, $\sum |P_i|$ - dowolnie mała (skończona lub nieskończona suma).

Niech $\varepsilon > 0$. Wiemy, że

$$\underset{\varepsilon>0}{\forall} . \underset{N}{\exists} . \underset{n>N}{\forall} \frac{1}{n} < \varepsilon.$$

Wybierzmy zatem taki indeks n dla zbioru A_n, że $\frac{1}{n} < \varepsilon$. Wiemy, że A_n - domknięty i ograniczony (bo $A_n \subset D$, a D - kostka w $\mathbb{R}^n$), to znaczy, że A_n jest zbiorem zwartym, a $\{P_i\}$ jest jego pokryciem. Możemy więc wybrać z niej skończone podpokrycie $\{P_1, P_2, \ldots, P_k\}$ takie, że

$$A_n \subset \bigcup_{j=1}^{k} P_j$$

$$\sum_{j=1}^{k} |P_j| < \frac{1}{n}.$$

(możemy tak zrobić, bo zawsze możemy wybrać taką rodzinę $\{P_i\}$, że $\sum |P_i|$ - dowolnie mała. Wybierzmy podział Π zbioru D taki, że Π jest na tyle drobny, że odtwarza pokrycie A_n zbioru $\bigcup P_j$. Oznacza to, że podział Π możemy podzielić

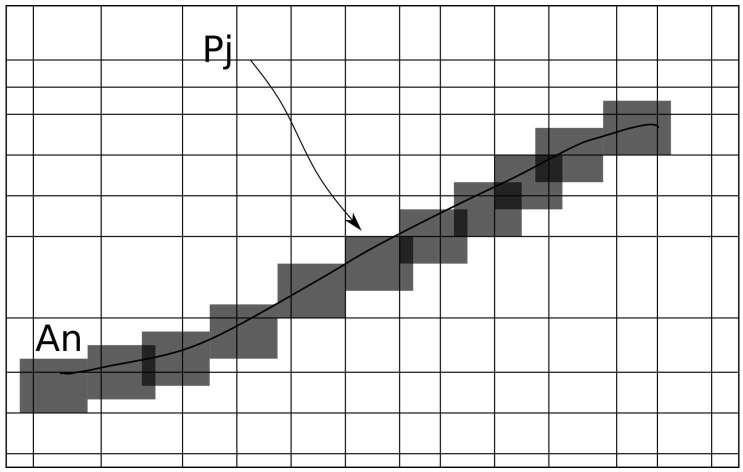

na dwa podziały

$$\Pi = \Pi_1 \cup \Pi_2, \textit{ takie że}$$
$$\Delta$$
$$\Pi_1 \cap \left\{ \bigcup_j P_j \right\} \neq \phi$$
$$\textit{oraz } \Pi_2 \cap \left\{ \bigcup_j P_j \right\} = \phi.$$

Δ *: każda kostka z* $\{P_j\}$ *składa się z kostek należących do* Π_1
$|\overline{S}(f,\Pi) - \underline{S}(f,\Pi)| = |\overline{S}(f,\Pi_1) - \underline{(}f,\Pi_1) + \overline{S}(f,\Pi_2) - \underline{S}(f,\Pi_2)|$, *ale*

$$\overline{S}(f,\Pi_1) - \underline{S}(f,\Pi_1) = \sum_{Q_i \in \Pi_i} (\underset{x \in Q_i}{sup}\, f - \underset{x \in Q_I}{inf}\, f) Q_i| \tag{27}$$

Gdzie wiemy, że $\sum |Q_i| < \frac{1}{n}$, *a* f *- ograniczona na* D *czyli*

$$\underset{M}{\exists}.\ \underset{x \in D}{\forall} |f(x)| < \frac{M}{4}.$$

Czyli

$$|\sup_{x \in D} f - \inf_{x \in D} f| < M.$$

Zatem

$$(\textbf{??}) \leqslant M \cdot \sum |Q_i| \leqslant M \cdot \frac{1}{n}.$$

Ale

$$\overline{S}(f,\Pi_2) - \underline{S}(f,\Pi_2) = \sum_{R_j \in \Pi_2} (\sup_{x\in R_j} f - \inf_{x \in R_j} f)|R_j|$$
$$\leqslant \frac{1}{n} \sum |R_j| \leqslant \frac{1}{n}|D|.$$

Zatem

$$|\overline{S}(f,\Pi) - \underline{S}(f,\Pi) \leqslant M \cdot \frac{1}{n} + \frac{1}{n}|D| = \frac{1}{n} \cdot const.$$

czyli możemy tak zwiększyć n, że $\forall_{\varepsilon>0} \frac{1}{n} \cdot const < \varepsilon$ $\square$
Dlaczego wynika z tego prawdziwość dowodu dla całego A?
np. dla A_{2019} działa, ale co dalej. Bo A_k dla $k > n$ też spełniają warunek, że $\frac{1}{k} \cdot const < \varepsilon$, a A_j dla $j < n$ jest takie, że $A_j \subset A_n$
$\Longrightarrow$
Wiemy, że f - całkowalne, czyli

$$\forall_{\varepsilon>0} . \exists_{\Pi} |\overset{S}{(}f,\Pi) - \underset{S}{(}f,\Pi)| < \varepsilon/n.$$

(chcemy pokazać, że A_n jest zbiorem miary L. zero)

$$\Pi = \{T_i\}$$
$$\frac{\varepsilon}{n} > |\overline{S}(f,\Pi) - \underline{S}(f,\Pi)| =$$
$$\sum |\sup_{x\in T_i} f - \inf_{x\in T_i} f||T_i|(*).$$

z podziału T_i wybieram takie kostki P_i, że $|\sup_{x\in P_i} f - \inf_{x\in P_i} f \geqslant \frac{1}{n}$.
Wówczas

$$(*) \geqslant \sum_{P_i} \frac{1}{n}|P_i| = \frac{1}{n} \sum |P_i|$$

czyli $\forall_{\varepsilon>0} \frac{\varepsilon}{n} > \frac{1}{n} \sum |P_i|$, *gdzie P_i jest pokryciem A_n.*

Czyli A_n jest zbiorem miary L. zero $\square$

Przykład 30 $f(x,y) = x\sin(xy), \quad A = [0,1]\times[0,1]$
$\int_A f \overset{?}{=} \int_0^1 \varphi_1(x)dx \overset{?}{=} \int_0^1 \varphi_2(y)dy,$
gdzie $\varphi_1(x) = \int_0^1 x\sin(xy)dy$, $\varphi_2(y) = \int_0^1 x\sin(xy)dx$

$$\int_A f = \int_0^1 dx \int_0^1 dy f(x,y) \overset{?}{=} \int_0^1 dy \int_0^1 dx f(x,y).$$

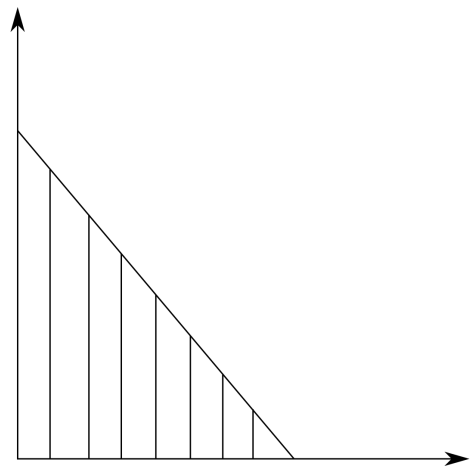

Rysunek 34: życie było by proste gdybyśmy mogli tak robić

Twierdzenie 16 *(Fubiniego)*
Niech $f : A \times B \to \mathbb{R}$. $A \subset \mathbb{R}^l, B \subset \mathbb{R}^k, A \times B \subset \mathbb{R}^n$, *$f$ - ograniczona i całkowalna na* $A \times B$. *Oznaczmy* $x^l \in A, y^k \in B$, *A, B - kostki.*
Niech

$$\varphi(x) = \overline{\int_B} f(x^l, y^k) dy^k, \psi(x) = \underline{\int_B} f(x^l, y^k) dy^k.$$

Wówczas

$$\int_{A \times B} f = \int_A \varphi = \int_A \psi.$$

Uwaga 5 *całkowalnośc na* $A \times B$ *nie oznacza całkowalności na np.* B.

Dowód 21 *Niech* $\{Q_i\} = \Pi_1$ *- podział zbioru* A, $\{R_j\} = \Pi_2$ *- podział zbioru* B.
Wówczas $\Pi_1 \times \Pi_2$ *- podział* $A \times B$.

$$\begin{aligned}
&\underline{S}(f, \Pi_1 \times \Pi_2) = \\
&= \sum_{\substack{Q_i \\ R_j}} \inf_{\substack{x \in Q_i \\ y \in R_j}} f(x,y)|Q_i||R_j| \leqslant \\
&\sum_{Q_i} \sum_{R_j} \inf_{x \in Q_i} \inf_{y \in R_j} f(x,y)|Q_i||R_j| \leqslant \\
&\leqslant \sum_{Q_i} \inf_{x \in Q_i} \underbrace{\sum_{R_j} \inf_{y \in R_j} f(x,y)|R_j|}_{\textit{suma dolna dla } \psi(x)} |Q_i| \leqslant \\
&\leqslant \sum_{Q_i} \underbrace{\inf_{x \in Q_i} \psi(x)|Q_i|}_{\textit{bo suma dolna} \leqslant \textit{całki dolnej}} = \underset{S}{(}\psi, \Pi_1).
\end{aligned}$$

Ale $\underline{\int_A}\psi(x) = \sup\limits_{\Pi}\left|\sum_{Q_i}\inf\limits_{x\in Q_i}\psi(x)|Q_i|\right|$.
Czyli $\underline{S}(f,\Pi_1\times\Pi_2) \leqslant \underline{S}(\psi,\Pi_1)$. *Analogicznie możemy pokazać, że*

$$\underline{S}(\psi,\Pi_1) \leqslant \underline{S}(\varphi,\Pi_1) \leqslant \overline{S}(\varphi,\Pi_1) \leqslant \overline{S}(f,\Pi_1\times\Pi_2).$$

Zatem

$$\underline{S}(f,\Pi_1\times\Pi_2) \leqslant \underline{\underline{S}(\psi,\Pi_1)} \leqslant \overline{S}(\psi,\Pi_1) \leqslant \underline{\overline{S}(\varphi,\Pi_1)} \leqslant \overline{S}(f,\Pi_1\times\Pi_2).$$

Skoro f *- całkowalna na* $A\times B$, *to*

$$\underset{\varepsilon>0}{\forall}.\underset{\Pi}{\exists}|\overline{S}(f,\Pi)-\underline{S}(f,\Pi)|<\varepsilon.$$

Co oznacza, że $\int_A\psi$ *i* $\int_B\varphi$ *- istnieją i wynoszą* $\int_{A\times B} f$ $\square$

17 Wykład (17.05.2019)

Chcemy wygenerować wzór na zamianę zmiennych. Dawno dawno temu mogliśmy zrobić tak:

$$\int_2^4 2xe^{x^2}dx = | \, x^2 = t, 2xdx = dt \, | = \int_4^{16} e^t dt.$$

Czyli w ogólności

$$\int_{\varphi(a)}^{\varphi(b)} f(x)dx = \int_a^b f(\varphi(t))\varphi'(t)dt.$$

Jak weźmiemy całkę

$$\int f(x,y)dxdy = \int dx \int f(x,y)dy = | \, r = \sqrt{x^2+y^2}, \varphi = arctg(\frac{y}{x}) \, | = \int dr \int d\varphi f(r,\varphi)??.$$

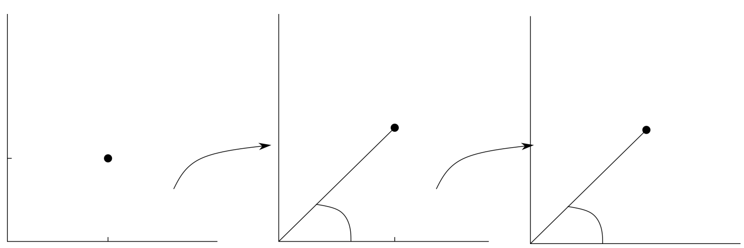

Rysunek 35: zmieniamy zmienne pojedynczo a nie jednocześnie $(x,y) \to (x,\varphi) \to (r,\varphi)$

$$\int dx \int dy f(x,y) = \|y = x \operatorname{tg}\varphi, dy = \frac{x}{\cos^2\varphi}d\varphi\| = \int dx \int \frac{x}{\cos^2\varphi}\varphi f(x, y(x,\varphi)) =$$
$$= \|x = r\cos\varphi, dx = dr\cos\varphi\| = \int d\varphi \int \frac{dr\cos\varphi r\cos\varphi}{\cos^2\varphi} f(x(r,\varphi), y(x(r,\varphi))) =$$
$$= \int d\varphi \int dr f(r,\varphi)r, \text{ czyli } ”??” = r.$$

To teraz w drugą stronę. $(y \to r)$, $(\ x \to \varphi \ )$

$$\int\int f(x,y)dxdy = \|y = \sqrt{r^2-x^2}, dy = \frac{2rdr}{2\sqrt{r^2-x^2}}\| =$$
$$= \int dx \int \frac{rdr}{\sqrt{r^2-x^2}} f(x, y(x,r)) = \|x = r\cos\varphi, dx = -r\sin\varphi d\varphi\| =$$
$$= -\int dr \int \frac{r\sin\varphi d\varphi r}{\sqrt{r^2-x^2}} f(x(r,\varphi), y(x(r,\varphi), r)) =$$
$$= -\int dr r^2 \int d\varphi \frac{\sin\varphi f(r,\varphi)}{\sqrt{r^2-r^2\cos^2\varphi}} = -\int dr \int d\varphi f(r,\varphi)r.$$

Dostaliśmy prawie to co trzeba (r). Tylko wpadł jakiś dziwny minus. Podobno minus zniknie gdy doprowadzimy do porządku granice zmiennej φ, bo $x = r\cos\varphi$ a cos jest malejący w tym przedziale. (tablica dalej nie działa - minęły 3 miesiące - z marsa by już doszła więc wysyłają pewnie z Saturna - MK™)

Niech $\psi \begin{bmatrix} r \\ \varphi \end{bmatrix} \to \begin{bmatrix} r\cos\varphi \\ r\sin\varphi \end{bmatrix}$.

$$\psi' = \begin{bmatrix} \cos\varphi & -r\sin\varphi \\ \sin\varphi & r\cos\varphi \end{bmatrix}$$
$$\|\psi'\| = r\cos^2\varphi - (-r\sin^2\varphi) = r.$$

Chcemy pokazać, że jeżeli $\varphi : A \to A$, $A \subset \mathbb{R}^n$, φ - klasy $\mathcal{C}^1, \varphi^{-1}$ - klasy $\mathcal{C}^1$, to możemy przedstawić φ jako złożenie dwóch transformacji, z których pierwsza nie zmienia $n-1$ zmiennych a druga nie zmienia 1 zmiennej (transformacje pierwotne/prymitywne albo inne ubogacające nazwy).

Dowód 22 *(coś w rodzaju dowodu)*
φ możemy przedstawić jako

$$\varphi \begin{bmatrix} t_1 \\ \vdots \\ t_n \end{bmatrix} \to \begin{bmatrix} \varphi_1(t_1, \ldots, t_n) \\ \vdots \\ \varphi_n(t_1, \ldots, t_n) \end{bmatrix} = \begin{bmatrix} x_1 \\ \vdots \\ x_n \end{bmatrix}.$$

Pytanie 18 *Czy istnieje odwzorowanie $\Theta^{-1} : A \to A$ takie, że*

$$\Theta = \begin{bmatrix} t_1 \\ \vdots \\ t_n \end{bmatrix} = \begin{bmatrix} t_1 \\ \vdots \\ t_{j-1} \\ \varphi_j(t_1, \ldots, t_n) \\ t_{j+1} \\ \vdots \\ t_n \end{bmatrix} = \begin{bmatrix} x_1 \\ \vdots \\ x_{j-1} \\ x_j \\ x_{j+1} \\ \vdots \\ x_n \end{bmatrix}.$$

($t_{i\neq j}$) mogą zostać zamiast zamieniać je na x_i. Dlaczego interesuje nas czy istnieje funkcja odwrotna? Bo jeżeli istnieje, to możemy zapisać

$$\varphi = \varphi \circ \Theta^{-1} \circ \Theta = \left(\varphi \circ \Theta^{-1}\right) \circ \Theta.$$

Wiemy, że φ - klasy $\mathcal{C}^1$ i φ^{-1} - klasy $\mathcal{C}^1$ i $\varphi : A \to A$. Mamy twierdzenie o lokalnej odwracalności!
$det\varphi' \neq 0$, czyli w macierzy φ' istnieje prznajmniej 1 element niezerowy. (w rzeczywistości to zawsze będzie trochę więcej - nieśmiały warunek)

np. $\frac{\partial\varphi^i}{\partial t^i} \neq 0$. *Oznacza to, że odwzorowanie*

$$\eta : \begin{bmatrix} t_1 \\ t_2 \\ \vdots \\ t_{i-1} \\ t_i \\ t_{i+1} \\ \vdots \\ t_n \end{bmatrix} \to \begin{bmatrix} x_1 \\ x_2 \\ \vdots \\ x_{j-1} \\ x_j = \varphi^i(t_1, \ldots, t_n) \\ \vdots \\ x_n \end{bmatrix}.$$

Wtedy

$$\eta' = \begin{bmatrix} 1 & & & & \\ & 1 & & & \\ \ldots & \ldots & \frac{\partial\varphi^i}{\partial x^i} & \ldots & \ldots \\ & & & 1 & \\ & & & & 1 \end{bmatrix}.$$

i $\det \eta' \neq 0$, *więc istnieje* η^{-1}.
Czyli $\varphi = \varphi \circ \eta \circ \eta^{-1} = (\varphi \circ \eta) \circ \eta^{-1}$ $\square$

$$\int_{-1}^{1} dx \int_{-\sqrt{1-x^2}}^{\sqrt{1-x^2}} dy f(x,y) = \int_0^1 r dr \int_0^{2\pi} d\varphi f(r,\varphi) \tag{28}$$

Twierdzenie 17 *(O zamianie zmiennych)*
Niech Θ, Ω *- zbiory otwarte w* $\mathbb{R}^n$ *i* $\xi : \Omega \to \Theta$, $f : \Theta \to \mathbb{R}$, f *- ograniczona i całkowalna.* ξ *- klasy* $\mathcal{C}^1$ *na* Ω, ξ^{-1} *klasy* $\mathcal{C}^1$ *na* Θ. *Wtedy*

$$\int_\Theta f(x)dx = \int_\Omega f(\xi(t))|\det \xi'(t)|dt. \tag{29}$$

$x = (x^1, \ldots, x^n) \in \Theta, t = (t^1, \ldots, t^n) \in \Omega$

Dowód 23 *(przez indukcję względem wymiaru przestrzeni)*

- *dla* $n = 1$ *- zrobione w I semetrze.*
- *zakładamy, że prawdziwy jest napis*

$$\int_{A' \subset \mathbb{R}^{n-1}} f(x)dx = \int_{\Omega' \subset \mathbb{R}^{n-1}} f(\xi(t))|det(\xi'(t))|, (\xi : \mathbb{R}^{n-1} \to \mathbb{R}^{n-1}).$$

Chcem pokazać, że prawdziwy jest napis

$$\int_{A \subset \mathbb{R}} f(x)dx = \int_{\Omega \subset \mathbb{R}^n} f(\xi(t))|det(\xi'(t))|.$$

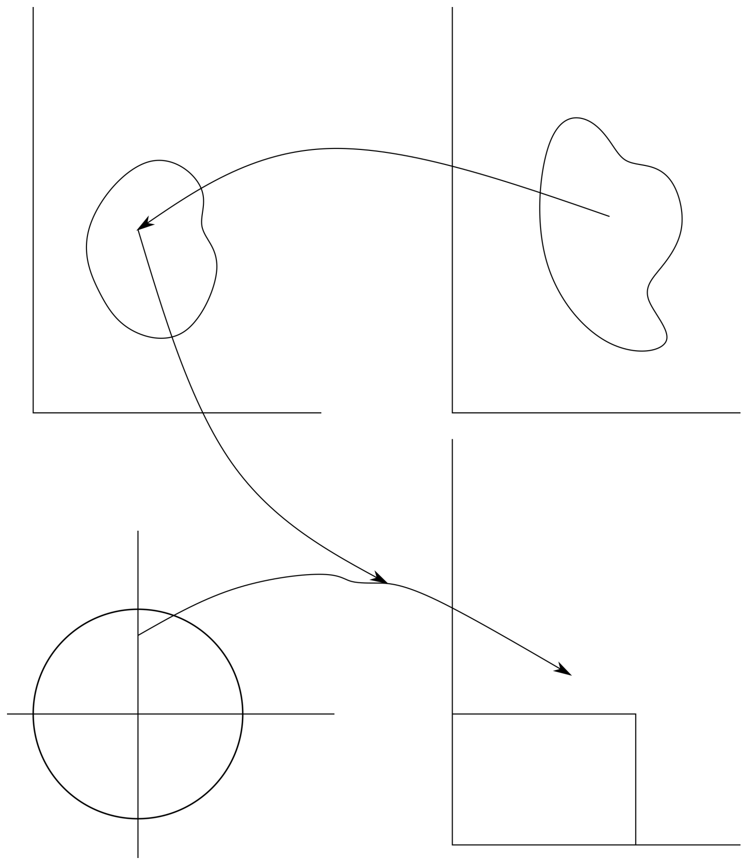

Rysunek 36: $\Omega \to \Theta - f - \mathbb{R}$

Uwaga: wartośc bezwzględna oznacza, że musimy uważać przy rozstawianiu granic:
$\left(\int_a^b f\right)$ *oznacza, że zakładamy, że* $a \leqslant b$*. Dowód przeprowadzamy dla* $\xi : \Theta \subset \mathbb{R}^n \to \Omega \subset \mathbb{R}^n$ *takiego, że* ξ *nie zamienia jednej zmiennej.*

Obserwacja 11 *Niech* $K = \left\{(x, y), x^2 + y^2 \leqslant 1\right\}$*, niech* $K_a = \left\{(x, a), x^2 + a^2 \leqslant 1\right\}$.
Wówczas $K = \bigcup_{a \in [-1,1]} K_a$*, zatem* $\int_K f = \int_{-1}^1 da \int_{K_a} f$

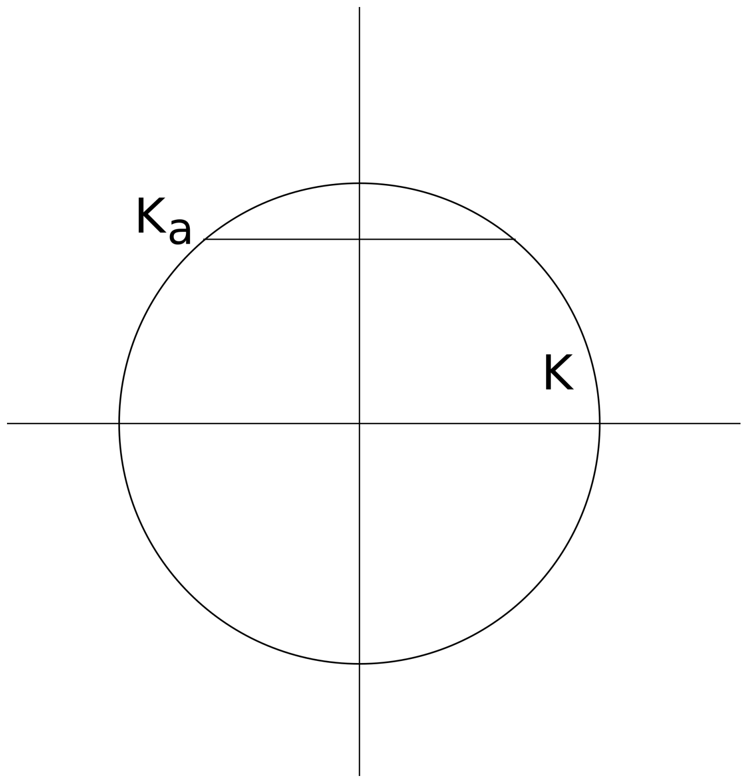

18 Wykład (21.05.2019)

Ostatnio skończyliśmy na kroku $n-1 \to n$ i wiemy, że dla $n-1$ wymiarów możemy napisać $\int_{A\in\mathbb{R}^{n-1}} f(x)dx = \int_{B\in\mathbb{R}^{n-1}} f(\xi(t))|\det \xi'|dt$

$$\int_\Theta f dx = \int_\Omega f(\xi(t))|\det \xi'|dt.$$

Mając zbiór Θ, zdefiniujmy zbiór Θ_a, który jest zbiorem takich $x \in \Theta$, że na miejsca x_i wstawimy wielkość a.

$$\Theta_a = \left\{x \in \mathbb{Q}, x = \left(x^1, x^2, \dots, x^{i-1}, a, x^{i+1}, \dots, x^n\right)\right\}.$$

$$K = \left\{(x,y), x^2+y^2=1\right\}.$$

$$K_a = \{(x,y) \in K, (x,y) = (x,a)\}, \left\{(x,a), x^2+a^2=1\right\}.$$

Oznacza to, że

$$\int_\Theta f dx = \int da \int_{\Theta_a} f(x^1, x^2, \dots, x^{i-1}, a, x^{i+1}, \dots, x^n) dx^1 dx^2 \dots dx^{i-1} dx^{i+1} \dots dx^n.$$

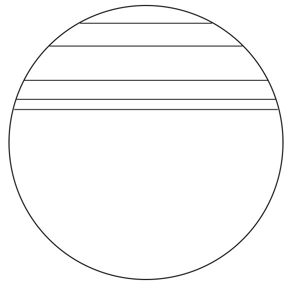

Rysunek 37: Kółko K składamy z kresek K_a i mamy $\int_K f = \int da \int_{K_a} f$

Rozważmy $\xi : \Theta \to \Omega$ taką, że

$$\begin{bmatrix} t_1 \\ \vdots \\ t_n \end{bmatrix} \to \begin{bmatrix} \xi_1(t_1, \dots, t_n) \\ \xi_2(t_1, \dots, t_n) \\ \vdots \\ \xi_{i-1} \\ t_1 \\ \xi_{i+1} \\ \vdots \\ \xi_n(t_1, \dots, t_n) \end{bmatrix} \begin{bmatrix} x^1 \\ x^1 \\ \vdots \\ x^i \\ \vdots \\ x^n \end{bmatrix}.$$

(Czyli ξ nie zmienia jednej współrzędnej np. $\begin{bmatrix} x \\ y \end{bmatrix} \to \begin{bmatrix} r \\ x \end{bmatrix}$).
Możemy więc zapisać transformację $\xi_a : \Theta_a \to \Omega_a$

$$\begin{bmatrix} t_1 \\ \vdots \\ t_{i-1} \\ t_{i+1} \\ \vdots \\ t_n \end{bmatrix} \to \begin{bmatrix} \xi_1(t_1, \dots, t_n) \\ \xi_2(t_1, \dots, t_n) \\ \vdots \\ \xi_{i-1}(\dots) \\ \xi_{i+1}(\dots) \\ \vdots \\ \xi_n(t_1, \dots, t_n) \end{bmatrix}.$$

Wówczas na mocy założenia indukcyjnego wiemy, że

$$\int_{\Theta_a} f(x^1, \dots, x^{i-1}, a, x^{i+1}, \dots, x^n) dx^1 \dots dx^{i-1} dx^{i+1} \dots dx^n =$$
$$\int_{\Omega_a} f(t_1, t_2, \dots, t_{i-1}, a, t_{i+1}, \dots, t_n) |\det \xi_a'| dt^1 dt_2 \dots dt^{i-1} dt^{i+1} \dots dt^n.$$

Wówczas

$$\int_\Theta f(x^1,\ldots,x^n)dx^n = \int_a da \int_{\Omega_a} f(t_1,\ldots,t_{i-1},a,t_{i+1},\ldots,t_n)|\det \xi_a'|\cdot(\pm 1)dt^1\ldots dt^{i-1}dt^{i+1}\ldots dt^n$$
$$= \big[a = t_i\big] =$$
$$= \int_\Omega f(t^1,t^2,\ldots,t^n)|\det \xi'|dt^1\ldots dt^n \quad \square.$$

$$\xi' = \begin{bmatrix} \frac{\partial \xi_1}{\partial t_1} & \frac{\partial \xi_2}{\partial t_2} & \ldots & & \frac{\partial \xi_n}{\partial t_n} \\ 0 & \ldots & 1 & \ldots & 0 \\ \frac{\partial \xi_n}{\partial t_1} & \ldots & & & \frac{\partial \xi_n}{\partial t_n} \end{bmatrix}.$$

Przykład 31 *Policzmy całkę $I = \int_0^\infty e^{-x^2}dx$. Nie umiemy. Ale skoro nie umiemy policzyć I, to tym bardziej I^2?*

$$I^2 = \int_0^\infty e^{-x^2}dx \int_0^\infty e^{-y^2}dy = \int_\square e^{-(x^2+y^2)}.$$

Zamieńmy sobie zmienne: $x = r\cos\varphi, \quad y = r\sin\varphi$. $\psi : \begin{bmatrix} r \\ \varphi \end{bmatrix} \to \begin{bmatrix} x \\ y \end{bmatrix}$, $|\psi'| = r$
Mamy

$$I^2 = \int_0^\infty dr \int_0^{\frac{\pi}{2}} d\varphi e^{-r^2} r = \frac{\pi}{2}\lim_{p\to+\infty}\int_0^p dr\cdot e^{-r^2}\cdot r = \frac{\pi}{2}\lim_{p\to\infty}\left[-\frac{1}{2}e^{-r^2}\right]_0^p$$
$$\frac{\pi}{2}\left[\lim_{p\to\infty}\left[-\frac{1}{2}e^{-p^2}\right] - \left[-\frac{1}{2}e^{(0)^2}\right]\right] = \frac{\pi}{2}\frac{1}{2} = \frac{\pi}{4}$$

czyli $I^2 = \frac{\pi}{4} \implies I = \frac{\sqrt{\pi}}{2}$

18.1 Formy różniczkowe

(czyli o uprawianiu analizy na powierzchni balonika albo kartki)

Niech $M \subset \mathbb{R}^n$ - taki, że dla każdego punktu $p \in M$ istnieje otoczenie otwarte $U \subset M$

Przykład 32 *(sfera, obwarzanek, itd., okrąg), (stożek - nie ok!), (taka ósemka co się przecina - też nie) TODO: obrazki*

Definicja 16 *Niech U - zbiór otwarty $\subset M$ i niech odwzorowanie $\varphi : U \to \mathbb{R}^n$ takie, że φ - klasy $\mathcal{C}^1$, (czasami $\mathcal{C}^\infty$), φ^{-1} - klasy $\mathcal{C}^1$, (czasami $\mathcal{C}^\infty$) nazywamy mapą.*
Uwaga: mapa nie musi pokrywać całego zbioru M.

Wyobraźmy sobie, że mamy jakiś zbiór M. Połowa tego zbioru to niech będzie U_1, i ono się przecina z U_2. U_1 i U_2 możemy rozłożyć na prostokąty w $\mathbb{R}^2$. Co się stanie z punktami mapowanymi do obu U?

Definicja 17 *$(U^1, \varphi^1), (U^2, \varphi^2)$ - mapy na M.*
U_1 i U_2 nazywamy zgodnymi jeżeli
a) $U_1 \cap U_2 = \phi$
albo odwzorowanie $\varphi_2 \circ \varphi_1^{-1} : \varphi_1(U_1 \cap U_2) \to \varphi_2(U_2 \cap U_1)$ jest bijekcją (klasy powiedzmy sobie $\mathcal{C}^1, \mathcal{C}^\infty$)

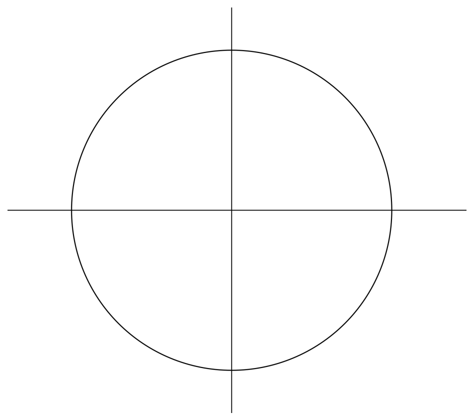

Rysunek 38: $M = \left\{(x, y) : x^2 + y^2 = 1^2\right\}$

Przykład 33

$$\begin{aligned} U_1 &= \{(x, y) \in M, y > 0\}, \quad \varphi_1 : (x, y) \in U_1 \to x \\ U_2 &= \{(x, y) \in M, x > 0\}, \quad \varphi_2 : (x, y) \in U_2 \to y \\ U_3 &= \{(x, y) \in M, y < 0\}, \quad \varphi_3 : (x, y) \in U_3 \to x \\ U_4 &= \{(x, y) \in M, x < 0\}, \quad \varphi_4 : (x, y) \in U_4 \to y. \end{aligned}$$

U_1 i U_3 oraz U_2 i U_4 są zgodne. Czy zgodne są U_1 i U_2? Czyli chcemy zbadać odwzorowanie $\varphi_1(U_1 \cap U_2) \to \varphi_2(U_1 \cap U_2)$, ale $\varphi_1(x, y) \in U_1 \to x$.
Czyli $\varphi_1^{-1}(x) \to \left(x, \sqrt{1 - x^2}\right)$,
czyli $\varphi_2(\varphi_1^{-1}(x) = \varphi_2((x, \sqrt{1 - x^2})) = \sqrt{1 - x^2}$.
Zatem czy $\varphi_2 \circ \varphi_1^{-1}(x) = \sqrt{1 - x^2}$ przerzuca $]0, 1[\to]0, 1[$ jest różniczkowalne?
Odpowiedź: na zbiorze $]0, 1[$ jest.

Definicja 18 *Kolekcję zgodnych map nazywamy atlasem. Zbiór M wraz z atlasem, który pokrywa cały M nazywamy **rozmaitością** (ang. manifold).*

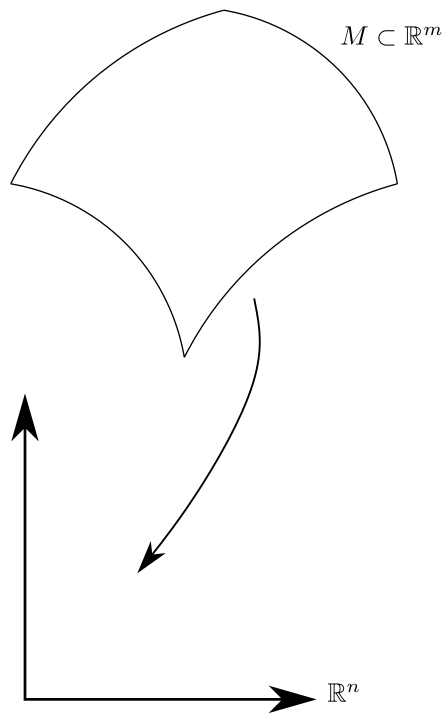

Rysunek 39: Wymiar pączka może być większy! $m > n$

19 Wykład (24.05.2019)

Chcemy powiedzieć co to są wektory w takim świecie? Zaczniemy rysować krzywą po powierzchni.

Niech M - rozmaitość. Odwzorowanie $\sigma :]-\varepsilon, \varepsilon[\subset \mathbb{R} \to \sigma(t) \in M$ nazywamy krzywą na M. σ jest klasy $\mathcal{C}^\infty$

Przykład 34 *(spirala na walcu)*

$$\sigma :]-\varepsilon, \varepsilon[\to \begin{bmatrix} \cos(t) \\ \sin(t) \\ t \end{bmatrix}.$$

Definicja 19 *Niech $p \in M$, σ_1, σ_2 - krzywe na M takie, że $\sigma_1(0) =$*

$\sigma_2(0) = P$. *Mówimy, że σ_1 i σ_2 są styczne w punkcie P, jeżeli*

$$\left.\frac{d(\varphi_0 \cdot \sigma_1(t))}{dt}\right|_{t=0} = \left.\frac{d(\varphi_0 \cdot \sigma_2(t))}{dt}\right|_{t=0}.$$

Rozważmy wszystkie krzywe przechodzące przez punkt $P \in M$. Na tym zbiorze wprowadzamy relację: $\sigma_1 \sim \sigma_2$ jeżeli σ_1 i σ_2 są styczne. Jeżeli σ krzywa przechodząca przez punkt P, to wektorem stycznym zaczepionym w punkcie P nazwiemy $v = \underset{\substack{\text{klasa}\\ \text{równoważności}}}{[\sigma]}$

Przykład 35 *Weźmy krzywą* $\sigma(t) = \begin{bmatrix} \cos(t) \\ \sin(t) \\ t \end{bmatrix}, p = \begin{bmatrix} 1 \\ 0 \\ 0 \end{bmatrix}$.

$$\sigma'(t) = \begin{bmatrix} -\sin(t) \\ \cos(t) \\ 1 \end{bmatrix}, \sigma'(0) = \begin{bmatrix} 0 \\ 1 \\ 1 \end{bmatrix}.$$

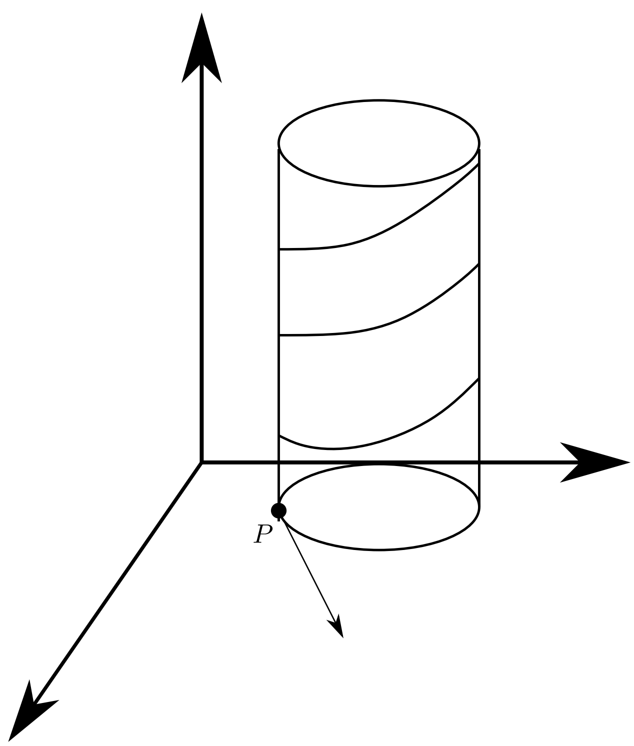

Przykład 36 *Niech* $f(p) = C \underset{p \in M}{\forall}$. *Ile wynosi* $v(f)$?

$$\begin{aligned} v(f) &= v(c) = v(c \cdot 1) = c \cdot v(1) = \\ &= c \cdot v(1 \cdot 1) = c \cdot (1 \cdot v(1) + 1v(1)) = \\ &= c \cdot 2v(1) = 2v(c) = 2v(f). \end{aligned}$$

Czyli $v(f) = 2v(f)$, *czyli* $v(f) = 0$ *(pochodna stałej* $= 0$ *)*

Każdy operator, który to umie to różniczkowanie.

Pytanie 19 *Jak można w praktyce zrealizować taki operator?*
Niech $v \in T_pM, v = [\sigma]$

$$v(f) = \frac{d}{dt} f(\sigma(t))|_{t=0}.$$

> **Definicja 20** *Zbiór wszystkich różniczkowań w punkcie* P *oznaczamy przez* D_pM

Chcemy nadać D_pM strukturę przestrzeni wektorowej.

$$\begin{aligned} &v_1, v_2 \in D_pM, f \in \mathcal{C}^\infty(M) \implies (v_1 \diamond v_2)f \stackrel{\text{def}}{=} v_1(f) + v_2(f) \\ &\underset{\alpha \in \mathbb{R}}{\forall} (\alpha \bowtie v_1)f = \alpha \cdot v_1(f) \end{aligned}$$

.

Pytanie 20 *Co to znaczy, że* f *- klasy* $C^\infty(M)$*?*

Jeżeli $\psi \circ f \circ \varphi^{-1}$ - jest klasy $\mathcal{C}^\infty$.
Związek między T_pM, a D_pM :
Niech $v = 5e_x + 6e_y \in T_pM$. Czy znajdziemy odwzorowanie z T_pM do D_pM, (które dokładnie jednemu v przyporządkowałoby jeden element).$\rightarrow$ izomorfizm między T_pM i D_pM.

19.1 asdasdasd

Zbiór wszystkich wektorów stycznych zaczepionych w punkcie $p \in M$ oznaczamy przez T_pM i nazywamy przestrzenią styczną. (Uwaga: warunek (*) nie zależy od wyboru mapy).

Chcemy wyposażyć T_pM w strukturę przestrzeni wektorowej. Potrzebujemy działań.
Niech $v_1, v_2 \in T_pM$ i $v_1 = [\sigma_1], v_2 = [\sigma_2]$. Wówczas

$$\begin{aligned} v_1 \diamond v_2 &\stackrel{\text{def}}{=} \left[\varphi^{-1}(\varphi(\sigma_1)) + \varphi(\sigma_2)\right] \\ \underset{\alpha \in \mathbb{R}}{\forall} \alpha \cdot v_1 &\stackrel{\text{def}}{=} \left[\varphi^{-1}(\alpha \cdot \varphi(\sigma_1)\right]. \end{aligned}$$

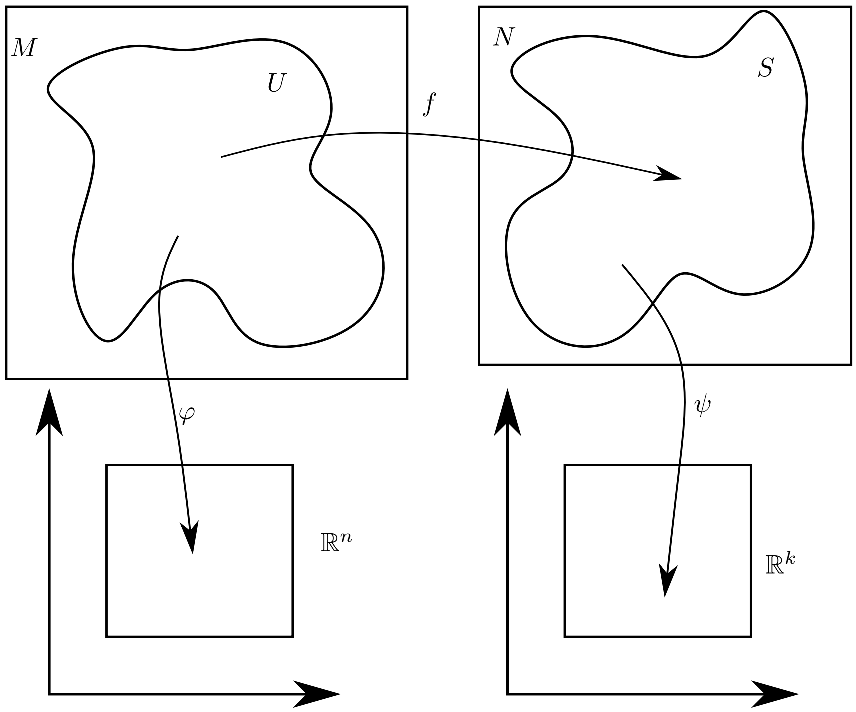

Rysunek 40: f nie musi być bijekcją jakby co

T_pM wraz z działaniami $(\diamond, \cdot\ )$ ma strukturę przestrzeni wektorowej. Zbiór

$$TM \stackrel{\text{def}}{=} \{p \in M, T_pM\}$$

nazywamy wiązką styczną.

Pytanie 21 *Czy w TM możemy zadać strukturę przestrzeni wektorowej?*
Odpowiedź: NIE DA SIĘ

19.2 Przestrzeń różniczkowa

Niech $f : M \to \mathbb{R}$, f - klasy $\mathcal{C}^\infty(M)$
niech $v\,() : \mathcal{C}^\infty(M) \to \mathbb{R}$, takie, że

$$\underset{f,g\in\mathcal{C}^\infty(M)}{\forall} v(f\cdot g) = v(f) + v(g)$$

$$\underset{\alpha\in\mathbb{R}}{\forall}\underset{f\in\mathcal{C}^\infty(M)}{\forall} v(\alpha f) = \alpha v(f)$$

$$\underset{f,g\in\mathcal{C}^\infty(M)}{\forall} v(f\cdot g) = f(p)\cdot v(g) + g(p)v(f).$$

$v()$ spełniający te warunki nazywamy różniczkowaniem w punkcie p.

20 Wykład (28.05.2019)

Widzimy, że ten obrazek, który nam się jawi jest w miarę rozbudowany. Ostatnio wprowadziliśmy na baloniku układ współrzędnych.

$$
\begin{aligned}
& v=[\sigma], v\in T_pM, v\,() \in D_pM \\
& v(f)=\frac{d}{dt}f(\sigma(t))|_{t=0} \\
& v\,() = ?\cdot ? + ?\cdot ? + ?\cdot ? = \frac{d}{dt}(f\circ\varphi^{-1}\circ\varphi\circ\sigma(t))|_{t=0} = \\
& = \frac{d}{dt}(\tilde{f}\circ\varphi(\sigma(t)))|_{t=0} = \frac{d}{dt}(\tilde{f}(\varphi^1(\sigma(t)),\varphi^2(\sigma(t)),\ldots,\varphi^n(\sigma(t))))|_{t=0} = \\
& = \frac{\partial\tilde{f}}{\partial x^1}\frac{\partial\varphi^1(\sigma(t))}{\partial t}+\ldots+\frac{\partial\tilde{f}}{\partial x^n}\frac{\partial\varphi^n(\sigma(t))}{\partial t}.
\end{aligned}
$$

Czyli jeżeli $v\in T_pM$ i $v\in[\sigma]$, to wiemy, że

$$
\begin{aligned}
v &= \frac{\partial\varphi^1(\sigma(t))}{\partial t}|_{t=0}e_1+\frac{\partial\varphi^2(\sigma(t))}{\partial t}|_{t=0}e_2+\ldots+\frac{\partial\varphi^n(\sigma(t))}{\partial t}|_{t=0}e_n = \\
&= \xi^1e_1+\xi^2e_2+\ldots+\xi^ne_n = \\
&= \xi_1\frac{\partial\tilde{f}}{\partial x^1}+\xi_2\frac{\partial\tilde{f}}{\partial x^2}+\ldots+\xi_n\frac{\partial\tilde{f}}{\partial x^n} = v(f).
\end{aligned}
$$

Zatem

$$v\,() = \xi_1\frac{\partial}{\partial x^1}+\xi_2\frac{\partial}{\partial x^2}+\ldots+\xi_n\frac{\partial}{\partial x^n}.$$

Przykład 37 *Więc niech* $v=2e_x+3e_y\to v\,()=2\cdot\frac{\partial}{\partial x}+3\cdot\frac{\partial}{\partial y}$.

Wniosek: mając izomorfizm między T_pM i D_pM możemy zapisać bazy:

$$T_pM=\langle e_1,e_2,\ldots,e_n\rangle\,.$$

To wtedy

$$D_pM=\left\langle\frac{\partial}{\partial x^1},\frac{\partial}{\partial x^2},\ldots,\frac{\partial}{\partial x^n}\right\rangle.$$

np. $v=7e_r+8e_\varphi\to v\,()=7\frac{\partial}{\partial r}+8\frac{\partial}{\partial\varphi}$ (często użyjemy bazy z D_pM jako bazy T_pM).

Definicja 21 *Wektorem kostycznym (albo jednoformą) nazywamy odwzorowanie liniowe* $\omega: T_pM\to\mathbb{R}$. *Zbiór jednoform* $(p\in M)$ *oznaczamy przez* T_p^*M *(lub* $\Lambda^1(M)$, $\Lambda^1(\theta),\theta\in M$*)*

Skoro T_p^*M jest dualna do T_pM, to ma ten sam wymiar i możemy wprowadzić bazę dualną. $T_p^*M=\langle dx^1,dx^2,\ldots,dx^n\rangle$, gdzie $\left\langle dx^i,\frac{\partial}{\partial x^i}\right\rangle=\delta^i_j$

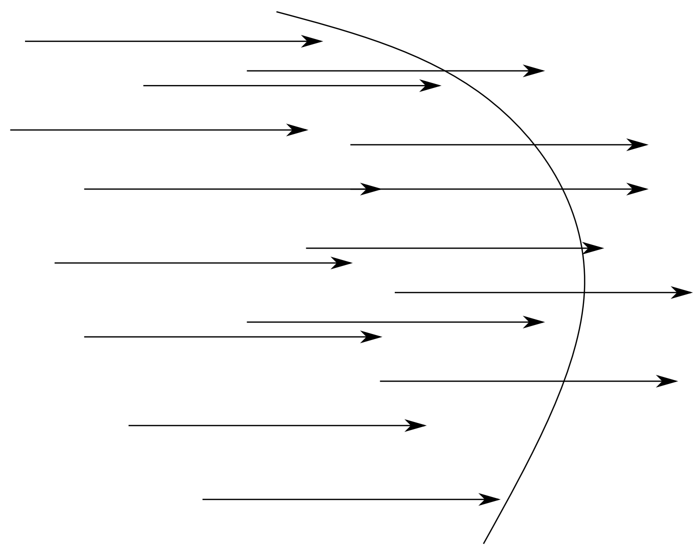

Rysunek 41: Strumień przez balonik

Przykład 38 *Niech* $\Lambda^1(M) \to \omega = 7dx + 3dy, v \in T_pM = 2\frac{\partial}{\partial x} + 4\frac{\partial}{\partial y}$, *wówczas*

$$\begin{aligned}
\langle \omega, v\rangle &= \left\langle 7dx + 3dy, 2\frac{\partial}{\partial x} + 4\frac{\partial}{\partial y}\right\rangle = \\
&= \left\langle 7dx, 2\frac{\partial}{\partial x} + 4\frac{\partial}{\partial y}\right\rangle + 3\left\langle dy, 2\frac{\partial}{\partial x} + 4\frac{\partial}{\partial y}\right\rangle = \\
&= 7\cdot 2\left\langle dx, \frac{\partial}{\partial x}\right\rangle + 7\cdot 4\left\langle dx, \frac{\partial}{\partial y}\right\rangle + 3\cdot 2\left\langle dy, \frac{\partial}{\partial x}\right\rangle + 3\cdot 4\left\langle dy, \frac{\partial}{\partial y}\right\rangle \\
&= 7\cdot 2 + 3\cdot 4.
\end{aligned}$$

Przykład 39

$$\begin{aligned}
v &= A^x\frac{\partial}{\partial x} + A^y\frac{\partial}{\partial y} + A^z\frac{\partial}{\partial z}, \omega = B_x dx + B_y dy + B_z dz = \\
&= \langle \omega, v\rangle = A^x B_x + A^y B_y + A^z B_z.
\end{aligned}$$

Definicja 22 *Zbiór wszystkich odwzorowań* $T_pM \times \ldots \times T_pM \to \mathbb{R}$ *k - liniowych w każdej zmiennej i antysymetrycznych oznaczamy przez* $\Lambda^k(M)$ *i nazywamy k-formami.*

Wersja 1:
Niech $\alpha \in T_p^*M, \beta \in T_p^*M (\alpha \in \Lambda_p^1 M, \beta \in \Lambda_p^1 M)$.

Odwzorowanie $\wedge : T_p^*M \times T_p^*M \to \Lambda^2(\theta), \theta \in M$ nazywamy iloczynem zewnętrznym i definiujemy tak:

$$\langle \alpha \wedge \beta; v, w\rangle \stackrel{\text{def}}{=} \begin{vmatrix} \alpha(v) & \beta(v) \\ \alpha(w) & \beta(w) \end{vmatrix}.$$

Przykład 40 *Niech* $\alpha = 7dx+4dy, \beta = 2dx+3dy, v = 1\frac{\partial}{\partial x}+4\frac{\partial}{\partial y}, w = 2\frac{\partial}{\partial x}+\frac{\partial}{\partial y}$ *Wtedy*

$$\langle \alpha \wedge \beta; v, w\rangle = \begin{vmatrix} \alpha(v) & \beta(v) \\ \alpha(w) & \beta(w) \end{vmatrix} = \begin{vmatrix} 7\cdot 1+4\cdot 4 & 2\cdot 1+3\cdot 4 \\ 7\cdot 2+4 & 2\cdot 2+3 \end{vmatrix}.$$

Obserwacja: $\alpha \wedge \beta = -\beta \wedge \alpha$. Tzn. $\alpha \wedge \alpha = 0$. Ważny przykład:

Przykład 41

$$\begin{aligned}
&\alpha = A_x dx + A_y dy + A_z dz, \beta = B_x dx + B_y dy + B_z dz \\
&\alpha \wedge \beta = (A_x dx + A_y dy + A_z dz) \wedge (B_x dx + B_y dy + B_z dz) = \\
&= (A_x dx + A_y dy + A_z dz) \wedge B_x dx + (A_x dx + A_y dy + A_z dz) \wedge B_y dy + \\
&+ (A_x dx + A_y dy + A_z dz) \wedge B_z dz = A_y B_x dy \wedge dx + A_z B_x dz \wedge dx + \\
&+ A_x B_y dx \wedge dy + A_z B_y dz \wedge dy + A_x B_z dx \wedge dz + A_y B_z dy \wedge dz = \\
&= (A_x B_y - A_y B_x)\, dx \wedge dy + (A_y B_z - A_z B_y)\, dy \wedge dz + (A_z B_x - A_x B_z)\, dz \wedge dx
\end{aligned}$$

.

Potrzebujemy jeszcze jednego klocka, żeby zobaczyć gdzie tu siedzi fizyka.

Definicja 23 *Odwzorowanie* $d : \Lambda^k(M) \to \Lambda^{k+1}(M)$ *nazywamy różniczką zewnętrzną (ewentualnie pochodną zewnętrzną) i definiujemy następująco:*

$$\begin{aligned}
&df = \frac{\partial f}{\partial x^1}dx^1 + \frac{\partial f}{\partial x^2}dx^2 + \ldots + \frac{\partial f}{\partial x^n}dx^n, f : \theta \to \mathbb{R} \\
&(\textit{funkcje nazywamy zero-formami } f \in Lambda^0(\theta)) \\
&\omega \in \Lambda^p(\theta), \eta \in \Lambda^L(\theta) \implies d(\omega \wedge \eta) = d\omega \wedge \eta + (-1)^p \omega \wedge d\eta \\
&dd\omega = 0, \omega \in \Lambda^k(\theta).
\end{aligned}$$

Przykład 42 $f(r, \theta, \varphi)$ *- funkcja z* $\mathbb{R}^3$ *w* $\mathbb{R}^1$.

$$\begin{aligned}
&df = \frac{\partial f}{\partial r}dr + \frac{\partial f}{\partial \theta}d\theta + \frac{\partial f}{\partial \varphi}d\varphi \\
&\alpha = 7x^2 y dx \\
&d\alpha = d(7x^2y) \wedge dx = \left(\frac{\partial}{\partial x}(7x^2y)dx + \frac{\partial}{\partial y}(7x^2y)dy\right) \wedge dx = 7x^2 dy \wedge dx.
\end{aligned}$$

Przykład 43 *Niech* $F = -E_x dt \wedge dx - E_x dt \wedge dy - E_z dt \wedge dz + B_x dy \wedge dz + B_y dz \wedge dx + B_z dx \wedge dy$

$$\begin{aligned}
dF = &\left(-\frac{\partial E_x}{\partial y}dy - \frac{\partial E_x}{\partial z}dz\right) \wedge dt \wedge dx + \\
+ &\left(-\frac{\partial E_y}{\partial x}dx - \frac{\partial E_y}{\partial z}dz\right) \wedge dt \wedge dy + \\
+ &\left(-\frac{\partial E_z}{\partial x}dx - \frac{\partial E_z}{\partial y}dy\right) \wedge dt \wedge dz + \\
+ &\left(\frac{\partial B_x}{\partial t}dt + \frac{\partial B_x}{\partial x}dx\right) \wedge dy \wedge dz + \\
+ &\left(\frac{\partial B_y}{\partial t}dt + \frac{\partial B_y}{\partial y}dy\right) \wedge dz \wedge dx + \\
+ &\left(\frac{\partial B_z}{\partial t}dt + \frac{\partial B_z}{\partial z}dz\right) \wedge dx \wedge dy = \\
= &\underbrace{\left(-\frac{\partial E_x}{\partial y} + \frac{\partial E_y}{\partial x} + \frac{\partial B_z}{\partial t}\right)} dt \wedge dx \wedge dy + \\
+ &\underbrace{\left(-\frac{\partial E_y}{\partial z} + \frac{\partial E_z}{\partial y} + \frac{\partial B_x}{\partial t}\right)} dt \wedge dy \wedge dz + \\
+ &\underbrace{\left(-\frac{\partial E_x}{\partial z} + \frac{\partial E_z}{\partial x} - \frac{\partial B_y}{\partial t}\right)}_{rot E - \frac{\partial B}{\partial t}} dt \wedge dx \wedge dz + \\
+ &\underbrace{\left(\frac{\partial B_x}{\partial x} + \frac{\partial B_y}{\partial y} + \frac{\partial B_z}{\partial z}\right)}_{\nabla B} dx \wedge dy \wedge dz.
\end{aligned}$$

I to są równania Maxwella (przynajmniej pierwsza ich część) $dF = 0$

21 Wykład (31.05.2019)

Definicja 24 *Niech* $\alpha_1, \alpha_2, \ldots, \alpha_k \in T_p^*M \in \Lambda'(M)$, *wówczas* $\alpha_1 \wedge \alpha_2 \wedge \ldots \wedge \alpha_k \in \Lambda^k(M)$ *i dla* $v_1, v_2, \ldots, v_k \in T_p^*M$,

$$\langle \alpha_1 \wedge \alpha_2 \wedge \ldots \wedge \alpha_k ; v_1, v_2, \ldots, v_k \rangle \stackrel{def}{=} \begin{bmatrix} \alpha_1(v_1)\alpha_2(v_1)\ldots\alpha_k(v_1) \\ \vdots \\ \alpha_1(v_k)\alpha_2(v_k)\ldots\alpha_k(v_k) \end{bmatrix}.$$

Uwagi do operatora d ($dd = 0$):
Niech $M = \mathbb{R}^3, f : \mathbb{R}^3 \to \mathbb{R}^1 \in \Lambda^0(M)$

$$\begin{aligned}
df &= \frac{\partial f}{\partial x}dx + \frac{\partial f}{\partial y}dy + \frac{\partial f}{\partial z}dz \\
ddf &= d\left(\frac{\partial f}{\partial x}\right) \wedge dx + d\left(\frac{\partial f}{\partial y}\right) \wedge dy + d\left(\frac{\partial f}{\partial z}\right) \wedge dz = \\
&= \left(\frac{\partial^2 f}{\partial x^2}dx + \frac{\partial^2 f}{\partial y \partial x}dy + \frac{\partial^2 f}{\partial z \partial x}dz\right) \wedge dx \left(\frac{\partial^2 f}{\partial x \partial z}dx + \frac{\partial^2 f}{\partial y \partial z}dy\right) \wedge dy \\
&\left(\frac{\partial^2 f}{\partial x \partial z}dx + \frac{\partial^2 f}{\partial y \partial z}dz\right) \wedge dz \\
&= \left(\frac{\partial^2 f}{\partial y \partial x} - \frac{\partial^2 f}{\partial x \partial y}\right) dy \wedge dx + \left(\frac{\partial^2 f}{\partial z \partial y} - \frac{\partial^2 f}{\partial y \partial z}\right) dz \wedge dy + \\
&= \left(\frac{\partial^2 f}{\partial z \partial x} - \frac{\partial^2 f}{\partial x \partial z}\right) dz \wedge dx = 0.
\end{aligned}$$

Niech $\alpha = A_x dx + A_y dy + A_z dz$

$$\begin{aligned}
d\alpha &= \left(\frac{\partial A_x}{\partial y} - \frac{\partial A_y}{\partial x}\right) dy \wedge dx + \left(\frac{\partial A_z}{\partial y} - \frac{\partial y}{\partial z}\right) dz \wedge dy + \\
&+ \left(\frac{\partial A_z}{\partial x} - \frac{\partial A_x}{\partial z}\right) dz \wedge dx \\
dd\alpha &= \left(\pm\left(\frac{\partial^2 A_x}{\partial z \partial y} - \frac{\partial^2 A_x}{\partial z \partial x}\right) \pm \left(\frac{\partial^2 A_z}{\partial x \partial y} - \frac{\partial^2 A_y}{\partial x \partial z}\right) \pm \left(\frac{\partial^2 A_z}{\partial y \partial x} - \frac{\partial^2 A_x}{\partial y \partial z}\right)\right) dx \wedge dy \wedge dz
\end{aligned}$$

.

$$\begin{aligned}
\beta &= A_x dy \wedge dz + A_y dx \wedge dz + A_z dy \wedge dz \\
d\beta &= ()\, dx \wedge dy \wedge dz \\
dd\beta &= 0.
\end{aligned}$$

Niech $M = \mathbb{R}^4$, $A = \phi dt + A_x dx + A_y dy + A_z dz$.

$$dA = \left(\underbrace{\frac{\partial \phi}{\partial x} - \frac{\partial A_x}{\partial t}}_{E_x}\right) dx \wedge dt + \left(\underbrace{\frac{\partial \phi}{\partial y} - \frac{\partial A_y}{\partial t}}_{E_y}\right) dy \wedge dt + \left(\underbrace{\frac{\partial \phi}{\partial z} - \frac{\partial A_z}{\partial t}}_{E_z}\right) dz \wedge dt +$$

$$\left(\underbrace{\frac{\partial A_y}{\partial x} - \frac{\partial A_x}{\partial y}}_{B_z}\right) dx \wedge dy + \left(\underbrace{\frac{\partial A_z}{\partial y} - \frac{\partial A_y}{\partial z}}_{B_x}\right) dy \wedge dz + \left(\underbrace{\frac{\partial A_x}{\partial z} - \frac{\partial A_z}{\partial x}}_{B_y}\right) dz \wedge dx$$

$ddA = 0$.

niech $dA = F$

$$dF = 0.$$

Pytanie: niech M - rozmaitość wymiaru 3 (bo mamy bijekcję między $\theta \in M$ i $\mathbb{R}^3$). Czy istnieje $\Lambda^4(M)$?

niech $M = \mathbb{R}^3$

$\Lambda^0(M)$	$f : \mathbb{R}^3 \to M$	$\dim \Lambda^1(M) = 3$
$\Lambda^1(M)$	$\alpha = A_x dx + A_y dy + A_z dz$	$\Lambda^1(\eta) = \langle dx, dy, dz \rangle$
$\Lambda^2(M)$	$\beta = A_z dx \wedge dy + A_y dz \wedge dx + A_z dy \wedge dz$	$\Lambda^2(M) = \langle dx \wedge dy, dz \wedge dx, dy \wedge dz \rangle$
$\dim(\Lambda^2(M)) = 3$		
$\Lambda^3(\eta)$	$\gamma = f dx \wedge dy \wedge dz$	$\Lambda^3(M) = \langle dx \wedge dy \wedge dz \rangle$
$\dim(\Lambda^3(M)) = 1$.		

Niech $M = \mathbb{R}^4$.

$\Lambda^0(M)$	$f(t, x, y, z) \to \mathbb{R}$	$\dim \Lambda^0(M) = 1$
$\Lambda^1(M)$	$\alpha = A_t dt + A_x dx + A_y dy + A_z dz$	$\dim \Lambda^1(M) = 4$
$\Lambda^2(M)$	$\beta = A_1 dt \wedge dx + A_2 dt \wedge dy + A_3 dt \wedge dz + B_1 dy \wedge dx + B_2 dz \wedge dx + C_1 dz \wedge dy$	$\dim \Lambda^2(M) = 6$
$\Lambda^3(M)$:	$\gamma = C_1 dy \wedge dt \wedge dx + C_2 dz \wedge dt \wedge dx + D_1 dz \wedge dt \wedge dy + E_1 dx \wedge dy \wedge dz$	$\dim \Lambda^3(M) = 4$
$\Lambda^4(M)$	$\delta = g dt \wedge dx \wedge dy \wedge dz$	$\dim \Lambda^4(M) = 1$.

21.1 Pchnięcia i cofnięcia

Niech M, N - rozmaitości $\dim M = n, \dim N = k$ i niech $h : M \to N$. (h nie musi być bijekcją !!!)

Niech $p \in M$. Pchnięciem punktu p w odwzorowaniu h nazywamy punkt $h_*(p) \stackrel{\text{def}}{=} h(p)$

Przykład 44 *Niech* $M = \mathbb{R}^2$, $N = \mathbb{R}$, $h(x, y) = x + y, h : \mathbb{R}^2 \to \mathbb{R}$.

$p = \begin{bmatrix} 1 \\ 2 \end{bmatrix}, h_*(p) = 3$

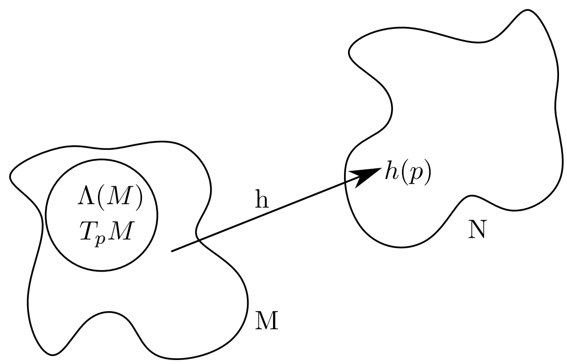

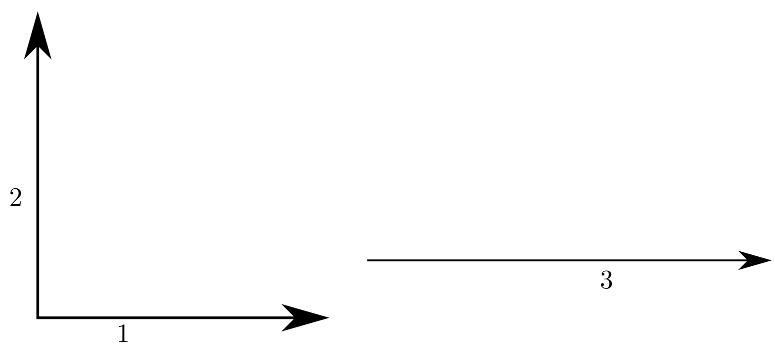

$$M=\mathbb{R}^1,\ N=\mathbb{R}^3,\ h(t)=\begin{bmatrix}\cos t\\ \sin t\\ t\end{bmatrix}, p=\tfrac{\pi}{2}.$$

$$h_x(\tfrac{\pi}{2})=\begin{bmatrix}\cos\frac{\pi}{2}\\ \sin\frac{\pi}{2}\\ \frac{\pi}{2}\end{bmatrix}$$

Niech $\sigma(t)$ - krzywa na M. Pchnięciem krzywej σ w odwzorowaniu h nazywamy krzywą $h_*(\sigma(t)) \stackrel{\text{def}}{=} h(\sigma(t))$

Niech $f : N \to \mathbb{R}^2$. Cofnięciem funkcji f w odwzorowaniu h nazywamy funkcję

$$h^*f(p)=f(h(p)).$$

Przykład 45 $M=\mathbb{R}^2, N=\mathbb{R}, f: N\to\mathbb{R}^2, f(t)=\begin{bmatrix}2t\\ t\end{bmatrix}, h(x,y)=x+y.$

$$h^*f(x,y)=f(h(x,y))=\begin{bmatrix}2(x+y)\\ x+y\end{bmatrix}.$$

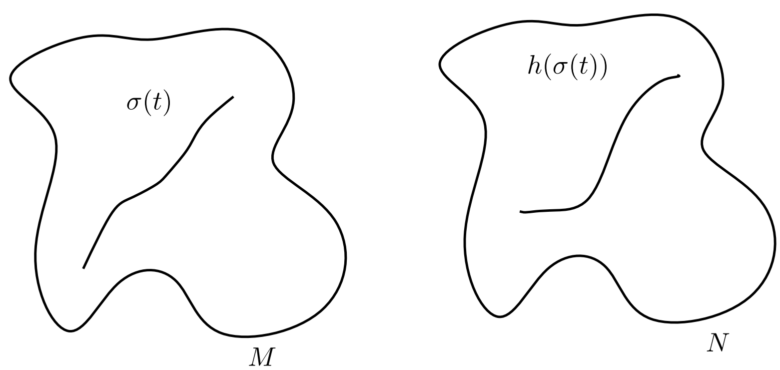
$\sigma(t)$
M
$h(\sigma(t))$
N

Pchnięciem wektora V w odwzorowaniu h nazywamy wektor

$$h_*V = [h(\sigma)]\,, h_*v \in T_{h(p)}N.$$

Przykład 46 *Niech* $M = \mathbb{R}^2, N = \mathbb{R}, h(x,y) = x + 2y, v = 2\frac{\partial}{\partial x} + 3\frac{\partial}{\partial y}$. *Co to jest* h_*v*?*

$p = (1,2) = (\varphi^1(p), \varphi^1(p))$

$$\begin{aligned}
&\sigma(t) : \frac{d}{dt}(\varphi(\sigma(t)))|_{t=0} \\
&\varphi(\sigma(t)) = \begin{bmatrix} 2t+1 \\ 3t+2 \end{bmatrix} \\
&h[\sigma(t)] = 2t + 1 + 2(3t+2) \\
&h[\sigma(t)] = 8t + 5 \\
&[h[\sigma(t)]] = 8\frac{\partial}{\partial t} \in t_s N.
\end{aligned}$$

$\dim M = n,\ \varphi(\sigma(t)) = \left(\varphi^1(\sigma(t)), \varphi^2(\sigma(t)), \ldots, \varphi^n(\sigma(t))\right), v \in T_pM.$

$$v = \frac{\partial \varphi^1(\sigma(t))}{\partial t}|_{t=0}\frac{\partial}{\partial x^1} + \frac{\partial \varphi^2(\sigma(t))}{\partial t}|_{t=0}\frac{\partial}{\partial x^2} \cdots \frac{\partial \varphi^n(\sigma(t))}{\partial t}|_{t=0}\frac{\partial}{\partial x^n}.$$

$$\frac{d(\varphi \circ h(\sigma(t)))}{dt}|_{t=0} = \frac{d}{dt}\left(\psi \circ h \circ \varphi^{-1}\sigma\right)_{t=0} = \frac{d}{dt}\left(\tilde{h} \circ \tilde{\sigma}(t)\right).$$

$$= \frac{d}{dt}\tilde{h}\left(\tilde{\sigma}_1(t), \tilde{\sigma}_2(t), \ldots, \tilde{\sigma}^n(t)\right)_{t=0} = \tilde{h}'_{\tilde{\sigma}(0)}\frac{d\tilde{\sigma}}{dt}_{t=0} = \tilde{h}' \cdot v.$$

Czyli ostatecznie $v = \begin{bmatrix} 2 \\ 3 \end{bmatrix}_{\frac{\partial}{\partial x}, \frac{\partial}{\partial y}}, \tilde{h}(x,y) = x + 2y \to \tilde{h}(x,y) = [1,2].$

$$h_*v = [1,2]\begin{bmatrix} 2 \\ 3 \end{bmatrix} = 2 \cdot 1 + 6 = 8\frac{\partial}{\partial t}.$$

Niech $\alpha \in \Lambda^1(?)$ - pytanie: czy formy się pcha, czy cofa?

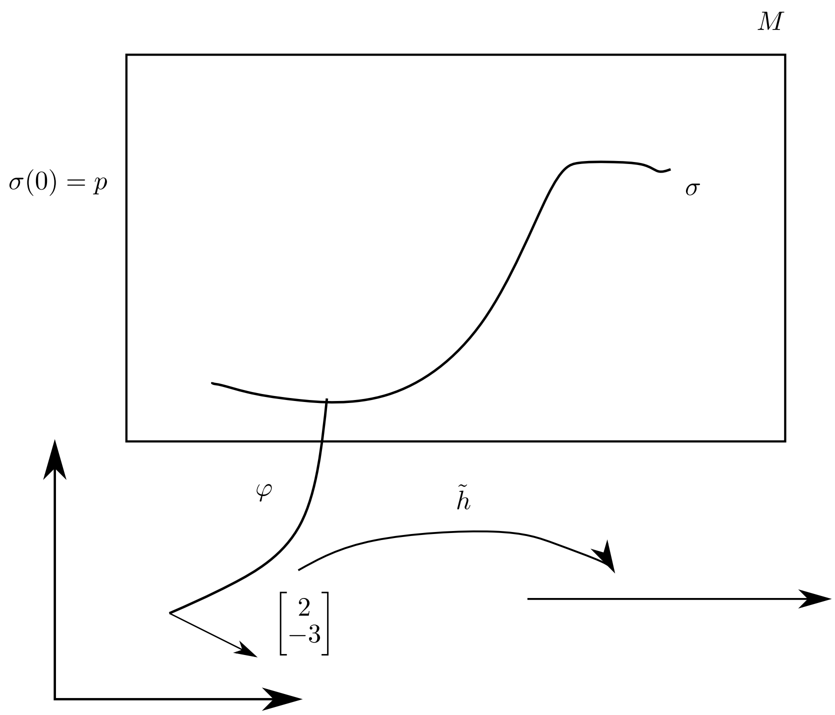

Rysunek 42: $\tilde{h} = \psi h \varphi^{-1}$

22 Wykład (04.06.2019)

Przykład 47 *(na pchnięcie wektora)*
Niech $M = \mathbb{R}^1, N = \mathbb{R}^3, h(t) = \begin{bmatrix} f(t) \\ g(t) \\ r(t) \end{bmatrix}$
Niech $p \in \mathbb{R}^1$, *niech* $v \in T_pM, v = a\frac{\partial}{\partial t}$. $v = [\sigma], \tilde{\sigma}(t) = at + p$, $\sigma(c) = p$, $\frac{d\tilde{\sigma}(t)}{dt}|_{t=0} = a$.

$$h_x\sigma = \begin{bmatrix} f(at+p) \\ g(at+p) \\ r(at+p) \end{bmatrix}, h_x v = [h_x\sigma], \frac{d}{dt}(\tilde{h}_x\sigma)|_{t=0}.$$

$$h_x v = \begin{bmatrix} af'(p) \\ ag'(p) \\ ar'(p) \end{bmatrix} = af'(p)\frac{\partial}{\partial x} + ag'(p)\frac{\partial}{\partial y} + ar'(p)\frac{\partial}{\partial z}.$$

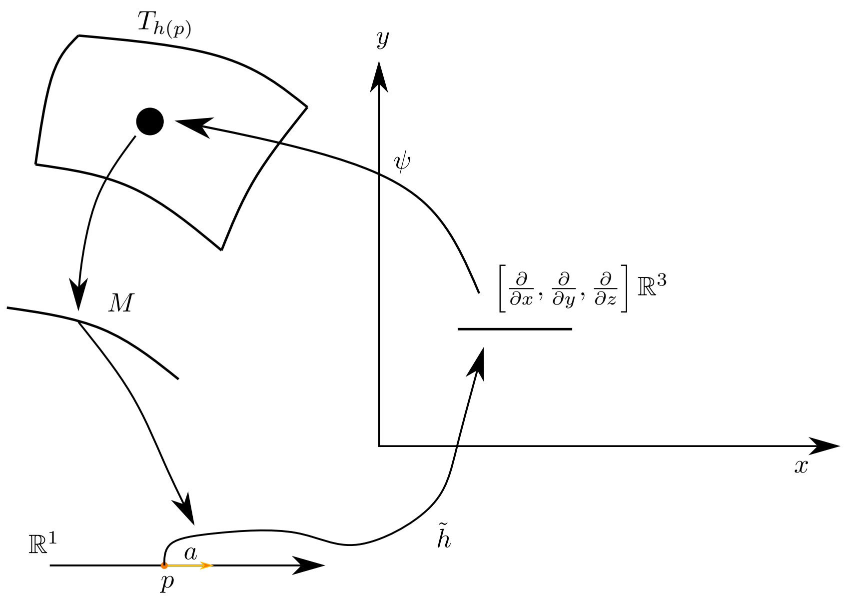

Definicja 25 *Niech M, N - rozmaitości, $h : M \to N$ i niech $p \in M, \alpha \in T^*_{h(p)}N$.*
Cofnięciem formy α w odwzorowaniu h nazywamy formę $h^*\alpha \in T_pM$, taką, że $\langle h^*\alpha, v\rangle = \langle \alpha, hv\rangle \underset{v\in T_pM}{\forall}$ i caaa. Jeżeli $\alpha_1, \alpha_2, \ldots, \alpha_k \in \Lambda^1(N)$ i $v_1, \ldots, v_k \in T_p(M)$, to

$$h^*(\alpha_1 \wedge \ldots \wedge \alpha_k), v_1, \ldots, v_k \overset{def}{=} \begin{bmatrix} \langle h^*\alpha_1, v_1\rangle & \langle h^*\alpha_2, v_1\rangle & \ldots & \langle h^*\alpha_k, v_1\rangle \\ \vdots & & & \\ \langle h^*\alpha_k, v_k\rangle & \langle h^*\alpha_k, v_k\rangle & \ldots & \langle h^*\alpha_k, v_k\rangle \end{bmatrix}.$$

Czyli

$$h^*(\alpha_1 \wedge \ldots \wedge \alpha_k) = (h^*\alpha_1) \wedge (h^*\alpha_2) \wedge \ldots \wedge h^*(\alpha_k).$$

Przykład 48 *(wstępny)*
Niech $\alpha = 3(x^2 + y^2)dx - 2xdy + 2z^2dz, \alpha \in \Lambda^1(N)$ (jednoformy nad N, $\dim N = 3$, chociaż można dać więcej jak się chce).

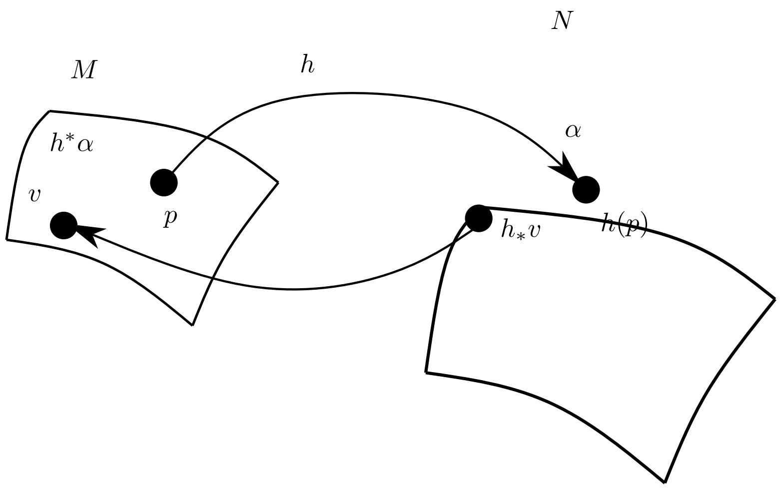

Rysunek 43: $\langle h^*\alpha, v\rangle \overset{\text{def}}{=} \langle \alpha, h_* v\rangle$

$h(t) = \begin{bmatrix} \sin(t) \\ \cos(t) \\ t \end{bmatrix}$. *Czym jest* $h^*\alpha$*?*

$$\langle h^*\alpha, v\rangle = \langle \alpha, h_x v\rangle .$$

Niech $v \in T_pM$ *i* $v = a\frac{\partial}{\partial t}$. *Zatem* $h_x v = a\cos(p)\frac{\partial}{\partial x} - a\sin(p)\frac{\partial}{\partial y} + a\cdot 1\frac{\partial}{\partial t}$.

$$\begin{aligned}
&\langle \alpha, h_* v\rangle = \left\langle 3\left(\sin^2(t)+\cos^2(t)\right)dx - 2\left(\sin(t)\right)dy + 2\left(t^2\right)dz, h_x v\right\rangle = \\
&= \left\langle 3dx - 2\sin(t)dy + 2t'dz, a\cos(t)\frac{\partial}{\partial x} - a\sin(t)\frac{\partial}{\partial y} + a\cdot 1\frac{\partial}{\partial z}\right\rangle_{t=p} \\
&= 3a\cos(t) + 2a\sin^2(t) + at^2|_{t=p} = \\
&= \left\langle \left(3\cos(t)dt + 2a\sin^2(t) + at^2\right)|_{t=p}, a\frac{\partial}{\partial t}\right\rangle = \\
&\textit{czyli } h^*\alpha = \left(3\cos(t) + 2\sin^2(t) + t^2\right)dt
\end{aligned}$$

.

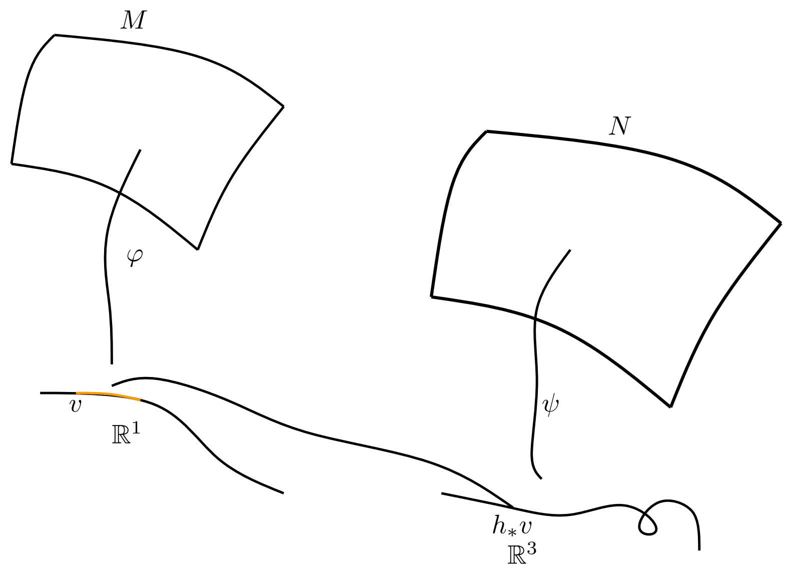

Na skróty!

$$
\begin{aligned}
x &= \sin(t) & dx &= \cos(t)dt \\
y &= \cos(t) & dy &= -\sin(t)dt \\
z &= t & dz &= dt.
\end{aligned}
$$

Zatem

$$
\begin{aligned}
h^*\alpha &= 3\left(\sin^2(t)+\cos^2(t)\right)\cos(t)dt - 2\sin(t)\left(-\sin t dt\right) + 2t^2 dt \\
&= \left(3\cos(t) + 2\sin^2(t) + 2t^2\right) dt.
\end{aligned}
$$

Przykład 49 *Niech* $M = \mathbb{R}^4, N = \mathbb{R}^4$.

$$
\begin{aligned}
&\gamma = \frac{1}{\sqrt{1-v^2}}, \\
&c = 1 \\
h: \quad &t = \gamma(t' - vx') \\
&x = \gamma(x' - vt') \\
&y = y' \\
&z = z'.
\end{aligned}
$$

Czyli

$$
\begin{aligned}
dt &= \gamma(dt' - vdx') \\
dx &= \gamma(dx' - vdt') \\
dy &= dy' \\
dz &= dz'.
\end{aligned}
$$

Chcemy cofnąć naszą formę. Na fizyce nie używamy słowa cofnięte.

$$
\begin{aligned}
F' &= -E_x\left(\gamma\left(dt' - vdx'\right)\right) \wedge \gamma\left(dx' - vdt'\right) - E_y\gamma\left(dt' - vdx'\right) \wedge dy' = \\
&= -E_x\gamma^2\left(1-v^2\right) dt' \wedge dx' - E_y\gamma dt' \wedge dy' + E_y\gamma v dx' \wedge dy' = \\
&= -E_x\frac{1}{1-v^2}\left(1-v^2\right) dt' \wedge dx' - E_y\gamma dt' \wedge dy' + \gamma v E_x dx' \wedge dy' \\
F' &= -E'_x dt' \wedge dx' - E'_y dt' \wedge dy' + B'_z dx' \wedge dy'
\end{aligned}
$$

.

Czyli

$$
\begin{aligned}
E'_x &= E_x \\
E'_y &= \gamma E_y \\
B'_z &= \gamma v E_y.
\end{aligned}
$$

Obserwacja: Niech $\alpha \in \Lambda^1(N)$, $\dim N = k$, niech M - rozmaitość, $\dim M = n$ i $h : M \to N$. Wówczas

$$h^* f \in \Lambda^0(M).$$

Oraz

$$d(h^* f) = h^*(df).$$

Dowód 24 *Skoro* $f \in \Lambda^0(N)$, *to* $f(x^1, x^2, \ldots, x^k)$, $df = \frac{\partial f}{\partial x^1}dx^1 + \frac{\partial f}{\partial x^2}dx^2 + \ldots + \frac{\partial f}{\partial x^k}x^k$.

$$\langle h^*(df), v\rangle = \langle df, h_x v\rangle, v \in T^p M.$$

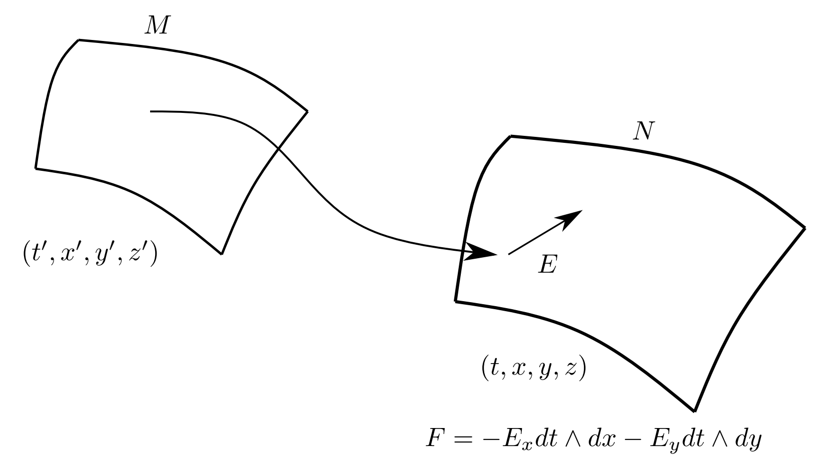

Niech $V \in T_p M$.

$$\tilde{h}(t_1, \ldots, t_n) = \begin{bmatrix} h_1(t_1, \ldots, t_n) \\ \vdots \\ h_k(t_1, \ldots, t_n) \end{bmatrix}.$$

Jeżeli $v = a_1 \frac{\partial}{\partial t^1} + a_2 \frac{\partial}{\partial t^2} + \ldots + a_n \frac{\partial}{\partial t_n}$, *to* $h_* v = \left(\begin{bmatrix} h' \end{bmatrix} \begin{bmatrix} a_1 \\ \vdots \\ a_n \end{bmatrix} \right)_{\frac{\partial}{\partial x^1}, \ldots, \frac{\partial}{\partial x^k}}$.

$$h_x v = \left(\begin{bmatrix} \frac{\partial h_1}{\partial t^1} & \ldots & \frac{\partial h_k}{\partial t^k} \\ \vdots & & \\ \frac{\partial h_k}{\partial t^1} & \ldots & \frac{\partial h_k}{\partial t^k} \end{bmatrix} \begin{bmatrix} a_1 \\ \vdots \\ a_n \end{bmatrix} \right)_{\frac{\partial}{\partial x^1}, \ldots, \frac{\partial}{\partial x^k}} = \left(\frac{\partial h_1}{\partial t^1} a_1 + \ldots + \frac{\partial h_1}{\partial t^n} a_n \right) \frac{\partial}{\partial x^1} +$$
$$+ \ldots + \left(\frac{\partial h_k}{\partial t^1} a_1 + \ldots + \frac{\partial h_k}{\partial t^n} a_n \right) \frac{\partial}{\partial x^k}.$$

Dalej

$$\langle df, h_* v\rangle = \frac{\partial f_1}{\partial x^1}\left(\frac{\partial h_1}{\partial t^1}a_1 + \ldots + \frac{\partial h_1}{\partial t^n}a_n\right) + \ldots + \frac{\partial f}{\partial x^k}\left(\frac{\partial h_k}{\partial t^1}a_n + \ldots + \frac{\partial h_k}{\partial t^n}a_n\right) =$$

$$= \left\langle df(h_1(t_1,\ldots,t_n), h_2(t_1,\ldots,t_n),\ldots,h_k(t_1,\ldots,t_n)), a_1\frac{\partial}{\partial t^1} + \ldots + a_n\frac{\partial}{\partial t^n}\right\rangle$$

.